

FOR REFERENCE

JOT 1 BE - ATOM POWER REACTOR

**SIVI AKIŞ PROFİLLERİNİN
DAMLAMA YATAK REAKTÖRLERİNİN ÇALIŞMASINA
ETKİLERİ**

Dr. R. KANDİYOTİ

Bogazici University Library



14

39001100543373

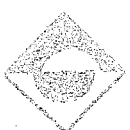
EYLÜL 1977
DOÇENTLİK TEZİ

Ö Z E T

Dolgulu kulelerde akan sıvının önemli bir kısmının ana dolgudan ayrılarak kule duvarlarından aşağı süzüldüğü ötedenberi bilinmektedir. Damlama yatak reaktörlerinin matematik modellerinde bu husus şimdije kadar dikkate alınmamıştır. Bu çalışmada, sıvı fazındaki reaksiyon maddelerinin hareket ve dağılmalarını incelemek üzere reaktör içi sıvı akış profillerini, eksenel dağılma, statik sıvı gözleri ile kütle transferi ve kulenin sıvı tutma oranlarıyla birlikte hesaba alan bir damlama yatak reaktörü modeli geliştirilmiştir. Model, reaktörde kalma süresi dağılımlarının hesaplanarak, deney sonuçları ve evvelce önerilmiş modellerden elde edilen dağılım eğrileriyle karşılaştırılması yöntemi ile değerlendirilmiştir. Geliştirilen model, duvar akışı ihmal edilmek suretiyle, basitleştirildiği takdirde şimdije kadar bilinen modellere indirgenebilmiştir. Karşılaştırma yapabilmek amacıyla bu çalışmada geliştirilen model ile birlikte evvelce önerilmiş modellerin denklemleri sonlu farklar yöntemleri ile çözülmüştür.

Bu çalışmada elde edilen sonuçlar aşağıdaki şekilde özetlenebilir:

1. Sıvı hızı profillerinin etkilerini de içeren model evvelce önerilmiş modellere oranla düşük sıvı akış hızlarında, deney sonucu elde edilen reaktörde kalma süresi dağılım eğrilerine daha yakın sonuçlar elde edilmesini sağlamıştır. Sıvı akış hızları yükseldikçe bütün modellerin deney sonuçlarına çok yaklaştığı görülmüştür.
2. Geliştirilen model duvar akışı bölgesi ile ana dolgu akışı bölgesi arasındaki kütle transferi hızlarının hesaplanmasılığını sağlamaktadır. İki bölge arasındaki kütle transferi hızlarının esas itibariyle konvektif karakterli olduğu ve reaktördeki diğer kütle transferi hızlarından 10^3 mertebesinde daha büyük olduğu görülmüştür.
3. Duvar akışı bölgesi ile ana dolgu akış bölgesi arasındaki kütle transferi hızlarının düşük olması halinde meydana gelmesi beklenen yan-geçme (by-pass) olayı, geliştirilen model aracılığı ile izlenebilmektedir.
4. İki bölge arasında kütle transferi hızlarının yüksek olması ve mikro-karışmanın kimyasal reaksiyondaki dönüşmeleri etkilememesi nedeniyle, birinci mertebeden reaksiyonlar da, dönüşme hesaplarında duvar akışının ihmali sadece % 1 civarında bir hataya yol açtığı hesaplanmıştır.



T E Ş E K K Ü R

Bu çalışmanın yapılmasına maddi olanak sağlayan Boğaziçi Üniversitesi Mühendislik Fakültesi Dekanlığına, maddi ve manevi hiçbir desteği esirgemeyen Kimya Mühendisliği Bölüm Başkanlığı ve Öğretim elemanlarına teşekkür ederim.

Ayrıca, çalışmanın gerektirdiği yoğun bilgisayar kullanımı esnasında gösterdikleri yakınlıktan ötürü Boğaziçi Üniversitesi Bilgisayar Merkezi kadrosuna, tezin dactilosunu en etkin bir biçimde gerçekleştiren Sürat Dactilo ve Teksir Bürosuna, tezin toplanması ve basılmasındaki değerli yardımlarından dolayı Boğaziçi Üniversitesi İnşaat Mühendisliği Laboratuarları Şefi Erol Yamaç'a ve Boğaziçi Üniversitesi Basımevi Müdürü Mustafa Niksarlı ve personeline teşekkürü borç bilirim.

Son olarak, bu çalışmanın tüm sahalarında beni anlayış ve sabrıyla destekleyen eşim Deniz'e minnet duygularımı belirtmek isterim.

Dr.R. Kandiyoti

İÇİNDEKİLER

	<u>Sayfa</u>
ÖZET	ii
TEŞEKKÜR	iii
TABLALARIN LİSTESİ	iv
ŞEKİLLERİN LİSTESİ	v
KULLANILAN NOTASYON	vii
BÖLÜM I. GİRİŞ	1
I.1. Çalışmanın Tanımı ve Amacı	1
BÖLÜM II. DAMLAMA YATAK REAKTÖRLERİNDE KALMA SÜRESİ DAĞILIMLARI	9
II.1. Reaktörde Kalma Süresi Dağılımları Fonksiyonları	9
II.2. Reaktörde Kalma Süresi Dağılım Modelleri	10
II.2.1. Piston Akışta Eksenel Dağılma Modeli	11
II.2.2. Piston Akışta Eksenel Dağılma ve Statik Sıvı Gözleri ile Kütle Transferi Modeli (PDE MODELİ)	13
II.3. Dolgulu Kulelerde Sıvı Akış Profilleri	15
BÖLÜM III. DAMLAMA YATAK REAKTÖRLERİNDE SIVI FAZ	19
III.1. Modelin Anahatları	19
III.2. Damlama Yatak Reaktörü Modeli	22
III.2.1. Sınır Şartları	30
III.2.2. Modeli Tanımlayan Denklemlerin Özeti	31
III.3. Sıvı Akış Profilleri Modeli	34
III.4. Denklemlerin Boyutsuzlandırılması	35
BÖLÜM IV. DENKLEM TAKIMLARININ ÇÖZÜMLERİ	41
IV.1. Sonlu Farklar Metodları	41
IV.2. Duvar Akışı Bölgesini İçeren Damlama Yatak Reaktör Modelinde Kalma Süresi Dağılımlarının Hesaplanması	43
IV.2.1. Birinci Zaman Adımı	48
IV.2.2. İkinci ve Sonraki Zaman Adımları	50
IV.2.3. Duvar Akışı Bölgesi	52
IV.2.4. Denklem Dizisinin Çözümü	57

IV.3. PDE Modelinden Reaktörde Kalma Süresi Dağılımlarının Hesaplanması	64
IV.4. Sıvı Akış Profillerinin Hesaplanması	67
IV.5. Reaktörde Kalma Süresi Dağılımlarının Hesaplanmasında Kullanılan Sayısal Veriler	72
 BÖLÜM V. SONUÇLARIN DEĞERLENDİRİLMESİ VE TARTIŞILMASI	78
V.1. Ölçülen ve Hesaplanan Reaktörde Kalma Süresi Dağılımlarının Karşılaştırması	78
V.2. Ünerilen Modelin Yapısal Özellikleri	89
V.3. Sonuçların Toplu Değerlendirmesi	97
 BÖLÜM VI. DÜŞÜNCELER VE TAVSİYELER	100
 BÖLÜM VII. ÖZET VE SONUÇLAR	104
VII.1. Özeti	104
VII.2. Sonuçlar	105
 EKLER:	
EK 1. BİLGİSAYAR PROGRAMI; GELİŞTİRİLEN MODEL	108
EK 2. BİLGİSAYAR PROGRAMI; PDE MODELİ	116
EK 3. BİLGİSAYAR PROGRAMI; SIVI AKIŞ PROFİLLERİ	120
 REFERANSLAR	130

TABLALARIN LİSTESİ

	<u>Sayfa</u>
TABLO V.1. KARŞILAŞTIRMADA KULLANILAN DENEYLER	80
TABLO V.2. k_w'NIN AKIŞ HİZINA GÖRE DEĞİŞMESİ	94
TABLO V.3. İKİ MODELDEN ELDE EDİLEN BİRİNCİ MERTEBEDEN REAKSİYON DÖNUŞMELERİNİN KARŞILAŞTIRILMASI	96
TABLO V.4. ELDE EDİLEN PARAMETRE DEĞERLERİ	98

ŞEKİLLERİN LİSTESİ

	<u>Sayfa</u>
ŞEKİL I.1. Dağılım Fonksiyonları	4
ŞEKİL I.2. Aynı kulede gözeneksiz dolgu (A) ve gözenekli dolgu (B) ile elde edilmesi beklenen, kalitatif reaktörde kalma süresi dağılımları	6
ŞEKİL II.1. Piston akışta eksenel dağılma modeli-Peclet sayısının reaktörde kalma süresi dağılımlarına etkisi	12
ŞEKİL II.2. Çalışmanın bilgi akış şeması özeti	18
ŞEKİL III.1. Sıvı akış profilleri	20
ŞEKİL III.2. Reaktör elemanı ve reaktörün koordinat eksenleri	22
ŞEKİL III.3. Duvar akışı bölgesinde hacim elemanı	26
ŞEKİL IV.1. Cidardan su akışı hızının eksensel uzaklığa bağlı olarak değişmesi	74
ŞEKİL IV.2. Cidardan su akışı hızının eksenel uzaklığa bağlı olarak değişmesi	75
ŞEKİL V.1. Ölçülen ve hesaplanan kalma süresi dağılımlarının karşılaştırılması (DENEY I)	82
ŞEKİL V.2. Ölçülen ve hesaplanan kalma süresi dağılımlarının karşılaştırılması (DENEY II)	83
ŞEKİL V.3. Ölçülen ve hesaplanan kalma süresi dağılımlarının karşılaştırılması (DENEY III)	84
ŞEKİL V.4. Ölçülen ve hesaplanan kalma süresi dağılımlarının karşılaştırılması (DENEY IV)	85
ŞEKİL V.5. Ölçülen ve hesaplanan kalma süresi dağılımlarının karşılaştırılması (DENEY V)	86

ŞEKİL	V.6. Ölçülen ve hesaplanan kalma süresi dağılımlarının karşılaştırılması (DENEY VI)	87
ŞEKİL	V.7. Proses kabında yan geçmenin teshisi	90
ŞEKİL	V.8. Reaktörde kalma süresi dağılımlarının R_N parametresine bağlı olarak değişmesi	91
ŞEKİL	V.9. Duvar akışı ile ana dolgu akışı bölgeleri arasındaki kütle transferi katsayıısının sıvı akış hızına göre değişmesi	93

KULLANILAN NOTASYON

a	Kule yarıçapı
a_j, a'_j	Geliştirilen modelin sonlu farklar denklemlerinin gruplandırılmış katsayıları
$A_{\tilde{\alpha}}$	Birleştirilmiş katsayı matrisi
$A_{i,j}$	A matrisinin elemanları
b_j, b'_j	Sonlu farklar denklemlerinin gruplandırılmış katsayıları.
$B_{\tilde{\alpha}}$	Birleştirilmiş lineer denklem takımının zamana bağımlı vektörü
B_j	B vektörünün elemanları
c	Ana dolgu bölgesinde izleyici konsantrasyonu
c^*	Statik sıvı bölgelerinde izleyici konsantrasyonu
c_w	Duvar akışı bölgesinde izleyici konsantrasyonu
c_1, c_2, c_3, c_4, c_5	PDE modelinin sonlu farklar denklemlerindeki gruplandırılmış sabitler
$c_j, c'_{j\tilde{\alpha}}$	Geliştirilen modelin sonlu farklar denklemlerinin gruplandırılmış katsayıları
c_o	$n/\pi a^2 L \epsilon \beta_T$
d'_j	Geliştirilen modelin sonlu farklar denklemlerinin gruplandırılmış katsayıları
d_w	Duvar akışında sıvı tabakası kalınlığı
D_e	Etkin difüzyon katsayısı
D_p, d_p	Etkin dolgu maddesi boyu
E	Kule geometrik sabiti
$E(\theta)$	Reaktörde kalma süresi dağılım fonksiyonu
f	Ana dolgu bölgesi akış hızı
f_o	Kule girişindeki uniform akış hızı
F	Boyutsuzlandırılmış ana dolgu bölgesi akış hızı
$F(\theta)$	$\int^\theta E(\theta) d\theta$
g	yerçekimi ivmesi
G	Ana dolgudan duvar akışı bölgesine geçiş sınırındaki empirik katsayı

$G_1, G_2, G_3, G_4, G_5, G_6, G_7, G_8$ PD-PDE modelinin sonlu farklar denklemlerindeki guruplandırılmış sabitler

i	Radiyal doğrultuda hesap adımı sayısı
IM	Radiyal doğrultuda toplam hesap adımı sayısı
j	Eksenel doğrultuda hesap adımı sayısı
JM	Eksenel doğrultuda toplam hesap adımı sayısı
k_1	Reaksiyon hız sabiti
k_s, k_A	Ana dolgu ile statik sıvı gözleri arasındaki kütle transferi katsayısı
k_ω	Ana dolgu ile duvar akışı bölgeleri arasındaki kütle transferi katsayısı
L	Kule içindeki dolgu yüksekliği
n	Zaman hesap adımı sayısı
n	Kuleye zerkedilen izleyici mol sayısı
N	Kütle transferi ünitesi sayısı
Pe	Peclet sayısı
r	Radiyal koordinat
r	$\Delta\theta/(\Delta z)^2, \Delta R/(\Delta z)^2$
r_0	$r/2 Pe$
Q_1, Q_2, Q_5, Q_M	Geliştirilen modelin sonlu farklar denklemlerindeki guruplandırılmış sabitler
R	Boyutsuz radiyal koordinat
R_N	Ana dolgu ile duvar akışı bölgeleri arasındaki boyutsuzlandırılmış kütle transferi katsayısı
$S_1, S_2, S_3, S_4, S_5, S_6, S_7, S_8, S_9$	Geliştirilen modelin sonlu farklar denklemlerindeki guruplandırılmış sabitler
t	zaman
u	Ana dolgu bölgesindeki boyutsuzlandırılmış izleyici konstantrasyonu
u^*	Statik sıvı bölgelerindeki boyutsuzlandırılmış izleyici konsantrasyonu
v	Duvar akışı bölgesindeki boyutsuzlandırılmış izleyici konsantrasyonu
x	Eksenel koordinat
y	Birleştirilmiş lineer denklem takımının bilinmeyenler vektörü

y_j	y vektörünün elemanları
z	Boyutsuzlandırılmış eksenel koordinat
β_D	Dinamik sıvı tutma oranı
β_S, β_T	Statik sıvı tutma oranı, toplam sıvı tutma oranı
γ	Sıvı profilleri modelinin sınır şartının boyutsuzlandırılmış katsayıısı
ϵ	Kule boşluk oranı
ϕ_S	Dolgu maddesi şekil katsayıısı
ϕ	β_D/β_T
Λ	Sıvı yayılma katsayıısı
λ	Boyutsuz sıvı yayılma katsayıısı
θ	Boyutsuzlandırılmış zaman
μ	sıvı viskozitesi
σ^2	varyans
ω, ω^*	Duvara bitişik sıvının akış hızı
Ω, Ω^*	Duvar bitişik sıvının boyutsuzlandırılmış akış hızı

BÖLÜM I

GİRİŞ

I.1. Çalışmanın Tanımı ve Amacı

Dolgulu kuleler, gaz ve sıvıların birbiri ile temas ettirilmesi sırasında fazlar arasında sağladıkları geniş yüzey ve yapım kolaylıklarını nedeniyle kimya mühendisliğinde çok geniş bir kullanım sahası bulmaktadır. Bu çalışmada konu olarak alınan damlama yatak reaktörleri (trickle bed reactors) gaz ve sıvıların dolgu üzerinde temas ettirilmesi nedeniyle absorpsiyon kulelerini andırdıkları gibi, kule dolgu maddesinin katalizör olmasından ötürü sabit yatak reaktörlerinin de bazı özelliklerini taşımaktadır.

Bu tip reaktörler, Çevre mühendisleri tarafından "damlatmalı filtre" adıyla atık sulardaki organik maddelerin ayırtılmasında ötedenberi kullanılmaktadır. Bunun yanı sıra Petrol sanayiinde, hidrojenasyon, hidrojenle kükürt giderme ve hidro-kraking proseslerinde de bu tip damlama yatak reaktörleri kullanılmaktadır{30, 35, 48, 54, 56, 68}. Rafineriler dışındaki Kimya Sanayiinde bu tip reaktörlerin fazla yaygın olmadığı görülmektedir{49}.

Bunun yanında, son yıllarda özellikle organik sıvıların hidrojenasyon ve oksidasyon reaksiyonlarının gerçekleştirilmesi için bu tip reaktörlerin kullanılması konusunda araştırmaların arttığı göze çarpmaktadır{31, 41}. Baca gazlarının kükürten arıtılması çabalarında da damlama yatak reaktörlerinin kullanımının araştırılmaktadır{18, 57}.

Damlama yatak reaktörleri üzerindeki çalışmaların geniş bir kısmı da doğrudan proses araştırmalarından çok reaktörün kendi özelliklerini ortaya çıkarmayı hedef almaktadır{50,51,52,65}.

Buradaki problem, dönüşme hesaplarında kullanılabilecek dizayn denklemlerini ortaya çıkarmak ve kullanılacak parametrelerin büyüklüğünü tayin edebilmektedir. Bunun için gerekli olan bilgiler

- a) Toplam reaksiyon hızları,
- b) Reaktör içindeki temperatür profilleri ve
- c) Hız ve konsantrasyon profilleri,

olarak birbirine bağımlı üç ana grupta toplanabilir.

Bu çalışmada reaktör içindeki hız ve konsantrasyon profilleri inceleneciktir. Çalışmanın amacı damlama yatak reaktörlerinin işleyişinde şimdiye kadar hesaba katılmamış bazı gözlemleri de içeren bir model geliştirmektir. Geliştirilen model, hesaplanan reaktörde kalma süresi dağılımlarının (residence time distributions) deney sonuçları ile karşılaştırılması yöntemi ile değerlendirilecektir.

Damlama yatak reaktörlerinin dizaynında kule içi akış modeli seçimi yapılrken ilk yaklaşım piston akış (plug flow) rejimini kabul etmektir. Halbuki aynı anda reaktöre giren sıvı elemanlarının reaktörde kalma süreleri ölçüldüğünde bir dağılımla karşılaşılır. Genellikle bu hal reaktör veriminin düşmesine sebep olur ve istenilen dönüşmeyi sağlamak üzere boyu piston akışı modeli ile dizayn edilecek reaktörden daha uzun olan bir

reaktör gerektirir{9,11}.

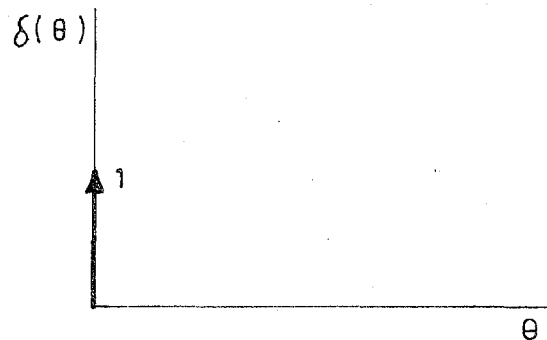
Ölçülen reaktörde kalma süresi dağılımları, sıvi elemanlarının reaktör içindeki davranışını hususunda bilgi edinilmesini sağlamaktadır. Reaktörde kalma süresi dağılımı doğru hesaplanabildiği takdirde, bu hesaplama da katkısı olan ana etkenleri reaktörlarındaki diğer bilgilerle, reaksiyon hız sabiti, kütle transferi katısayları gibi, birleştirerek daha doğru dönüşme hesaplarına yönelmek mümkündür{61}.

Kısaca reaktörde kalma süresi dağılımları, kararlı-haldeki bir sisteme bir izleyici zerkedip, sistem çıkışında izleyici konsantrasyonun zamana göre değişmesini ölçerek bulunur. Izleyici, genellikle Dirac δ -fonksiyonunun yaklaşımı olan bir darbe halinde zerkedilir. Bazı hallerde Heaviside birim-basamak fonksiyonu, $\mu(t)$, şeklinde izleyici girişi metoduna başvurulur. Bu iki fonksiyonun grafiği ve damlama yatak reaktörlerde bu iki tip girişten elde edilmesi beklenen reaktörde kalma süresi dağılımları şekil I.1. de kalitatif olarak gösterilmiştir{33}. Bu iki deney şeklinin

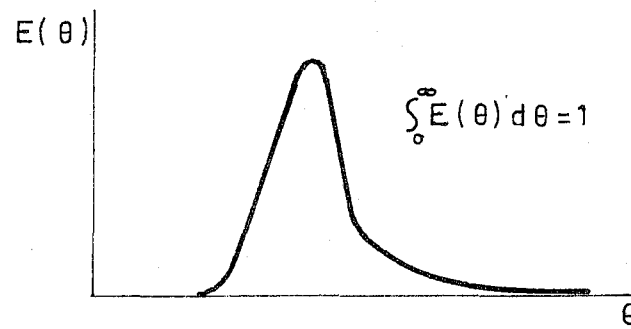
$$F(\theta) = \int_0^{\infty} E(\theta) d\theta \quad (1.1)$$

denklemi yolu ile eşdeğer olduğu bilinmektedir{46}. Burada $E(\theta)$, Dirac δ -fonksiyonu tipi girişten beklenen reaktörde kalma süresi dağılımını; $F(\theta)$, birim basamak fonksiyonu tipi girişten beklenen dağılım fonksiyonunu; θ , boyutsuz zamanı ifade etmektedir. Giriş fonksiyonunun sinusoidal olarak seçilmesi{28}, deneysel zorlukları nedeni ile ilgi görmemiştir.

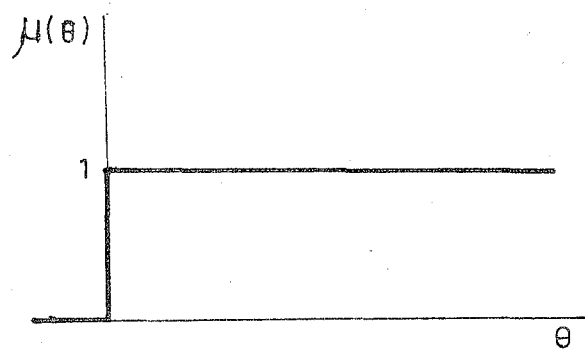
Reaktörde kalma süresi dağılım fonksiyonu aynı



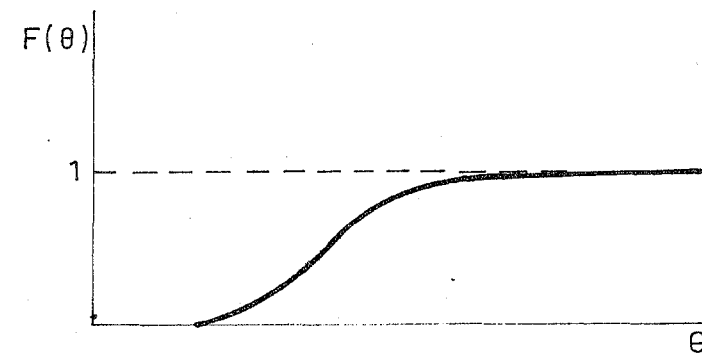
1a. Dirac δ -fonksiyonu.



1b. Beklenen reaktörde kalma süresi dağılımı.



1c. Heaviside birim-basamak fonksiyonu.



1d. Beklenen çıkış konsantrasyonu dağılımı.

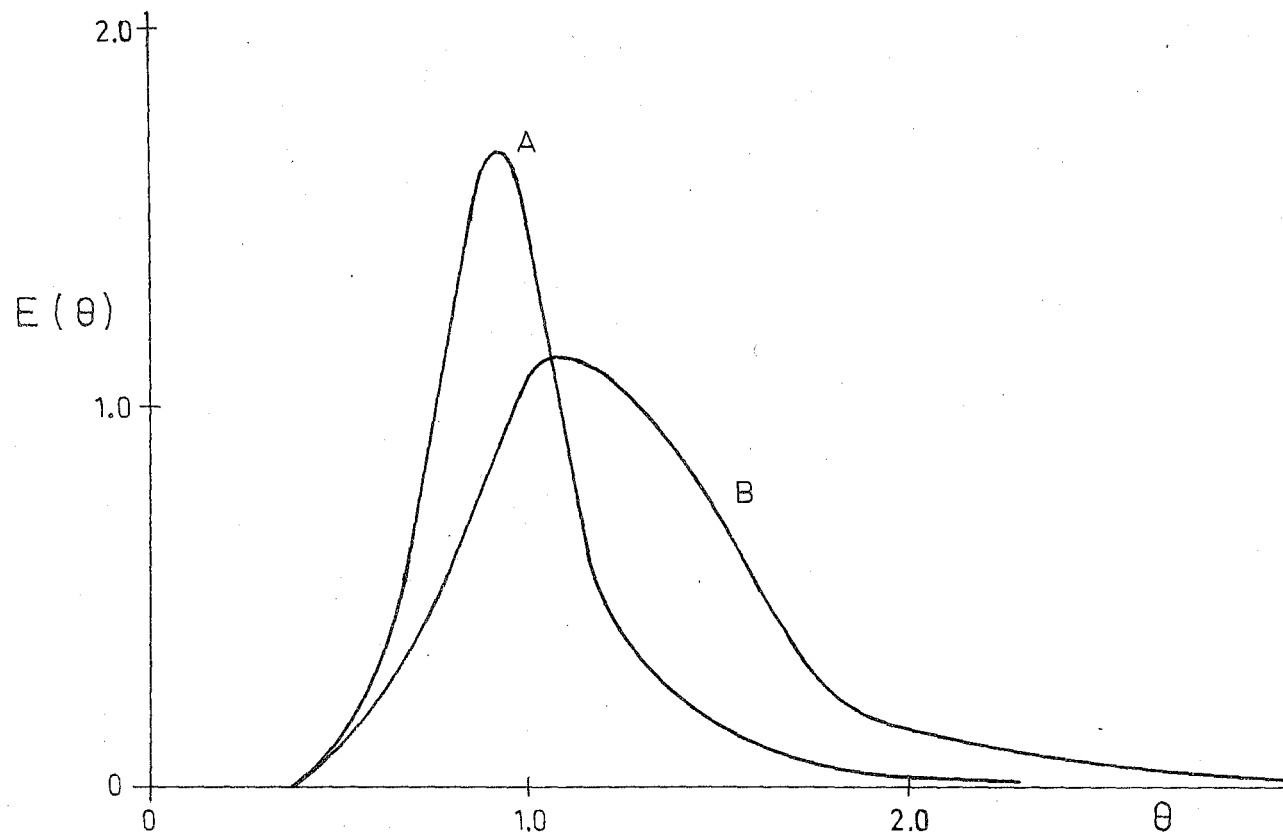
Şekil I.1.

kulede gözenekli ve gözeneksiz dolgu üzerinde ve aynı çalışma şartları altında ölçüldüğü zaman, iki eğri arasındaki fark reaksiyon maddesi moleküllerinin katalizör gözeneklerinde geçirdiği zaman dağılımları hakkında bilgi taşır (Şekil I.2). Bu bilgiyi değerlendirmek için gerekli teorik temel kısmen geliştirilmiştir{58}. Bu yoldan reaktör dönüşmesinin hesaplanması da, gözeneksiz dolgulu kulelerde kalma süresi dağılımlarının eldeki modellerden daha ayrıntılı bir biçimde açıklanmasını gerektirmektedir{16}.

Damlama yatak reaktörlerinde kalma süresi dağılımları üzerindeki çalışmalar üç genel grupta toplanır.

a) Piston Akışta Eksenel Dağılma Modeli (PD Modeli): Gözeneksiz dolgulu, isoterمال bir kulede kalma süresi dağılımı, bir kısım sıvı elemanlarının dolgu içinde diğer elemanlara göre daha uzun yollar seçerek geride kalmaları, diğer bir kısmının da kısmi kanallanma olayı ile ortalama karışış süresinden önce reaktörü terketmeleri nedeniyle ortaya çıkar. Dağılım tek parametre, etkin difüzyon katsayısı (effective diffusivity), ve buna dayanarak tarif edilen Peclet sayısı yolu ile belirlenir{9,62,70,38}. Bu modeli kullanarak hesaplanan dağılım eğrilerinin şekli, kuleye bir izleyici darbesi zerkedildiğinde elde edilen dağılımin asimetrik şecline uymamaktadır.

b) Piston Akışta Eksenel Dağılma ve Statik Sıvı Gözleri ile Kütle Transferi Modeli (PDE Modeli): Dolgulu kulelerde "statik sıvı", kulede sıvı akışı kesildiğinde dışarıya dökülemeyeen sıvı miktarı olarak tanımlanır. Kule içinde hareketli sıvı ile



Şekil I.2. Aynı kulede gözeneksiz dolgu (A) ve gözenekli dolgu (B) ile elde edilmesi beklenen, kalitatif reaktörde kalma süresi dağılımları.

statik sıvı gözleri arasında devamlı temas ve kütle ak-
tarımının mevcut olduğu ötedenberi bilinmektedir{59}.
PDE modeline göre deneysel kalış süresi dağılımında
gözlenen asimetri, izleyici moleküllerinin statik sıvı
gözlerine girip çıkmak suretiyle gecikmeleri şeklinde
izah edilir{71,72,74}. Bu model PD modelinin hatalarını
büyük ölçüde kapatabildiği halde hesaplanan eğriler ge-
nelliğle dağılım eğrisindeki maksimum noktasına erişe-
memektedir. Modelde kullanılan parametreler Peclet sa-
yısı ile birlikte, statik ve dinamik sıvı bölgeleri a-
rasındaki "Kütle Transferi Ünitesi Sayısı", N, ve dina-
mik sıvı tutma oranının toplam sıvı tutma oranına bö-
lünmesi olarak tanımlanan $\phi = \beta_D / \beta_T$ 'dır.

Yukarıda özetlenen her iki modelde dolgulu kule-
lerde yukarıdan süzülen sıvının önemli bir kısmının ku-
le duvarlarından aşağıya aktığı göz önüne alınmamıştır.

c) Karışma Hücresi Modelleri: Bazı araştırmalar
damlama yatak reaktörlerini, ucuca konmuş u-
zunlamasına boru reaktörleri ve karıştırıcılı tank tipi
sürekli reaktör kombinezonları ile simülle etmeye çalış-
mışlardır{27,45,32}. Bu modelleme metodları, yapıları i-
tibariyle ayrı bir yaklaşım tarzını temsil etmektedir-
ler. Bu itibarla bu tip modeller bu çalışma içinde ele
alınmıyacaktır.

Sunulan çerçeve içinde bu çalışmada üzerinde ö-
zellikle durulacak olan konular şunlardır:

1. Eksenel dağılıma ve statik sıvı gözleri ile
kütle transferinin dağılıma olan katkılarıyla
beraber, kule cidarlarına bitişik olarak akan
sıvının da etkisinin hesaba katılacağı bir

kule modelinin geliştirilmesi ve bu modeli kullanarak reaktörde kalma süresi dağılımlarının hesaplanması;

2. Duvar akışı bölgesi ile ana dolgu akışı bölgesi arasındaki kütle transferinin büyüklüğünün araştırılması; iki bölge arasındaki kütle transferi katsayısının kalma süresi dağılımları üzerindeki etkisinin incelenmesi;
3. İki bölge arasındaki kütle transferi hızlarının, birinci mertebeden bir reaksiyon için, reaktör dönüşmesi üzerindeki etkilerinin incelenmesi.

BÖLÜM II

DAMLAMA YATAK REAKTÖRLERİNDE KALMA SÜRESİ DAĞILIMLARI

II.1. Reaktörde Kalma Süresi Dağılımı Fonksiyonları

Damlama yatak reaktörlerinde piston akıştan sapmalar genellikle beklenen dönüşmeyi olumsuz yönde etkiler. Reaktörün akış ve konsantrasyon profillerinde görülen bu sapmalar, özellikle ölçek büyültmede hesaba katılmazsa büyük hatalara yol açabilir. Reaksiyon maddesi moleküllerinin reaktör içinde geçirdiği aşamaları takip etmek için yararlanılan önemli bir metod reaktörde kalma süresi dağılım fonksiyonlarının değerlendirilmesidir. Bu metod nükleer ve kimyasal reaktörlerde olduğu gibi üstü açık kanal akışlarından insan vücutuna kadar çeşitli sistemlerde gaz ve sıvıların akış tarzlarını incelemek için kullanılmaktadır{1,2,58}.

Reaktörde kalma süresi dağılım fonksiyonu, $E(\theta)$, aynı anda reaktöre giren sıvının θ zamanı ile $\theta + \Delta\theta$ zamanı arasında reaktörü terkeden fraksiyonunun $E(\theta)d\theta$ olduğu şeklinde tarif edilir. Böylece bütün fraksiyonların toplamı

$$\int_0^{\infty} E(\theta)d\theta = 1 \quad (2.1)$$

olur. Eğer dağılım fonksiyonu θ 'nın bütün değerleri için biliniyorsa, reaksiyon maddesi moleküllerinin reaktördeki ortalama kalma süresi, $\bar{\theta}$, şu şekilde hesaplanır:

$$\bar{\theta} = \int_0^{\infty} \theta E(\theta)d\theta. \quad (2.2)$$

$E(\theta)$ dağılım eğrilerini, dağılımin momentleri yolu ile de tanımlamak mümkündür. $E(\theta)$ dağılım fonksiyonun sıfır noktası etrafındaki n 'inci momenti şöyle tanımlanır.

$$\mu_n = \frac{\int_0^\infty \theta^n E(\theta) d\theta}{\int_0^\infty E(\theta) d\theta} = \int_0^\infty \theta^n E(\theta) d\theta \quad (2.3)$$

Görüldüğü gibi ortalama kalış süresi, $\bar{\theta}$, dağılım fonksiyonunun sıfır noktası etrafındaki birinci momentidir. Bir dağılım fonksiyonunun ortalama değer, $\bar{\theta}$, etrafındaki n 'inci momenti de şöyle tanımlanır.

$$\mu'_n = \frac{\int_0^\infty (\theta - \bar{\theta})^n E(\theta) d\theta}{\int_0^\infty E(\theta) d\theta} = \int_0^\infty (\theta - \bar{\theta})^n E(\theta) d\theta \quad (2.4)$$

Dağılımin varyansı, σ^2 , ortalama değer etrafındaki ikinci moment olarak tarif edilir.

$$\sigma^2 = \frac{\int_0^\infty (\theta - \bar{\theta})^2 E(\theta) d\theta}{\int_0^\infty E(\theta) d\theta} = \int_0^\infty (\theta - \bar{\theta})^2 E(\theta) d\theta \quad (2.5)$$

Reaksiyona girmeyen fakat fiziksel özellikleri reaksiyon maddelerinden birine yakın veya eşdeğer olan bir izleyici, damlama yatak reaktörüne yerleştirildiği takdirde, bu izleyicinin takibedilmek istenen reaksiyon maddesinin molekülleriyle aynı aşamalardan geçmesi beklenir.

II.2. Reaktörde Kalma Süresi Dağılım Modelleri

Damlama yatak reaktörlerinde genel piston akışı varsayımlarından sapmaları, yatak geometrisi çerçevesi

içinde kalarak açıklamayı hedef alan modelleri iki gruba ayırmak mümkündür.

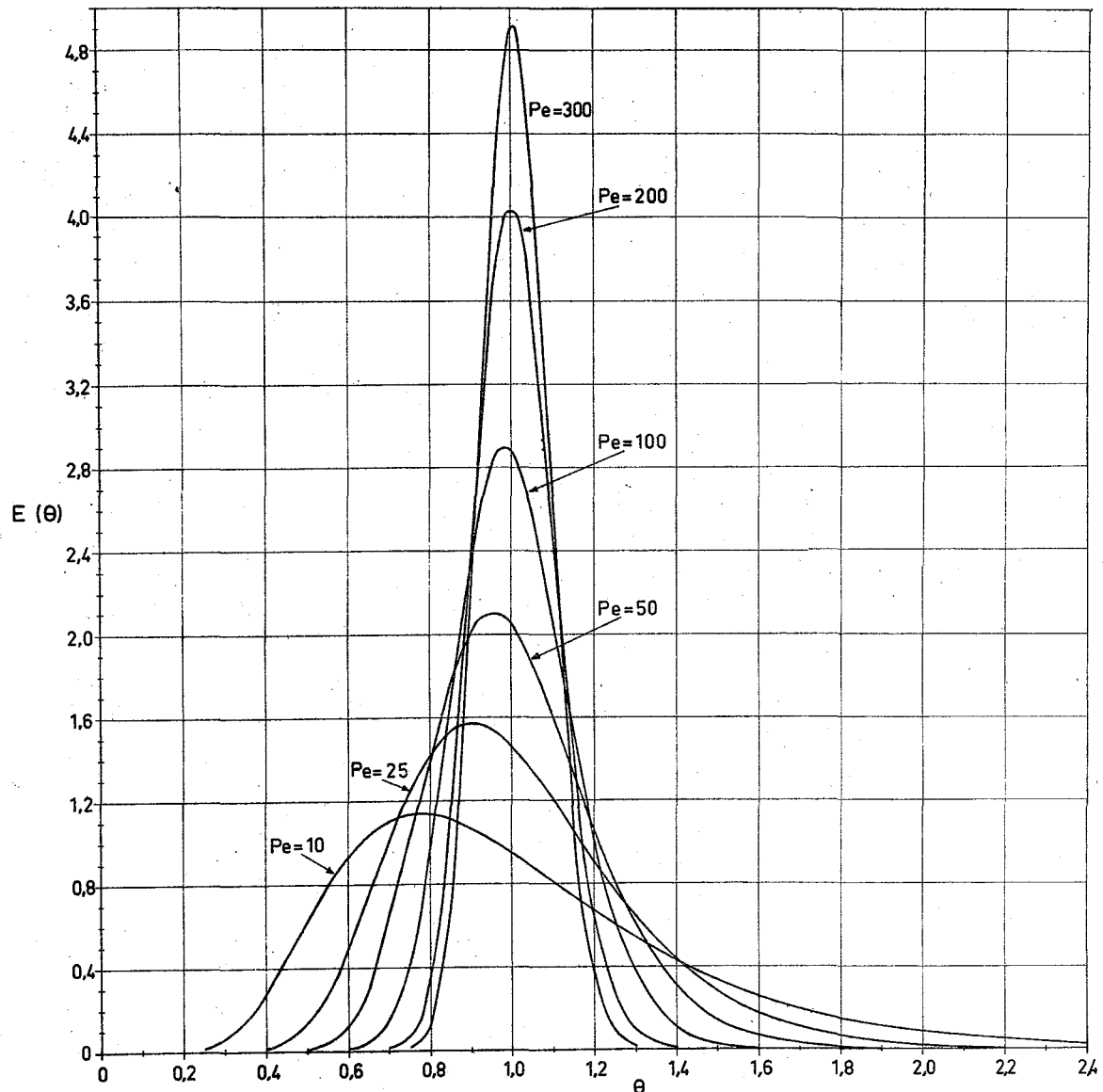
II.2.1. Piston Akışta Eksenel Dağılma Modeli{9,38}

Sıvı elemanlarının ortalama hız etrafında dağılmaları (dispersion) ile açıklanan reaktörde kalma süresi dağılımını hesaplayabilmek için gerekli izleyici kütle dengesi şöyledir

$$D_e \frac{\partial^2 c}{\partial x^2} - v \frac{\partial c}{\partial x} = \frac{\partial c}{\partial t}. \quad (2.6)$$

Burada D_e , etkin difüzyon katsayısını; v , yüzeysel sıvı hızını; c , izleyici konsantrasyonunu; x , kule girişinden itibaren eksenel uzaklığı; t , zamanı belirtmektedir. Denklem (2.6) konveksiyon ve difüzyonlu bir ortamda izleyici konsantrasyonunun zaman içindeki değişimlerini tanımlayan bir kısmi diferansiyel denklemidir. Denklemin şekli, etkin difüzyon katsayısının, D_e , moleküler difüzyon katsayısı ile karıştırılmasına yol açabilir. Teorik olarak, izleyicinin fiziksel özelliklerini bakımından sıvı moleküllerine çok yakın olması ve konsantrasyon farklarından ötürü ortaya bir difüzyon olayı çıkması gerekmektedir. Pratikte bu zorluk, sıvı elemanlarının öne-arkaya dağılmalarının ikili difüzyon olayından daha büyük izleyici hareketlerine yol açmasıyla çözümlenir. Etkin difüzyon katsayısı, D_e , sıvı elemanlarının bu dağılmalarını tanımlamaktadır.

Boyutsuz değişkenlerle ifade edildiğinde denklem (2.6) aşağıdaki şekilde dönüştürmektedir.



Şekil II.1- Piston Akışta Eksenel Dağılma Modeli –
Peclet sayısının reaktörlerde kalma süresi dağılımlarına etkisi

$$\frac{1}{Pe} \frac{\partial^2 u}{\partial z^2} - \frac{\partial u}{\partial z} = \frac{\partial u}{\partial \theta} \quad (2.7)$$

Burada u , boyutsuz konsantrasyonu; z , boyutsuz uzunluğu; θ , boyutsuz zamanı belirtmektedir*. Peclet sayısı, Pe , ise L 'nin toplam kule dolgu uzunluğunu ifade ettiği aşağıdaki formülle gösterilir:

$$Pe = \frac{v L}{D_e} \quad (2.8)$$

Görüldüğü gibi PD modeli tek parametrelidir. Pe büyük olduğu zaman konveksiyonun dağılmaya oranla büyündüğü, Pe küçüldüğünde de dağılmanın önem kazandığı anlamını taşır. $Pe = \infty$ özel halinde ise piston akış modeli tekrar ortaya çıkar. Piston akış modelinden sapmalar damlama yatak reaktörlerinin çeşitli özellikleri yüzünden ortaya çıkmaktadır. Oysa ki, bu modelde tek parametre ile bütün sapmaları açıklamak gerekmektedir. Peclet sayısını küçük tutarak, deneysel dağılım eğrileri ile hesaplanan eğri arasındaki farkı kısmen gidermek mümkün ise de reaktör içinde reaksiyon maddesi moleküllerinin geçirdiği aşamaları açıklamak bakımından PD modeli yetersiz kalır.

II.2.2. Piston Akışta Eksenel Dağılma ve Statik Sıvı Gözleri ile Kütle Transferi Modeli (PDE Modeli)

Deneysel reaktörde kalma süresi dağılımlarındaki asimetri ve eğrinin uzun kuyruğu PD-modeliyle simüle edilemez. İzleyici moleküllerinin kuleden çıkmakta gerçekleşmelerini Hoogendorn ve Lips{22} kuledeki statik sıvı

* Boyutsuzlandırma denklemleri ve sınır şartları Bölüm III'de ayrıntılı olarak ele alınmış olduğundan bunlara burada ve Bölüm II.2.2. de yer verilmemiştir.

gözleri ile hareketli sıvı akışı arasındaki kütle alış verisi ile açıklamayı önermişlerdir. Diğer bir deyişle izleyici molekülleri statik sıvı gözlerine de girebilmekte ve burada bekleyerek çıkışa varmakta gecikmekte- dirler. Bu yaklaşımda eksenel dağılma olmadığı varsayılmıştır. Bu modeli PD- modeli ile birleştirerek her iki olayın etkisini de dağılım fonksiyonuna katmak mümkün- dür{72}. Denklemlerin boyutsuzlandırılmış şekli söyle- dir:

$$\frac{1}{Pe} \frac{\partial^2 u}{\partial z^2} - \frac{1}{\phi} \frac{\partial u}{\partial z} - N(u - u^*) = \frac{\partial u}{\partial \theta} \quad (2.9)$$

$$\frac{\partial u^*}{\partial \theta} = \frac{N\phi}{1-\phi} (u - u^*) \quad (2.10)$$

Burada u , boyutsuz konsantrasyonu; z , kule girişinden itibaren boyutsuz uzaklığı; θ , boyutsuz zamanı; Pe , Peclet sayısını; u^* , statik sıvı gözlerindeki izleyici konsantrasyonunu; N , statik ve dinamik sıvı bölümleri arasındaki kütle transferini tarif eden transfer ünite- si sayısını; ϕ , dinamik sıvı tutma oranının toplam sıvı tutma oranına bölümünü ifade etmektedir.

Denklem (2.9)'un (2.7) ye göre farkı, bir miktar izleyicinin ana akış bölgesinden ayrılabilmesi veya tekrar katılabilmesidir. Ana akıştan ayrılan izleyici, konsantrasyon itici gücünün doğrultusuna bağlı olarak, birbir- ri ile teması olmayan statik gözlere veya bu gözlerden tekrar ana akış fazına girer. Statik sıvı gözlerindeki konsantrasyon böylece yerel ana akış konsantrasyonu ile kendi konsantrasyonuna bağlı olarak değişir: denklem (2.10).

PDE Modeli deneysel reaktörde kalma süresi dağılım eğrilerini hesaplamakta büyük ölçüde başarılı olmuştur. Ancak içinden sıvı geçirilen herhangi bir dolgulu kulede gözlenebileceği gibi, akış rejimi piston akış rejimine uymaz. Özellikle pilot tesis ve laboratuar kulesi boyutlarındaki cihazlarda, aşağıya süzülen sıvının koşullara bağlı olarak % 25 ile % 55'inin duvarlarda toplanarak aşağıya indiği kaydedilmiştir{67,24,40}. Bu durumda PDE modeli, sadece dağılım fonksiyonunun hesaplanmasında kullanılabilirse de, damlama yatak reaktörlerinin içinde vuku bulan olayları tarif ve izah etmemektedir. Bu nedenle, deneysel değerler ile hesaplanmış eğriler karşılaştırıldığında model kapsamına alınan olayların relatif büyüklüklerini tayin eden üç parametrenin, P_e , N ve ϕ , denklem yapısı içinde gözükmemeyen olaylar yüzünden çıkan farkları da gidermesi gerekmektedir. Probleme bu açıdan bakıldığından, PDE modelinde P_e , N ve ϕ parametrelerinin daha gerçekçi akış profillerini içeren bir modele kıyasla değişik değerler alması beklenir.

II.3. Dolgulu Kulelerde Sıvı Akış Profilleri

Dolgulu kulelerde sıvı, yüksek eksenel akış hızı bölgelerinden düşük eksenel akış hızı bölgelerine süzülerek akış dağılımlarını bir dengeye doğru götürür; sıvının gözlenen diğer bir hareketi de kule cidarında toplanma eğilimidir. Sıvı akış profillerinin bu denge arama karakteristiği, olayın difüzyon denklemi tipinde bir denklemle tarif edilmesine yol açmıştır{7}.

$$\frac{\partial f}{\partial x} = \Lambda \left[\frac{1}{r} \frac{\partial f}{\partial r} + \frac{\partial^2 f}{\partial r^2} \right] ; L \geq x \geq 0, a \geq r \geq 0 \quad (2.11)$$

Burada f , sıvı akış hızını ($m^3/m^2\text{-san}$); x , dolgu yatağıının başlangıcından itibaren uzaklığı; r , kulenin merkezinden yarıçap yönünde uzaklığını; Λ , sıvının yarıçap istikametinde dağılma katsayılığını; a , kule yarıçapını; L , dolgu boyu yüksekliğini ifade eder. Denklem (2.11) değişik cidar sınır şartları için çözülmüştür{21,43,44, 13}.

Bu sınır şartlarının ayrıntılı eleştirisi ve gerçekçi sınır şartları Onda ve yardımcıları{40} tarafından verilmiştir. Buna göre sınır civarındaki ana dolgu sıvı akış hızı $f(a,x)$ duvar üzerindeki akış hızı $\omega(x)$ ile dengede olmadığı takdirde ana dolgu akış bölgesinden duvar akış bölgesine net sıvı geçisi olacaktır. Her $f(a,x)$ için, kendisi ile dengede olan bir duvar sıvı akış hızı $\omega^*(x)$ deneysel olarak bulunabilir. Bu durumda ana akış bölgesinden duvar akışı bölgesine sıvı geçiş miktarı $\{\omega^*(x) - \omega(x)\}$ itici gücüne orantıdır.

Böylece:

$$-2\pi a \Lambda \left(\frac{\partial f}{\partial r} \right)_{r=a} = G\{\omega^*(x) - \omega(x)\} = \frac{d\omega(x)}{dx} \quad (2.12)$$

Burada G empirik olarak hesaplanan bir katsayıdır. Denklemin çözümü için gerekli diğer sınır şartı, radial simetri şartıdır:

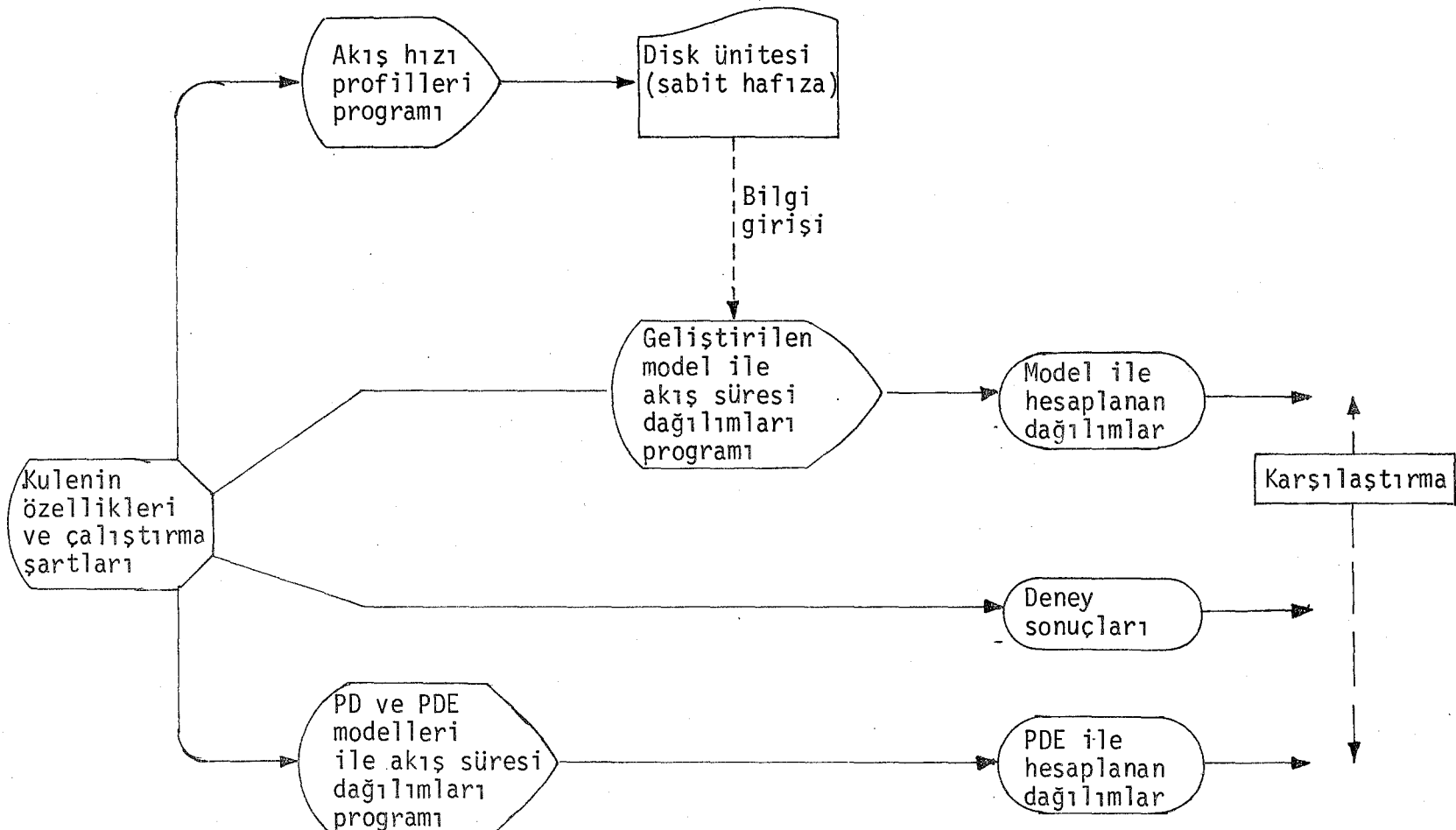
$$\frac{\partial f(0,x)}{\partial r} = 0 \quad (2.13)$$

Bu denklem takımı (2.11-2.13), $x = 0$ 'da

$$f(r,0) = f_0, \quad (f_0 \text{ sabit}) \quad (2.14)$$

başlangıç şartı ile çözüldüğünde deneysel sonuçlara çok yakın sıvı akış profilleri ve duvar fazı akış hızları elde edilmiştir. G ve $w^*(x)$ parametrelerinin değerleri Raschig halkaları üzerinden akan susistemi için tesbit edilmiştir. Bu denklem takımının çözümü Bölüm III ve Bölüm IV'de ele alınacaktır.

Bu çalışmada duvar akışı bölgesindeki sıvı akışını, eksenel dağılmayı ve statik sıvı ile kütle transferini içeren bir kule modeli geliştirilecektir. Bu modelin işlerliği, modelden hesaplanan ve deney sonucu bulunan, reaktörde kalma süresi dağılım eğrilerinin karşılaştırılması ile incelenecektir. Geliştirilen modelden reaktörde kalma süresi dağılımlarının hesaplanması, yukarıda anlatılan "Onda" modelinin sıvı akış hızları kullanılacaktır. Çalışmanın bilgi akım şeması özeti Şekil II.1. de gösterilmiştir.



NOT: Sembolü, bu çalışma çerçevesinde hazırlanan programları ifade etmektedir.

Sekil II.2 - Çalışmanın bilgi akış şeması özeti.

BÖLÜM III

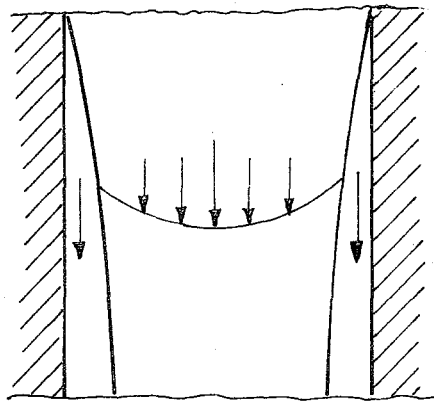
DAMLAMA YATAK REAKTÖRLERİNDE SIVI FAZ

III.1. Modelin Anahatları

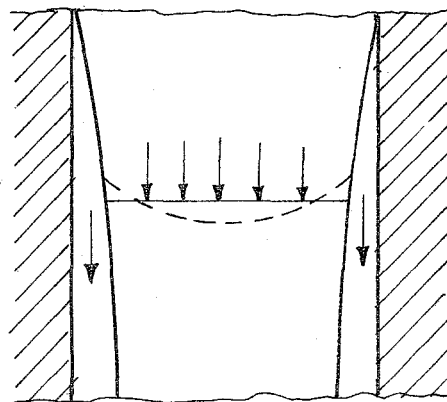
Dolgu üzerinden akan sıvının bir kısmının kule cidarlarından aşağıya süzülme eğiliminde olduğu Bölüm II de açıklanmıştır. Dolgulu kulelerin bu özelliğini de içeren bir matematik modelde cidar akışı bölgesinin ana dolgu akışından ayrı bir bölge olarak tanımlanması gereklidir. Bu ikinci bölge, ana dolgu akış bölgesi ile kule boyunca temas halindedir. İki bölgeyi ayıran sınırda Denklem (2.12) ile belirlenen net konveksiyon ile ana dolgu akış bölgesinden duvar akış bölgesine sıvı geçisi vardır. Buna ilave olarak sıvının taşıdığı komponentlerden her biri konsantrasyon itici gücü doğrultusunda difüzyonla da bölge değiştirebilir.

Ana akış bölgesinde sıvı elemanlarının akış hızı uniform değildir. Bu çalışmada bilgisayar hesap zamanı ve bilgisayar hafıza ihtiyaçlarını sınırlamak amacı ile ana dolgu akış bölgesindeki hız dağılımlarının ortalaması bu bölgedeki uniform hız olarak kabul edilmiştir. Akış profillerinin genel karakteri ve yapılan kabul Şekil III.1. de kalitatif olarak gösterilmiştir.

Ana akış bölgesinin diğer bir özelliği, bu bölge içinde statik sıvı gözleri bulunması ve reaksiyon maddesi veya izleyici moleküllerinin bu statik bölgelere girerek zaman kaybetmeleridir. Genellikle bu olay reaktör performansını olumsuz yönde etkiler. Statik bölgeler, PDE modelinde olduğu gibi bu çalışmada önerilen modelde de ana akış bölgesinden ayrı bir bölge olarak



a - Dolgulu kulede sıvı akış profilleri



b - Sıvı akış profillerinin bu çalışmada kabul edilen şekli.

Şekil III.1

ele alınacak ve bu iki bölge arasındaki kütle transferi katsayısı yeni baştan değerlendirilecektir.

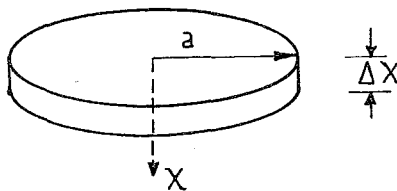
Geliştirilen model vasıtasyyla, reaktör içine yerkediilen bir izleyici darbesinin konsantrasyon dağılımlarını, zaman fonksiyonu olarak hesaplamak üzere, belirtilen her üç bölge için birer kütle dengesi denklemi yazılması gerekmektedir.

- a) Ana dolgu akış bölgesinde konsantrasyon dağılımlarını tanımlayan bir kısmi diferansiyel denklem,
- b) Kule cidarından akan sıvı içindeki izleyici konsantrasyonunu tanımlayan bir kısmi diferansiyel denklem ve,
- c) Ana dolgu içindeki statik sıvı gözlerinin konsantrasyon dinamığını tanımlayan bir adi diferansiyel denklem.

Bu bölümün geri kalan kısmı bahsedilen denklem-lerin geliştirilmesine hasredilmiştir.

III.2. Damlama yatak reaktörü modeli.

a) Ana akış bölgesi denklemleri



Şekil III.2. Reaktör elemanı ve reaktörün koordinat eksenleri

Ana akış bölgesinde izleyicinin hareketini tarif eden denklemler, Şekil III.2. de gösterilen reaktör elemanı gözönüne alınarak kurulan kütle dengesi vasıtayla yazılacaktır.

Eleman içine eksene paralel doğrultuda giren izleyici miktarı

$$-D_e \frac{\partial c(x,t)}{\partial x} \pi a^2 \epsilon \beta_D + f(x) c(x,t) \pi a^2 \quad (3.1a)$$

denklemiyle ifade edilir. Burada, D_e , etkin difüzyon katsayısını; $-D_e \frac{\partial c}{\partial x}$ dağılıma kütle akısını; a , kule yarıçapını; ϵ , dolgulu kulenin boşluk oranını; β_D , kulenin dinamik sıvı tutma oranını (dynamic holdup); $f(x)$,

sivinin akış hızını ($m^3/m^2\text{san}$); c , zaman ve yere bağımlı ana dolgu bölgesi izleyici konsantrasyonunu göstermektedir. Böylece ilk terim difüzyon, ikinci terim de konveksiyon yolu ile elemana giren izleyici miktarını belirtmektedir. Şekil III.2. deki kule elemanından ek-senel doğrultuda çıkan izleyici miktarı ise,

$$-D_e \frac{\partial c(x + \Delta x, t)}{\partial x} \pi a^2 \epsilon \beta_D + f(x + \Delta x) c(x + \Delta x, t) \pi a^2 \quad (3.1b)$$

denklemiyle ifade edilir.

Reaktör elemanına giren ve çıkan izleyici miktarları arasındaki fark şöyle açıklanır.

a) Reaktör elemanı içinde birikme:

Bu husus aşağıdaki ifade ile belirlenir;

$$\frac{\partial \bar{c}(x, t)}{\partial t} \pi a^2 \Delta x \epsilon \beta_D. \quad (3.2a)$$

Burada $\bar{c}(x, t)$, Δx kalınlığındaki reaktör elemanındaki ortalama izleyici konsantrasyonudur. Δx limitte sıfıra yaklaşlığında \bar{c} de c ye yaklaşmaktadır.

b) Statik sıvı gözleri ile konsantrasyon itici gücү doğrultusunda kütte transferi:

Burada

$$k_s \{ \bar{c}(x, t) - \bar{c}^*(x, t) \} \pi a^2 \Delta x. \quad (3.2b)$$

bağıntısı söz konusudur.

c) Reaktörün ana eksenine dik doğrultuda duvar akışı bölgesine konvektif akım ile geçiş:

$$\bar{c}(x,t) \frac{d\omega(x)}{dx} \Delta x . \quad (3.2c)$$

Bu ifade denklem (2.6) da görülen konvektif sınır şartından ileri gelir. İfadenin $2\pi a$ ile çarpılmaması $\omega(x)$ 'in toplam duvar akışı olarak tanımlanması nedeniyedir.

d) Reaktörün ana eksenine dik doğrultuda duvar akışı bölgesine difüzyon ile geçiş hususu da

$$k_{\omega} \{c(x,t) - c_{\omega}(x,t)\} 2\pi a \Delta x \quad (3.2d)$$

ifadesiyle belirlenir ki burada k_{ω} ana akış bölgesi ile duvar akışı bölgesi arasındaki kütte transferi katsayısidır.

e) Varsa reaksiyon ile kaybolma:

$$k_1 c(x,t) \pi a^2 \Delta x. \quad (3.2e)$$

Burada k_1 , birinci mertebeden reaksiyon hız sabitini ifade eder. Önerilen modelin reaktör dönüşmeleri üzerindeki etkilerini de incelemek amacı ile denklem takımına reaksiyon teriminin de katılması gereklidir. $k_1 c(x,t)$ reaktör hacmi içindeki dönüşmeyi mol/hacim cinsinden vermektedir. Burada denklem takımının çözümünü daha çapraz hale getirmemek için birinci mertebeden ve irreversibl bir reaksiyon seçilmiştir.

Bütün terimlerin yazılmasında ana dolgu akış bölgesinin yarı çapı kule yarı çapına eşit tutulmuştur.

Bu yaklaşım kule cidarından aşağıya akan sıvı tabakasının kalınlığının kule yarıçapına oranla pek küçük kaldığı gözlemine dayandırılmıştır. (3.1a) ve (3.1b) deki ifadelerle (3.2a-c) ifadelerini birleştirip, $\pi a^2 (\Delta x) \epsilon \beta_D$ ye bölüp, Δx sıfıra giderken denklemin her iki yanının da limitini alarak aşağıdaki denklem elde edilir.

$$D_e \frac{\partial^2 c}{\partial x^2} - \frac{1}{\epsilon \beta_D} \frac{\partial}{\partial x} (fc) - \frac{k_s}{\epsilon \beta_D} (c - c^*) = \frac{c}{\pi a^2 \epsilon \beta_D} \frac{d\omega}{dx}$$

$$- \frac{k_1}{\epsilon \beta_D} c - \frac{2 k_\omega}{a \epsilon \beta_D} (c - c_\omega) = \frac{\partial c}{\partial t} \quad (3.3)$$

Ana dolgu akış bölgesindeki izleyici konsantrasyonlarını veren bu denklemi sol tarafındaki terimler, sırasıyla eksenel dağılma, konveksiyon, statik bölgelere kütle transferi, duvar akışı bölgese konveksiyon ve difüzyon ile geçiş ve nihayet reaksiyonla kaybolmayı ifade eder.

Statik sıvı gözlerindeki konsantrasyon da yer ve zamana bağlı olarak değişir. Bu gözlerin toplam hacmi kulenin statik sıvı tutma oranı, β_s , ile kule boşluk oranı ϵ 'un çarpımından bulunur. Kütle dengesi denklemi söyledir:

$$\pi a^2 \Delta x \epsilon \beta_s \frac{\partial \bar{c}^*(x, t)}{\partial t} = k_s \{ \bar{c}(x, t) - \bar{c}^*(x, t) \} \pi a^2 \Delta x. \quad (3.4)$$

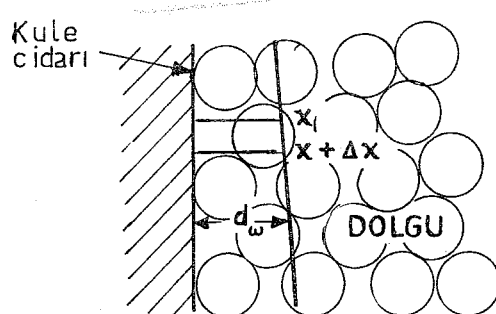
Sadeleştirince

$$\frac{\partial c^*}{\partial t} = \frac{k_s}{\epsilon \beta_s} (c - c^*) \quad (3.5)$$

elde edilir.

Görüldüğü gibi k_s (zaman)⁻¹ boyutunu taşımaktadır. Van Swaaij{71} PDE modelinde k_s 'i birim hacimde statik ve dinamik akış bölgeleri arasındaki alan A ile bu alandaki kütle akışını tanımlayan, k , kütle transfer katsayıısının çarpımı olarak tanımlamıştır. Bu tanımlama absorpsiyon kulelerinde kullanılan birleşik kütle transferi katsayıısına ($k_G a$ veya $k_L a$) benzemektedir. Ancak statik sıvı gözlerinin karakteri itibarıyle, k_s 'in aynı zamanda sürekli, karıştırmalı tank reaktörlerin ortalama reaktörde kalma süresini de andirdığına dikkat etmek gerekmektedir. Şöyle ki, statik sıvı gözlerini, konsantrasyonu giren sıvı ile sürekli değişen, ve bu değişmesi, giren sıvının hızı, k_s , ile ayarlanan birer küçük sürekli, karıştırmalı kap olarak kabul etmek mümkündür.

Duvar akışı bölgesi izleyici konsantrasyon profilleri denklemi de, sıvı tabakası etrafında yazılacak kütle dengesinden bulunur. Burada sıvı tabakasının yarıçap doğrultusundaki konsantrasyonlarının eşdeğer olduğu varsayımlı kullanılacaktır. Bu varsayımlının tabakanın inceliği ve türbülanslı karışma oranının yüksekliği nedeniyle iyi bir yaklaşım olduğu bilinmektedir{25}.



Şekil III.3. Duvar akışı bölgesinde hacim elemanı.

Duvara bitişik akan sıvı tabakasında diferansiyel hacim aşağıdaki ifade ile tanımlanır.

$$\epsilon \{ \pi a^2 - \pi (a^2 - d_\omega^2) \} \Delta x = \epsilon \{ 2\pi a d_\omega - \pi d_\omega^2 \} \Delta x \quad (3.6)$$

Bu ifadede ϵ kule boşluk oranı, d_ω 'da sıvı tabaka kalınlığıdır. Burada $a > d_\omega$ kabul edilecektir. Bölüm IV.5'te verilen (d_ω/L) değerleri bu varsayıımı doğrular niteliktedir. Böylece duvar akışı tabakasında hacim elemanı

$$\epsilon \{ 2\pi a d_\omega - \pi d_\omega^2 \} \Delta x \approx 2\pi a d_\omega \epsilon \Delta x \quad (3.7)$$

olarak bulunmuştur.

Görüldüğü gibi duvar akış bölgesinde dinamik sıvı tutma oranı,

$$\beta_D = 1 \quad (3.8)$$

olarak kabul edilmiştir. Bu da dolgu maddesi arasındaki boşlukların tamamının sıvı tabakası tarafından doldurulduğu gözlemine dayanmaktadır. Tanımlanan hacim elemanına düşey olarak giren izleyici miktarı

$$-2\pi a \epsilon d_\omega(x) D_e \frac{dc_\omega}{dx}(x,t) + \omega(x) c_\omega(x,t) \quad (3.9)$$

şeklinde ifade edilir.

Daha evvel de görüldüğü gibi $\omega(x)$ cidara bitişik olarak sözülen sıvı miktarının tümü şeklinde tanımlanmıştır. Denklem (3.9) daki ifadenin ilk terimi etkin difüzyon katsayı ile orantılı dağılmayı, ikinci terim de izleyicinin konveksiyon ile hareketini tanımlamakta-

dır. Veri eksikliği nedeniyle, bu bölgedeki etkin difüzyon katsayısı ana akış bölgesindeki D_e ile aynı kabul edilmiştir.

Hacim elemanının ana akış bölgesi ile izleyici transfer ilişkisi aşağıdaki şekildedir.

$$\frac{d\omega(x)}{dx} \bar{c}(x,t) \Delta x + 2\pi[a - d_\omega(x)] k_\omega \{\bar{c}(x,t) - \bar{c}_\omega(x,t)\} \Delta x \quad (3.10)$$

Bu ifadede ilk terim net konveksiyon ile duvar akışı bölgesine izleyici girişini, ikinci terim ise konsantasyon itici gücü doğrultusunda net izleyici hareketini gösterir.

Düşey doğrultuda hacim elemanını terkeden izleyici miktarı şöyle ifade edilir.

$$-2\pi a \epsilon d_\omega(x + \Delta x) D_e \frac{dc_\omega(x + \Delta x, t)}{dx} + \omega(x + \Delta x) c_\omega(x + \Delta x, t) \quad (3.11)$$

Hacim elemanında birikme ise şöyle ifade edilir:

$$2\pi a \bar{d}_\omega(x) \epsilon \Delta x \frac{\partial \bar{c}_\omega(x, t)}{\partial t} \quad (3.12)$$

Denklem (3.9-3.12) deki ifadeleri derleyip, girdilerle çıktılar arasındaki farkı birikmeye eşitleyerek, bütün denklemi $2\pi a \bar{d}_\omega(x) \epsilon \Delta x$ 'e böldükten sonra, denklemin her iki yanındaki Δx sıfıra giderken limitini alınca, duvar

akışı bölgesi izleyici konsantrasyonu denklemi elde edilir.

$$\frac{D_e}{d_\omega} \frac{\partial}{\partial x} \left[d_\omega \frac{\partial c_\omega}{\partial x} \right] - \frac{1}{2\pi a \epsilon d_\omega} \frac{\partial}{\partial x} (c_\omega) + \frac{1}{2\pi a d_\omega \epsilon} c \frac{dc_\omega}{dx} \\ + \frac{k_\omega}{\epsilon d_\omega} (c - c_\omega) = \frac{\partial c_\omega}{\partial t} \quad (3.13)$$

Bu denklemin yazılışında $(a - d_\omega) \approx a$, olarak kabul edilmiştir.

Bu bölümde geliştirilen model, denklem (3.3), (3.5) ve (3.13) de verilen birbirine bağımlı üç denklem ile gösterilmiştir. Bu denklemlerde bağımlı değişken olarak gözüken c , c^* ve c_ω sırasıyla ana dolgu akış bölgesindeki, statik sıvı gözleri bölgesindeki ve duvar akışı bölgesindeki izleyici konsantrasyonlarıdır. Reaktöre Dirac fonksiyonu şeklinde bir izleyici darbesi zerkedildiğinde uygulanması gereken başlangıç şartları çok basittir.

$$\left. \begin{array}{l} c(x,0) = 0 \\ c^*(x,0) = 0 \\ c_\omega(x,0) = 0 \end{array} \right\} \quad 0 \leq x \leq L \quad (3.14)$$

Buna karşın sınır şartlarının ayrıntılı olarak ele alınması gerekmektedir.

III.2.1. Sınır Şartları

Eksenel dağılmalı sistemlerde izleyici konsantrasyonu üzerindeki sınır şartları uzun tartışmalara yol açmıştır{6,63,69,75}. Dirac δ -fonksiyonu cinsinden bir darbe ile izleyici girişi yapıldığında doğru sınır şartları şöyle yazılır{61,63}.

$$x = 0; f(0) = f_0 \quad (3.15)$$

$$x = 0; \frac{n\delta(t)}{\pi a^2} = f_0 c(0,t) - D_e \epsilon \beta_D \frac{\partial c(0,t)}{\partial x}. \quad (3.16)$$

Burada $f(x)$ ana dolgu bölgesinde akış hızını; f_0 , kulenin dolgulu kısmının başlangıcındaki uniform akış hızını; n , kuleye giren izleyicinin mol cinsinden miktarını ifade eder. Ana dolgudan çıkış sınır şartı ise şöyledir.

$$x = L; \frac{\partial c(L,t)}{\partial x} = 0 \quad (3.17)$$

Bu sınır şartı çıkışta, yani kule içindeki etkenlerin kesildiği sınırdan itibaren, konsantrasyonda azalma veya çoğalma olamayacağını ifade eder. Bu hususun termodynamığın ikinci kanununun gereği olduğu Standart{63} tarafından gösterilmiştir.

Bu şartlara ek olarak bu çalışmada geliştirilen model ek bazı sınır şartları getirilmesini gerektirmektedir. Giriş sınırında duvar akışı bölgesi henüz oluşmamıştır; bu sınırda:

$$x = 0; \omega(0) = 0. \quad (3.18)$$

Bu nedenle duvar akışı izleyici konsantrasyonu ancak

sınırının hemen içerisinde, yani duvar akışının sıfırdan değişik olduğu ilk x - uzaklığında tarif edilebilir. Bu ilk duvar akışı izleyici konsantrasyonu yerel ana dolgu izleyici konsantrasyonuna eşittir.

$$x = 0^+ ; \quad c_\omega(0^+, t) = c(0^+, t). \quad (3.19)$$

Duvar akışı bölgesinde çıkış sınır şartı (3.17) nin benzeridir.

$$x = L; \quad \frac{\partial c_\omega}{\partial x}(L, t) = 0. \quad (3.20)$$

III.2.2. Modeli Tanımlayan Denklemlerin Özeti

Bu çalışmaya esas teşkil eden modelin denklemleri aşağıdaki şekilde özetlenebilir.

$$\begin{aligned} D_e \frac{\partial^2 c}{\partial x^2} - \frac{1}{\epsilon \beta_D} \frac{\partial}{\partial x} (fc) - \frac{k_s}{\epsilon \beta_D} (c - c^*) - \frac{c}{\pi a^2 \epsilon \beta_D} \frac{d\omega}{dx} \\ - \frac{k_1}{\epsilon \beta_D} c - \frac{2k_\omega}{a \epsilon \beta_D} (c - c_\omega) = \frac{\partial c}{\partial t} \end{aligned} \quad (3.3)$$

$$\frac{\partial c^*}{\partial t} = \frac{k_s}{\epsilon \beta_s} (c - c^*) \quad (3.5)$$

$$\begin{aligned} \frac{D_e}{d_\omega} \frac{\partial}{\partial x} \left[d_\omega \frac{\partial c_\omega}{\partial x} \right] - \frac{1}{2\pi a \epsilon d_\omega} \frac{\partial}{\partial x} (\omega c_\omega) + \frac{1}{2\pi a d_\omega \epsilon} c \frac{d\omega}{dx} \\ + \frac{k_\omega}{\epsilon d_\omega} (c - c_\omega) = \frac{\partial c_\omega}{\partial t} \end{aligned} \quad (3.13)$$

$$\text{Başlangıç şartı: } c(x, 0) = c^*(x, 0) = c_\omega(x, 0) = 0; \quad 0 \leq x \leq L. \quad (3.14)$$

$x = 0$ da sınır şartları:

$$f(0) = f_0 \quad (3.15)$$

$$\omega(0) = 0; c_{\omega}(0^+, t) = c(0^+, t) \quad (3.18); (3.19)$$

$$\frac{n\delta(t)}{\pi a^2} = f_0 c(0, t) - D_e \epsilon \beta_D \frac{\partial c(0, t)}{\partial x} \quad (3.16)$$

$x = L$ de sınır şartları:

$$\frac{\partial c}{\partial x}(L, t) = 0; \frac{\partial c_{\omega}}{\partial x}(L, t) = 0 \quad (3.17); (3.20)$$

Duvar akışının ve reaksiyon teriminin hesaba katılmadığı hallerde model şu hale indirgenebilir:

$$D_e \frac{\partial^2 c}{\partial x^2} - \frac{1}{\epsilon \beta_D} \frac{\partial}{\partial x}(fc) - \frac{k_s}{\epsilon \beta_D}(c - c^*) = \frac{\partial c}{\partial t} \quad (3.21)$$

$$\frac{\partial c^*}{\partial t} = \frac{k_s}{\epsilon \beta_D}(c - c^*) \quad (3.5)$$

Başlangıç ve sınır şartları

$$t=0 \quad c(x, 0) = c^*(x, 0) = 0 \quad (3.22)$$

$$x = 0' da: \frac{n\delta(t)}{\pi a^2} = f_0 c(0, t) - D_e \epsilon \beta_D \frac{\partial c(0, t)}{\partial x} \quad (3.16)$$

$$x = L' de : \frac{\partial c(L, t)}{\partial x} = 0 \quad (3.17)$$

denklemleriyle verilir.

Çalışmamıza esas teşkil eden model bu şekilde sadeleştirince PDE modeline indirgenmektedir. Statik sıvı gözlerinin de hesaba katılmadığı durumda eldeki denklem takımı bir kademe daha basitleştirilebilir.

$$D_e \frac{\partial^2 c}{\partial x^2} - \frac{1}{\epsilon \beta_T} \frac{\partial}{\partial x} (f c) = \frac{\partial c}{\partial t} \quad (3.23a)$$

Başlangıç şartı:

$$c(x,0) = 0 \quad (3.23b)$$

olarak verilir.

Sınır Şartları

$$x = 0' da \frac{n \delta(t)}{\pi a^2} = f_0 c(0,t) - D_e \epsilon \beta_D \frac{\partial c(0,t)}{\partial x} \quad (3.23c)$$

ve

$$x = L' de \frac{\partial c(L,t)}{\partial x} = 0 \quad (3.23d)$$

şekline dönüşür.

Böylece denklem takımının PD modeline de indirgenebileceği görülmektedir.

Göründüğü gibi literatürde evvelce önerilmiş olan damlama yatak reaktörü modelleri, çalışmamıza esas teşkil eden modelin özel ve basitleştirilmiş halleri olarak ortaya çıkmaktadır.

III.3. SIVI AKIŞ PROFİLLERİ MODELİ

Yukarıda açıklanan model, sıvı akış hızları f_0 , $f(x)$ ve $\omega(x)$ ile duvar akışı sıvı tabakası kalınlığı $d_\omega(x)$ değerleri veri olarak kabul edilerek geliştirilmiştir. Bunları kule içinde ayrıntılı olarak ölçmek mümkün olsa idi, elde edilen deneysel değerler doğrudan kullanılabılırdı. Elimizde bu nitelikte veri bulunmadığından Bölüm II.3 de özetlenen çalışmalar arasında en geliştirilmiş sıvı akış profilleri modelinden elde edilecek $f(x)$, $\omega(x)$ ve $d_\omega(x)$ değerlerinin önerilen denklem takımı içinde kullanılması yoluna gidilmiştir. Onda ve yardımcıları{40}, modeli açıkladıkları makalede saadece kısmi diferansiyel denklem takımı ile sonuçlarını göstermişlerdir. Bu nedenle denklem takımı bu çalışmanın çerçevesi içinde tekrar çözülmüştür. Denklemin boyutsuzlaştırılması, III.4 de, sonlu farklarla çözümü de Bölüm IV'te gösterilmiştir. Anahatları Bölüm II'de anlatılan modelin matematik tarifi şöyledir:

$$\frac{\partial f(r,x)}{\partial x} = \Lambda \left[\frac{1}{r} \frac{\partial f}{\partial r} + \frac{\partial^2 f}{\partial r^2} \right] ; \quad x \geq 0 \quad (3.24)$$

$$x = 0 \quad f(r,0) = f_0 ; \quad (3.25)$$

$$r = 0 \quad \frac{\partial f}{\partial r}(0,x) = 0 ; \quad (3.26)$$

$$r = a \quad -2\pi a \Lambda \left(\frac{\partial f}{\partial r} \right)_{r=a} = G\{\omega^*(x) - \omega(x)\} = \frac{d\omega(x)}{dx} ; \quad (3.27)$$

Burada x , dolgu başlangıcından itibaren uzaklığı; r , kule ekseniinden uzaklığı; f , r ve x 'e bağımlı sıvı akış hızını (m^3/m^2 san); f_0 , f 'in $x = 0$ daki değerini; a , kule yarıçapını; Λ , sıvı yayılma katsayısını; ω , duvardan

aşağıya süzülen sıvı akışını; ω^* mahalli sınırdaki ana dolgu akışı hızı ile dengeyi sağlayan duvar akışı hızını göstermektedir; G ise ana dolgudan duvar akışı bölgесine konveksiyon yolu ile geçişin ampirik katsayısidır. Yukarıdaki denklem takımında (3.24-3.27), denklem (3.24) dolgu içinde düşük akış hızı bölgelerine yüksek akış hızı bölgelerinden radiyal geçiş olduğunu, denklem (3.25) girişte sıvı akış hızlarının uniformluğunu ve denklem (3.27) akış profillerindeki radiyal simetriyi göstermektedir. Denklem (3.27) $\omega^*(x)$ değeriyle aynı yerdeki $\omega(x)$ değeri arasındaki farkı net konveksiyon itici gücü olarak kabul eden, iki bölge arasındaki sınır şartıdır. Denklem takımının parametreleri kaleden geçirilen sıvının su olduğu deneylerde ölçülerek aşağıdaki korelasyonlarla verilmiştir.

$$\Lambda = .00231 d_p^{5/6} \sigma \quad (3.28)$$

$$\omega^*(x) = .404 \pi a [f(a, x)]^{764} \quad (3.29)$$

σ 'nın yüzey gerilimini, d_p 'nin de nominal dolgu boyunu ifade ettiği bu denklemde Λ , metre cinsinden tarif edilmiştir. G parametresi de 18°C 'da 4.2 m^{-1} olarak tesbit edilmiştir.

III.4. Denklemlerin Boyutsuzlandırılması

Yukarıda geliştirilen denklemlerin sonlu farklılar yöntemi ile çözülebilmesi ve sonuçların daha evvelki modellerle karşılaştırılabilmesi için boyutsuzlandırılması gerekmektedir. Boyutsuz değişkenler şöyle tanımlanmıştır.

$$u = \frac{c}{c_0} = \text{boyutsuz ana dolgu bölgesi konsantrasyon de-} \\ \text{gişkeni; } z \text{ ve } \theta' \text{ya bağımlıdır.} \quad (3.30)$$

Burada $c_0 = n/\pi a^2 L \epsilon \beta_T$ olarak, n de giren izleyici mol sayısı olarak tanımlanır. (3.31)

$$u^* = \frac{c^*}{c_0} = \text{boyutsuz statik sıvı gözleri konsantrasyon de-} \\ \text{gişkeni; } z \text{ ve } \theta' \text{ya bağımlıdır.} \quad (3.32)$$

$$v = \frac{c_w}{c_0} = \text{boyutsuz duvar akışı bölgesi konsantrasyon de-} \\ \text{gişkeni; } z \text{ ve } \theta' \text{ya bağımlıdır.} \quad (3.33)$$

$$\Omega = \frac{\omega}{\pi a^2 f_0} = \text{boyutsuz duvar bölgesi sıvı akış hızı; } z' \text{ye} \\ \text{bağımlıdır.} \quad (3.34)$$

$$z = x/L = \text{boyutsuz eksenel koordinat.} \quad (3.35)$$

$$\theta = \frac{t f_0}{L \epsilon \beta_T} = \text{boyutsuz zaman değişkeni.} \quad (3.36)$$

$$\Delta = \frac{d_w}{L} = \text{boyutsuz duvar akışı bölgesi sıvı tabakası ka-} \\ \text{lınlığı; } z' \text{ye bağımlıdır.} \quad (3.37)$$

$$F = \frac{f}{f_0} = \text{boyutsuz ana dolgu akış hızı} \quad (3.38)$$

$$E = \frac{L}{a \beta_T} = \text{boyutsuz kule geometrik sabiti.} \quad (3.39)$$

Kule içindeki konsantrasyon profillerini tarif eden denklemlerin boyutsuzlandırılması ile ortaya çıkan boyutsuz katsayı grupları şunlardır.

$$Pe = \frac{f_0}{\epsilon \beta_T} \frac{L}{D_e} = \text{Peclet sayısı} \quad (3.40)$$

$(f_0/\epsilon \beta_T)$ kule girişindeki sıvı akış hızı olduğuna göre Pe 'nin buradaki tanımlanması PD ve PDE modellerinde tanımlanan Pe sayısının aynıdır.

$$\phi = \frac{\beta_D}{\beta_T} = \text{dinamik sıvı tutma oranının toplam sıvı tutma oranına bölümü.} \quad (3.41)$$

Bu parametre kule içindeki sıvının dinamik ve statik iki ayrı bölge olarak tanımlanması ile ortaya çıkar.

$$N = \frac{k_s L}{\phi f_0} = \text{dinamik ve statik sıvı bölgeleri arasındaki izleyici kütte transferini tanımlayan kütte transfer Ünitesi sayısı.} \quad (3.42)$$

N, Van Swaaij{71} tarafından aşağıda gösterilen terimler yolu ile tanımlanmaktadır.

$$N = \frac{KL}{u}; K = \frac{kA}{\epsilon \beta_D} \quad (3.43a)$$

Burada k , iki sıvı bölgesi arasındaki kütte transferi katsayısını; A , iki sıvı arasındaki alanını; L , kule dolgusunun toplam yüksekliğini; ve u , sıvı akış hızını ifade etmektedir. kA , bu çalışmada k_s olarak, u da $f_0/\epsilon \beta_T$ olarak tanımlanmıştır.

$$N = \frac{k_s L}{\epsilon \beta_D u} = \frac{k_s L}{\epsilon \beta_D} \left(\frac{\epsilon \beta_T}{f_0} \right) = \frac{k_s L}{\phi f_0} \quad (3.43b)$$

Böylece iki çalışmada kullanılan N parametresinin aynı şekilde tanımlandığı görülmektedir. PD ve PDE modelle-

rinin P_e , ϕ , ve N parametrelerine bu çalışmada önerilen damlama yatak reaktör modeli ile R_N parametresi eklenir. Buna göre

$$R_N = \frac{2k_\omega L}{f_0 a} \quad . \quad (3.44)$$

R_N duvar akışı bölgesi ile ana dolgu akışı bölgesi arasındaki difüzyona bağlı kütle transferinin boyutsuzlandırılmış katsayısidır. Son olarak,

$$R_x = \frac{k_1 L}{f_0 \phi} = \text{boyutsuzlandırılmış birinci mertebeden reaksiyon hızı sabiti olarak tanımlanır.} \quad (3.45)$$

Bu değişkenler ve parametrelerin kullanılması ile bu çalışmada önerilen model aşağıda gösterilen şekle dönüştürmektedir.

$$\frac{1}{P_e} \frac{\partial^2 u}{\partial z^2} - \frac{1}{\phi} \frac{\partial}{\partial z} (F_u) - N(u - u^*) - \frac{1}{\phi} u \frac{d\Omega}{dz} - R_x u - \frac{R_N}{\phi} (u - v) \\ = \frac{\partial u}{\partial \theta} \quad (3.46)$$

$$\frac{\partial u^*}{\partial \theta} = \left(\frac{\phi}{1-\phi} \right) N(u - u^*) \quad (3.47)$$

$$\frac{1}{\Delta} \frac{1}{P_e} \frac{\partial}{\partial z} \left[\Delta \frac{\partial v}{\partial z} \right] - \frac{1}{2E \Delta} \frac{\partial}{\partial z} (\Omega v) + \frac{1}{2E \Delta} u \frac{d\Omega}{dz} \\ + \frac{R_N}{2E \Delta} (u - v) = \frac{\partial v}{\partial \theta} \quad (3.48)$$

Başlangıç şartları aşağıdaki gibidir.

$$\theta = 0: u(z,0) = 0 \quad (3.49a)$$

$$\theta = 0: u^*(z,0) = 0 \quad (3.49b)$$

$$\theta = 0: v(z,0) = 0 \quad (3.49c)$$

Sınır şartları da aşağıda gösterilen şekli almaktadır.

$$z = 0: F(0) = 1 \quad (3.50a)$$

$$z = 0: \Omega(0) = 0 \quad (3.50b)$$

$$z = 0^+: v(0^+, \theta) = u(0^+, \theta) \quad (3.50c)$$

$$z = 0: \delta(\theta) = u(0, \theta) - \frac{\phi}{Pe} \frac{\partial u(0, \theta)}{\partial z} \quad (3.50d)$$

$$z = 1: \frac{\partial u(1, \theta)}{\partial z} = 0 \quad (3.50e)$$

$$z = 1: \frac{\partial v(1, \theta)}{\partial z} = 0 \quad (3.50f)$$

Sıvı akış profillerini boyutsuzlandırmakta üç yeni tanımlamaya gerek vardır.

$$\lambda = \frac{\Lambda}{a}; \text{ boyutsuzlandırılmış sıvı yayılma katsayıısı.} \quad (3.51a)$$

$$\gamma = \frac{Ga}{2}; \text{ boyutsuzlandırılmış duvar akışı bölgesine geçiş parametresi.} \quad (3.51b)$$

$$\Omega^* = \omega^*/\pi a^2 f_0; \text{ boyutsuzlandırılmış denge duvar akış hızı} \quad (3.51c)$$

Bu tanımlamalarla sıvı akış profillerini tanımlayan denklem, başlangıç ve sınır şartları aşağıdaki şekli almaktadır.

$$\frac{\partial F}{\partial z} = \lambda \left[\frac{1}{R} \frac{\partial F}{\partial R} + \frac{\partial^2 F}{\partial R^2} \right] \quad (3.52)$$

$$z = 0; F(R, 0) = 1 \quad (3.53)$$

$$R = 0; \frac{\partial F(0, z)}{\partial R} = 0 \quad (3.54)$$

Denklem (3.27) deki sınır şartı ikiye ayrılarak aşağıda gösterilen şekilde dönüşür.

$$R = 1; \frac{\partial F(1, z)}{\partial z} = - \frac{\gamma}{\lambda} [\Omega^*(z) - \Omega(z)] \quad (3.55)$$

$$R = 1; \frac{d\Omega(z)}{dz} = 2\gamma [\Omega^*(z) - \Omega(z)] \quad (3.56)$$

Denklem (3.46) - (3.50)'de gösterilen reaktörde kalma süresi dağılım modeli ile denklem (3.52) - (3.56)'da gösterilen sıvı akış profilleri modellerinin denklemleme Bölüm IV de sonlu farklar yöntemleri ile çözülecektir.

BÖLÜM IV

DENKLEM TAKIMLARININ ÇÖZÜMLERİ

IV.1. Sonlu Farklar Metodları

$u(x)$ fonksiyonu ve türevleri tek-değerli, sonlu, ve sürekli olduğunda, Taylor teoremine göre, b 'nin ufak değerleri için

$$u(x + b) = u(x) + bu'(x) + \frac{1}{2} b^2 u''(x) + \frac{1}{6} b^3 u'''(x) + \dots \quad (4.1)$$

Burada u' , u'' , $u''' \dots$, sırası ile u fonksiyonunun birinci, ikinci, üçüncü, v.s., türevlerini ifade etmektedir. Gene Taylor teoremine göre

$$u(x - b) = u(x) - bu'(x) + \frac{1}{2} b^2 u''(x) - \frac{1}{6} b^3 u'''(x) + \dots \quad (4.2)$$

Denklem (4.2), denklem (4.1)'den çıkarıldığında

$$u'(x) \cong \frac{1}{2b} \{u(x + b) - u(x - b)\}. \quad (4.3)$$

Bu denklemin yazılışında b^3 ve daha küçük terimler ihmal edilmiştir. Diğer taraftan (4.1) ve (4.2) deki denklemeler toplanır ise, aynı yaklaşım kullanılarak

$$u''(x) \cong \frac{1}{b^2} \{u(x + b) - 2u(x) + u(x - b)\} \quad (4.4)$$

elde edilir.

Denklem (4.3) ve denklem (4.4) deki ifadeler $u(x)$ fonksiyonunun birinci ve ikinci türevlerinin sonlu farklar da ve merkezi farklar yaklaşımı ile yazılmış halleridir.

Bu denklemler biraz değişik bir notasyonla şöyle yazılabılır.

$$u'(x) \cong \frac{1}{2(\Delta x)} (u_{j+1} - u_{j-1}), \quad (4.5)$$

$$u''(x) \cong \frac{1}{(\Delta x)^2} (u_{j+1} - 2u_j + u_{j-1}). \quad (4.6)$$

u fonksiyonu iki değişkene bağlı ise, x 'e göre kısmi türevleri benzer şekilde yazılır.

$$\frac{\partial u(x,t)}{\partial x} \cong \frac{1}{2(\Delta x)} (u_{j+1,n} - u_{j-1,n}), \quad (4.7)$$

$$\frac{\partial^2 u(x,t)}{\partial x^2} \cong \frac{1}{(\Delta x)^2} (u_{j+1,n} - 2u_{j,n} + u_{j-1,n}). \quad (4.8)$$

Burada $x = j \Delta x$ ve $\theta = n \Delta \theta$ anlamını taşır. Böylece $u(x,\theta) = u_{j,n}$ olarak yazılır. Bu tanımlamaları kısmi diferansiyel denklemlere ithal ederek denklemleri çözmekte kullanılan metodlara {47, 60, 37} sonlu farklar metodları denir. Burada kullanılacak olan Crank-Nicolson kapalı (implicit) metodu, burada elde edilen parabolik tip kısmi diferansiyel denklemlerin çözümünde mutlak stabiliteyi sağlamaktadır. Buna göre u , u' , ve u'' nun değerleri, n ve $n+1$ 'inci zaman adımlarındaki değerlerinin aritmetik ortalaması olarak hesaplanır.

Örneğin $\frac{\partial u}{\partial \theta} = \frac{\partial^2 u}{\partial x^2}$ denklemini açık (explicit) metod-la

$$\frac{1}{\Delta \theta} (u_{j,n+1} - u_{j,n}) = \frac{1}{(\Delta x)^2} \left[u_{j+1,n} - 2u_{j,n} + u_{j-1,n} \right] \quad (4.9)$$

şeklinde yazılarak $u_{j,n+1}$ için çözülecek yerde, Crank-Nicolson metodu ile yazılılığında şu şekli alır.

$$\frac{1}{\Delta \Theta} (u_{j,n+1} - u_{j,n}) = \frac{1}{2} \left[\frac{u_{j+1,n+1} - 2u_{j,n+1} + u_{j-1,n+1}}{(\Delta x)^2} \right. \\ \left. + \frac{u_{j+1,n} - 2u_{j,n} + u_{j-1,n}}{(\Delta x)^2} \right] \quad (4.10)$$

Kapalı metod çözümleri, açık metod çözümüne nazaran biraz daha çaprazık olmakla beraber, çözümlerin stabilitesini sağlama açısından genellikle tercih edilirler.

IV.2. Duvar Akışı Bölgesini İçeren Damlama Yatak Reaktör Modelinde Kalma Süresi Dağılımlarının Hesaplanması

Crank-Nicolson metoduyla açıldığında denklem (3.41) şu şekli alır:

$$u_{j,n+1} - u_{j,n} = \frac{r}{2Pe} u_{j+1,n+1} - \frac{r}{Pe} u_{j,n+1} + \frac{r}{2Pe} u_{j-1,n+1}$$

$$- \frac{\Delta\theta}{4\phi\Delta z} F_{j+1} u_{j+1,n+1} + \frac{\Delta\theta}{4\phi\Delta z} F_{j-1} u_{j-1,n+1} - \frac{N\Delta\theta}{2} u_{j,n+1}$$

$$+ \frac{N\Delta\theta}{2} u_{j,n+1}^* - \frac{\Delta\theta}{4\phi\Delta z} (\Omega_{j+1} - \Omega_{j-1}) u_{j,n+1} - \frac{R_x \Delta\theta}{2} u_{j,n+1}$$

$$- \frac{R_N \Delta\theta}{2\phi} u_{j,n+1} + \frac{R_N \Delta\theta}{2\phi} v_{j,n+1} + \frac{r}{2Pe} u_{j+1,n} - \frac{r}{Pe} u_{j,n}$$

$$+ \frac{r}{2Pe} u_{j-1,n} - \frac{\Delta\theta}{4\phi\Delta z} F_{j+1} u_{j+1,n} + \frac{\Delta\theta}{4\phi\Delta z} F_{j-1} u_{j-1,n}$$

$$- \frac{N\Delta\theta}{2} u_{j,n} + \frac{N\Delta\theta}{2} u_{j,n}^* - \frac{\Delta\theta}{4\phi\Delta z} (\Omega_{j+1} - \Omega_{j-1}) u_{j,n} - \frac{R_x \Delta\theta}{2} u_{j,n}$$

$$- \frac{R_N \Delta\theta}{2\phi} u_{j,n} + \frac{R_N \Delta\theta}{2\phi} v_{j,n} \quad (4.11)$$

Sonlu farklar metodlarında denklem, ilk zaman adımı ($n = 1$) de, başlangıç ve sınır şartlarının da kullanılması ile çözülür. Bundan sonraki her zaman adımı ($n+1$) de denklem, n 'inci zaman adımı için elde edilmiş olan çözümdeki değerlerin de denklem (4.11)'e ithali ile, ve sınır şartları ile beraber çözülür. Burada üç bağımlı değişken, u , u^* ve v bulunmaktadır. Bunlardan $u_{j,n+1}$ denklem (4.11) den aşağıda gösterilen şekilde tasfiye edilir.

Denklem (3.47) yi sonlu farklar yaklaşımında

$$\frac{1}{\Delta\theta} (u_{j,n+1}^* - u_{j,n}^*) = \frac{N\phi}{1-\phi} (u_{j,n+1} - u_{j,n+1}^*) \quad (4.12a)$$

şeklinde yazıp, $u_{j,n+1}^*$ 'ya göre çözerek

$$u_{j,n+1}^* = S_1 S_2 u_{j,n+1} + S_1 u_{j,n}^* \quad (4.12b)$$

denklemi elde edilir. Burada

$$S_1 = \frac{1}{1+S_2} \quad \text{ve} \quad (4.13a)$$

$$S_2 = \left(\frac{N\phi}{1-\phi} \right) \Delta\theta \quad (4.13b)$$

olarak tanımlanmıştır. Denklem (4.12b) 'yi denklem (4.11) e ithal edip, bilinmiyenleri ($n + 1$ alt simgeli terimleri) denklemin sol tarafında topluyarak

$$\begin{aligned} a_j u_{j-1, n+1} + b_j u_{j, n+1} + c_j u_{j+1, n+1} + S_5 v_{j, n+1} = \\ -a_j u_{j-1, n} + (S_8 - b_j) u_{j, n} - c_j u_{j+1, n} + S_7 u_{j, n}^* \\ - S_5 v_{j, n} \end{aligned} \quad (4.14)$$

denklemi elde edilir. Bu denklemi grüplamak için denklem (4.13) deki S_1 ve S_2 'ye ilave olarak aşağıdaki sabitler tanımlanmıştır.

$$S_3 = \frac{N \Delta \theta}{2}; \quad S_4 = 1 \quad (4.15a)$$

$$S_5 = \frac{R_N \Delta \theta}{2\phi} \quad (4.15b)$$

$$S_6 = \frac{\Delta \theta}{4\phi \Delta z} \quad (4.15c)$$

$$S_7 = -S_3(1 + S_1) \quad (4.15d)$$

$$S_8 = S_1 S_2 S_3^{-2} \quad (4.15e)$$

$$S_9 = \frac{R_x \Delta \theta}{2} \quad (4.15f)$$

$$r = \frac{\Delta \theta}{(\Delta z)^2} \quad ; \quad r_0 = \frac{r}{2Pe} \quad (4.15g)$$

$$r_s = - \left(\frac{r}{Pe} + 1 + S_3 + S_5 + S_9 - S_1 S_2 S_3 \right) \quad (4.15h)$$

$$a_j = r_o + s_6 F_{j-1} \quad (4.15i)$$

$$b_j = r_s - s_6 (\Omega_{j+1} - \Omega_{j-1}) \quad (4.15j)$$

$$c_j = r_o - s_6 F_{j+1} \quad (4.15k)$$

F ve Ω terimleri akış hızları olup, ayrıca hesaplanarak bu denklemlerin çözümünde veri olarak kullanılacaktır. Buraya kadar yapılan işlem, $u_{j,n+1}'$ i taşıyan adı diferansiyel denklemi çözüp (4.11) e ithal ettikten sonra bu denklemi grüplamaktan ibarettir. Denklem (4.14) halen $v_{j,n+1}$ fonksiyonunu taşımaktadır. v' yi (4.11) den basit bir tasfiye yolu yoktur. İki kısmi diferansiyel denklemi ayırabilmek için denenen yarı açık bir çözüm metodu sayısal instabiliteye yol açmıştır. Bu nedenle ana dolgu akış bölgesi ile duvar akışı bölgesine ait iki kısmi diferansiyel denklemi birarada çözmek gerekektir. Bu sahada yapılması gereken işlem denklem (3.46) dan, başlangıç ve sınır şartlarından ortaya çıkan matrisleri, v fonksiyonunu taşırı halleri ile yazıp denklem (3.48)'in sonlu farklarda yazılması ile ortaya çıkacak matrislerle birleştirerek problemi peşpeşe çözülecek bir tek matris dizisine indirmektir.

Bu noktada sınır şartlarının (3.50a-f) sonlu farklara uygulanmasına biraz daha yakından bakılmalıdır. Denklem (4.14) F_{j-1} , F_{j+1} , Ω_{j-1} , ve Ω_{j+1} terimlerini içermektedir. Giriş sınırında F_{j-1} ve Ω_{j-1} , çıkış sınırında da F_{j+1} ve Ω_{j+1} reaktör dışında kalır. Bu nedenle girişte bu terimleri taşıyan kısmi türevleri "ileri doğrultuda fark yaklaşımı" (forward difference approximation) ile yazmak gerekmektedir.

Diğer taraftan giriş sınırında ($j = 1$) duvar akış bölgesi henüz teşekkürül etmemiştir. Bu yüzden $R_N(u-v)$ terimi ile $u \frac{d\Omega}{dz}$ terimi, yani duvar akışı bölgesine difüzyon ve konveksiyonla geçiş terimleri, kule girişi sınır şartlarını içeren denklemden düşer.

IV.2.1. Birinci Zaman Adımı

Birinci zaman adımında, denklem (4.11) $j = 1$ etrafında yazıldığında başlangıç şartları da kullanılarak aşağıda gösterilen hali alır.

$$\begin{aligned} u_{1,1} &= \frac{r}{2Pe} u_{2,1} - \frac{r}{Pe} u_{1,1} + \frac{r}{2Pe} u_{0,1} - \frac{\Delta\theta}{2\phi\Delta z} F_2 u_{2,1} \\ &+ \frac{\Delta\theta}{2\phi\Delta z} F_1 u_{1,1} - \frac{N\Delta\theta}{2} u_{1,1} + \frac{N\Delta\theta}{2} u_{1,1}^* - \frac{R_x \Delta\theta}{2} u_{1,1} \end{aligned} \quad (4.16)$$

Bu denklemden $u_{0,1}$ 'in tasfiyesi gereklidir. Denklem (3.50d),
 $\delta(\theta) = u(0,\theta) - \frac{\phi}{Pe} \frac{\partial u(0,\theta)}{\partial z}$

sonlu farklarla yazıldığında şu hali alır.

$$\frac{1}{\Delta\theta} = u_{1,1} - \frac{\phi}{2Pe\Delta z} (u_{2,1} - u_{0,1}); n \geq 0. \quad (4.17a)$$

$$0 = u_{1,m} - \frac{\phi}{2Pe\Delta z} (u_{2,m} - u_{0,m}); m \geq 2. \quad (4.17b)$$

Denklem (4.17a) nin (4.16)'ya ithali ile birinci zaman adımı ($n+1 = 1$) için $j=1$ etrafındaki denklem şöyle yazılır.

$$b_1 u_{1,1} + c_1 u_{2,1} = - \frac{r\Delta z}{\phi\Delta\theta}. \quad (4.18)$$

Burada

$$b_1 = r_s - \frac{r\Delta z}{\phi} + 2S_6 F_1 + S_5 \quad (4.19a)$$

ve

$$c_1 = \frac{r}{Pe} - 2S_6 F_2 \quad (4.19b)$$

olarak tanımlanmıştır.

$j = 2$ etrafında yazılan denklemde (3.50c) de gösterilen sınır şartı geçerlidir:

$$v(0^+, \theta) = u(0^+, \theta). \quad (3.50c)$$

Bu şart

$$v_{2,1} = u_{2,1} \quad (4.20)$$

eşitliğini gerektirir. Bu durumda denklem (3.46) daki $R_N(u - v)$ terimi tekrar düşer. Genel sonlu farklar denklemi (4.11) şu şekilde indirgenir.

$$a_2 v_{1,1} + b_2 v_{2,1} + c_2 v_{3,1} = 0 \quad (4.21)$$

Buradaki a_2 ve c_2 (4.15i) ve (4.15k) denklemlerinde tanımlanmıştır. b_2 ise genel terimden farklı olarak aşağıdaki şekilde tanımlanır:

$$b_2 = r_s + S_5 - S_6(\Omega_3 - \Omega_1) \quad (4.22)$$

Birinci zaman adımı matrisinde j 'nin ($2 < j < JM$) değerlerini taşıdığı denklemler ise şöyle yazılır.

$$a_j u_{j-1,1} + b_j u_{j,1} + c_j u_{j+1,1} + S_5 v_{j,1} = 0; \quad 3 \leq j < JM \quad (4.23)$$

Burada a_j , b_j , c_j ve S_5 , (4.15) te tanımlanmıştır.

Çıkışta ($j = JM$), sınır şartı (3.50e) geçerlidir.

$$\frac{\partial u(1, \theta)}{\partial z} = 0 \quad (3.50e)$$

u fonksiyonunun birinci türevleri sıfıra eşitlenip diğer gruplamalar tamamlanınca, (4.11)'den çıkış sınırı denklemi elde edilir.

$$\frac{r}{Pe} u_{JM,1} + \left[r_s - 2S_6(F_{JM} - F_{JM-1} + \Omega_{JM} - \Omega_{JM-1}) \right] u_{JM,1} + S_5 v_{JM,1} = 0 \quad (4.24)$$

IV.2.2 İkinci ve Sonraki Zaman Adımları

Birinci matrisde olduğu gibi burada da ($j=1$) de duvar akış bölgesi olmadığından, bu bölgeye konveksiyon ve difüzyon vasıtasyyla izleyici transferini tanımlayan terimler düşer. Gene birinci matrisde olduğu gibi, F' -nin türevlerini içeren terimler ileri doğrultuda fark yaklaşımı ile yazılır. Denklem (4.11) bu şartlar altında şu hali alır:

$$\begin{aligned} u_{1,2} - u_{1,1} &= \frac{r}{2Pe} u_{2,2} - \frac{r}{Pe} u_{1,2} + \frac{r}{2Pe} u_{0,2} - \frac{\Delta\theta}{2\phi\Delta z} F_2 u_{2,2} \\ &+ \frac{\Delta\theta}{2\phi\Delta z} F_1 u_{1,2} - \frac{N\Delta\theta}{2} u_{1,2} + \frac{N\Delta\theta}{2} u_{1,2}^* - \frac{R_x \Delta\theta}{2} u_{1,2} + \frac{r}{2Pe} u_{2,1} - \frac{r}{Pe} u_{1,1} \\ &+ \frac{r}{2Pe} u_{0,1} - \frac{\Delta\theta}{2\phi\Delta z} F_2 u_{2,1} + \frac{\Delta\theta}{2\phi\Delta z} F_1 u_{1,1} - \frac{N\Delta\theta}{2} u_{1,1} + \frac{N\Delta\theta}{2} u_{1,1}^* \\ &- \frac{R_x \Delta\theta}{2} v_{1,1} \end{aligned} \quad (4.25)$$

$u_{0,1}$, $u_{0,2}$ ve $u_{1,2}^*$ 'nun tasfiyesi için sırasıyla denklem (4.17a-b) ve denklem (4.12) denklem (4.25)'e ithal edilerek, ikinci zaman adımlarının ($j=1$) etrafındaki denklemi şu şekilde yazılır:

$$b_1 u_{1,2} + c_1 u_{2,2} = (s_8 - b_1) u_{1,1} - c_1 u_{2,1} + s_7 u_{1,1}^* - \frac{r\Delta z}{\phi \Delta \theta} \quad (4.26)$$

Denklemin sabitleri denklem (4.15) ve denklem (4.19a-b) ile tanımlanmıştır.

İkinci zaman adımlarının ($j=2$) etrafındaki denklemi yazılırken denklem (3.50c) ve denklem (4.20) gözönünde bulundurulur. $R_N(u-v)$ terimi gene sıfır eşittir. Denklem (4.11) den başlıyarak

$$\begin{aligned} a_2 u_{1,2} + b_2 u_{2,2} + c_2 u_{3,2} &= s_7 u_{2,1}^* - a_2 u_{1,1} + (s_8 - b_2) u_{2,1} \\ &\quad - c_2 u_{3,1} \end{aligned} \quad (4.27)$$

elde edilir. Burada b_2 denklem (4.22), diğer sabitler de denklem (4.15) ile tanımlanmıştır.

İkinci zaman adımlarının ($3 \leq j < JM$) denklemeleri denklem (4.11)'den, $n+1 = 2$ eşitliğinden faydalananarak yazılır.

$$\begin{aligned} a_j u_{j-1,2} + b_j u_{j,2} + c_j u_{j+1,2} + s_5 v_{j,2} &= -a_j u_{j-1,1} + (s_8 - b_j) u_{j,1} \\ &\quad - c_j u_{j+1,1} + s_7 u_{j,1}^* - s_5 v_{j,1} \end{aligned} \quad (4.28)$$

Bu denklemin sabitleri denklem (4.15) te tanımlanmıştır.

İkinci zaman adımlının son denklemi, ($j=JM$), denklem (4.24) ile aynı şekilde elde edilir. u fonksiyonunun birinci türevleri sıfıra eşitlendikten sonra elde edilen denklem aşağıda gösterilmiştir.

$$a_{JM} u_{JM-1,2} + b_{JM} u_{JM,2} + S_5 v_{JM,2} = -S_5 v_{JM,1} + S_7 u_{JM,1}^* - \frac{r}{Pe} u_{JM-1,1} \\ + (S_8 - b_{JM}) u_{JM,1} \quad (4.29a)$$

Burada a_{JM} ve b_{JM}

$$a_{JM} = r/Pe \quad (4.29b)$$

$$b_{JM} = r_s - 2S_6 (F_{JM} - F_{JM-1} + \Omega_{JM} - \Omega_{JM-1}) \quad (4.29c)$$

İfadeleriyle tanımlanır.

Üçüncü ve sonraki zaman adımları için yazılan denklemler ikinci zaman adımı için yazınlara çok benzemektedir. Aradaki tek fark üçüncü zaman adımından itibaren denklem (4.26)ının sağ tarafındaki $- \frac{r\Delta z}{\phi\Delta\theta}$ teriminin düşmesidir:

$$b_1 u_{1,m} + c_1 u_{2,m} = (S_8 - b_1) u_{1,m-1} - c_1 u_{2,m-1} + S_7 u_{1,m-1}^*; \quad m \geq 3 \quad (4.30)$$

Burada elde edilen tüm denklemler, Bölüm IV.2.4 te özetlenecektir.

IV.2.3. Duvar Akışı Bölgesi

Duvar akışı bölgesindeki konsantrasyon profilemini tanımlayan denklem (3.48), u ve v bağımlı fonksi-

yonlarını içermektedir. Sıvı tabakası kalınlığı, Δ , ve duvar akışı hızı Ω 'nın değerleri Onda modeli ile hesaplanarak denkleme sayısal veri olarak katılacaktır. Bu- rada yapılacak olan işlem, her zaman adımdında, kule boyunca duvar akışı konsantrasyonlarını hesaplıyacak matrisi yazıp ortaya çıkan matris dizisini ana dolgu matrisleri ile birleştirerek tek matris dizisi elde etmek- tir. Denklem (3.48) Crank-Nicolson metodunda şöyle ya- zılır.

$$\begin{aligned}
 v_{j,n+1} - v_{j,n} &= \frac{r}{2Pe} v_{j+1,n+1} - \frac{r}{Pe} v_{j,n+1} + \frac{r}{2Pe} v_{j-1,n+1} \\
 &+ \frac{r}{8Pe} \left[\frac{\Omega_{j+1} - \Omega_{j-1}}{\Delta_j} \right] v_{j+1,n+1} - \frac{r}{8Pe} \left[\frac{\Omega_{j+1} - \Omega_{j-1}}{\Delta_j} \right] v_{j-1,n+1} \\
 - \frac{\Delta\theta}{8E\Delta z} \frac{\Omega_{j+1}}{\Delta_j} v_{j+1,n+1} &+ \frac{\Delta\theta}{8E\Delta z} \frac{\Omega_{j-1}}{\Delta_j} v_{j-1,n+1} \\
 + \frac{\Delta\theta}{8E\Delta z} \left[\frac{\Omega_{j+1} - \Omega_{j-1}}{\Delta_j} \right] u_{j,n+1} &+ \frac{R_N \Delta\theta}{4E\Delta_j} u_{j,n+1} - \frac{R_N \Delta\theta}{4E\Delta_j} v_{j,n+1} \\
 + \frac{r}{2Pe} v_{j+1,n} - \frac{r}{Pe} v_{j,n} &+ \frac{r}{2Pe} v_{j-1,n} + \frac{r}{8Pe} \left[\frac{\Delta_{j+1} - \Delta_{j-1}}{\Delta_j} \right] v_{j+1,n} \\
 - \frac{r}{8Pe} \left[\frac{\Delta_{j+1} - \Delta_{j-1}}{\Delta_j} \right] v_{j-1,n} &- \frac{\Delta\theta}{8E\Delta z} \frac{\Omega_{j+1}}{\Delta_j} v_{j+1,n} \\
 + \frac{\Delta\theta}{8E\Delta z} \frac{\Omega_{j-1}}{\Delta_j} v_{j-1,n} &+ \frac{\Delta\theta}{8E\Delta z} \left[\frac{\Omega_{j+1} - \Omega_{j-1}}{\Delta_j} \right] u_{j,n} + \frac{R_N \Delta\theta}{4E\Delta_j} u_{j,n} \\
 - \frac{R_N \Delta\theta}{4E\Delta_j} v_{j,n+1}. &
 \end{aligned} \tag{4.31}$$

Denklem (4.31) deki $(n+1)$ alt simgeli terimleri sol tarafta toplayıp, (n) alt simgeli terimleri de sağ tarafta grupladıkten sonra, denklemi daha sade bir şekilde ya-

zabilmek için şu tanımlamalar yapılmıştır.

$$Q_1 = \frac{R_N \Delta \theta}{4E} \quad (4.32a)$$

$$Q_2 = -\frac{\Delta \theta}{8E \Delta z} \quad (4.32b)$$

$$Q_5 = -\frac{Q_2}{S_6} \quad (4.32c)$$

$$Q_M = -Q_2 \quad (4.32d)$$

$$a'_j = \frac{r}{2Pe} - \left[\frac{\Omega_{j+1} - \Omega_{j-1}}{\Delta_j} \right] \frac{r}{8Pe} + \frac{\Delta \theta}{8E \Delta z} \frac{\Omega_{j-1}}{\Delta_j} \quad (4.33a)$$

$$b'_j = - \left[\frac{r}{Pe} + 1 + \frac{R_N \Delta \theta}{4E} \frac{1}{\Delta_j} \right] \quad (4.33b)$$

$$c'_j = \frac{r}{2Pe} + \left[\frac{\Omega_{j+1} - \Omega_{j-1}}{\Delta_j} \right] \frac{r}{8Pe} - \frac{\Delta \theta}{8E \Delta z} \frac{\Omega_{j+1}}{\Delta_j} \quad (4.33c)$$

$$d'_j = Q_M \left[\frac{\Omega_{j+1} - \Omega_{j-1}}{\Delta_j} \right] + \frac{Q_1}{\Delta_j} \quad (4.33d)$$

Bu tanımlamalarla, duvar akışı bölgesi genel denklemi (4.31) aşağıdaki şekilde dönüşür.

$$\begin{aligned} a'_j v_{j-1,n+1} + b'_j v_{j,n+1} + c'_j v_{j+1,n+1} + d'_j u_{j,n+1} &= -a'_j v_{j-1,n} \\ &+ \left[\frac{r}{Pe} - 1 + \frac{Q_1}{\Delta_j} \right] v_{j,n} - c'_j v_{j+1,n} - d'_j u_{j,n} \end{aligned} \quad (4.34)$$

Sınır şartları, duvar akışının kule girişinin hemen altında başlamasını gerektirir. Bu itibarla denklem (3.48) in çözüm bölgesi (domain of solution) $j=2$ den itibaren başlar. Denklem (3.50c)'ye göre de $j=2$ noktasında, yani

sınırın hemen içinde, iki akış bölgesi konsantrasyonlarının eşit olmasını gerektirir. Bu durumda duvar akışı bölgesinde bilinmeyen konsantrasyonlar $j=3$ 'ten başmaktadır.

Birinci zaman adımda $j=3$ etrafındaki denklem, $u_{2,1}=v_{2,1}$ eşitliği de kullanıldığında şöyledir:

$$a'_3 u_{2,1} + d'_3 u_{3,1} + b'_3 v_{3,1} + c'_3 v_{4,1} = 0 \quad (4.35)$$

Bu denklem dizisinde j 'nin ($3 < j < JM$) değerlerini taşıdığı denklemler de şöyle yazılır.

$$a'_j v_{j-1,1} + d'_j u_{j,1} + b'_j v_{j,1} + c'_j v_{j+1,1} = 0 \quad (4.36)$$

Kulenin alt sınırında $(\partial v / \partial z)_{z=1} = 0$. Denklem (3.48), v fonksiyonunun birinci türevlerinin sıfıra eşitlendiği durumda aşağıdaki şekilde indirgenir.

$$\frac{1}{Pe} \frac{\partial^2 v}{\partial z^2} - \frac{1}{2E\Delta} v \frac{\partial \Omega}{\partial z} \frac{u}{2E\Delta} \frac{\partial \Omega}{\partial z} - \frac{R_N}{E\Delta} (u-v) = \frac{\partial v}{\partial \theta} \quad (4.37)$$

Burada Ω 'yı içeren türevleri geri doğrultuda fark yaklaşımı ile yazılmıca $j=JM$ etrafındaki denklem aşağıda gösterilen şekli alır.

$$\begin{aligned} & \frac{r}{Pe} v_{JM-1,1} + \left[2Q_M \frac{(\Omega_{JM} - \Omega_{JM-1})}{\Delta_{JM}} + \frac{Q_1}{\Delta_{JM}} \right] u_{JM,1} \\ & - \left[\frac{r}{Pe} + 2Q_M \frac{(\Omega_{JM} - \Omega_{JM-1})}{\Delta_{JM}} + \frac{Q_1}{\Delta_{JM}} \right] v_{JM,1} = 0 \end{aligned} \quad (4.38a)$$

Burada

$$a'_{JM} = \frac{r}{Pe} \quad (4.38b)$$

$$d_{JM}^i = 2Q_M \frac{(\Omega_{JM} - \Omega_{JM-1})}{\Delta_{JM}} + \frac{Q_1}{\Delta_{JM}} \quad (4.38c)$$

$$b_{JM}^i = - \left[\frac{r}{Pe} + 1 + 2Q_M \frac{(\Omega_{JM} - \Omega_{JM-1})}{\Delta_{JM}} + \frac{Q_1}{\Delta_{JM}} \right] \quad (4.38d)$$

olarak tanımlanarak denklem (4.38a) şöyle yazılır.

$$a_{JM}^i v_{JM-1,1} + d_{JM}^i u_{JM,1} + b_{JM}^i v_{JM,1} = 0 \quad (4.38e)$$

Duvar akışı bölgesinde giriş sınır şartının şekli, ana akış bölgesindeki gibi zamana bağlı ve kademeli değildir. Bu yüzden başlangıç şartını taşıyan birinci zaman adımlından sonra, $n \geq 1$ için kurulan matrisler birbirinin aynıdır. $j=3$ etrafındaki denklem yazılırken tekrar $u_{2,n+1} = v_{2,n+1}$ eşitliği kullanılır.

$$a_3^i u_{2,n+1} + d_3^i u_{3,n+1} + b_3^i v_{3,n+1} + c_3^i v_{4,n+1} = -a_3^i v_{2,n} \\ + \left[\frac{r}{Pe} - 1 + \frac{Q_1}{\Delta_3} \right] v_{3,n} - c_3^i v_{4,n} - d_3^i u_{3,n} \quad (4.39)$$

j 'nin ($3 < j < JM$) değerleri etrafında yazılan denklemler ise aşağıda gösterilen şekilde yazılır.

$$a_j^i v_{j-1,n+1} + d_j^i u_{j,n+1} + b_j^i v_{j,n+1} + c_j^i v_{j+1,n+1} = -a_j^i v_{j-1,n}$$

$$\left\{ \frac{r}{Pe} - 1 + \frac{Q_1}{\Delta_j} \right\} v_{j,n} - c_j^i v_{j+1,n} - d_j^i u_{j,n} \quad (4.40)$$

Kule çıkış sınırında ($j=JM$), denklem (4.37), Ω 'nın geri doğrultuda fark yaklaşımı ile yazılan türevleri de kullanılarak aşağıdaki hali alır.

$$\begin{aligned}
 & \frac{r}{Pe} v_{JM-1, n+1} + \left[2Q_M \frac{(\Omega_{JM} - \Omega_{JM-1})}{\Delta_{JM}} + \frac{Q_1}{\Delta_{JM}} \right] u_{JM, n+1} - \left[\frac{r}{Pe} + 1 \right] \\
 & + 2Q_M \left[\frac{(\Omega_{JM} - \Omega_{JM-1})}{\Delta_{JM}} + \frac{Q_1}{\Delta_{JM}} \right] v_{JM, n+1} = - \frac{r}{Pe} v_{JM-1, n} \\
 & - \left[2Q_M \frac{(\Omega_{JM} - \Omega_{JM-1})}{\Delta_{JM}} + \frac{Q_1}{\Delta_{JM}} \right] u_{JM, n} + \left[\frac{r}{Pe} - 1 \right] \\
 & + 2Q_M \left[\frac{(\Omega_{JM} - \Omega_{JM-1})}{\Delta_{JM}} + \frac{Q_1}{\Delta_{JM}} \right] v_{JM, n} \tag{4.41}
 \end{aligned}$$

IV.2.4. Denklem Dizisinin Çözümü

Bölüm II.2 ve II.3 de ana dolgu akış bölgesi ve duvar akışı bölgesindeki izleyici konsantrasyonlarını tanımlayan iki kısmi diferansiyel denklem birer lineer denklem dizisine indirgenmişlerdir. Her zaman adımı için bir defa çözülmlesi gereken bu iki dizi denklem ilkinde v ikincisinde de u fonksiyonlarının bulunması nedeniyle birbirine bağımlıdır. $(n+1)$ zaman adımda bilinmeyenler $(u_{1,n+1}, u_{2,n+1}, u_{3,n+1}, u_{4,n+1}, \dots, u_{JM-1,n+1}, u_{JM,n+1})$ dizi ile $(v_{3,n+1}, v_{4,n+1}, \dots, v_{JM-1,n+1}, v_{JM,n+1})$ diziidir. $u_{j,n}^*$ ise denklem (4.12) yolu ile $u_{j,n}$ dizisinden yararlanarak hesaplanabilmektedir. Bu aşamada iki bilinmeyen dizisini aşağıda gösterilen yöntemle bir tek bilinmeyen dizisine indirmek gerekmektedir.

$$j = 1; y_{1,n+1} = u_{1,n+1};$$

$$j = 2; y_{2,n+1} = u_{2,n+1};$$

$$j = 3; y_{3,n+1} = u_{3,n+1}; y_{4,n+1} = v_{3,n+1}.$$

$$j = 4; y_{5,n+1} = u_{4,n+1}; y_{6,n+1} = v_{4,n+1}.$$

⋮ ⋮ ⋮

(4.42)

$$j = J; y_{2J-3,n+1} = u_{J,n+1}; y_{2J-2,n+1} = v_{J,n+1}.$$

⋮ ⋮ ⋮

$$j = JM; y_{2JM-3,n+1} = u_{JM,n+1}; y_{2JM-2,n+1} = v_{JM,n+1}.$$

Böylece birbirine akuple iki lineer denklem dizisi birleştirilebilir. Ortaya çıkan denklem dizisi beşli bir bant matrisine dönüşebilecek niteliktedir. Buna uyarak diagonal elementin alt simgeleri ($j,3$) olarak yazılır. $(n+1)$ 'inci zaman adımdında denklem dizisi şu hali alır.

Giriş Sınır Denklemleri	$j = 1$	$A_{1,3}y_1 + A_{1,4}y_2$	$= B_1$
	$j = 2$	$A_{2,2}y_1 + A_{2,3}y_2 + A_{2,4}y_3$	$= B_2$
	$j = 3$	$A_{3,2}y_2 + A_{3,3}y_3 + A_{3,4}y_4 + A_{3,5}y_5$	$= B_3$
	$j = 4$	$A_{4,1}y_2 + A_{4,2}y_3 + A_{4,3}y_4 + A_{4,5}y_6$	$= B_4$
	$j = 4$	$A_{5,1}y_3 + A_{5,3}y_5 + A_{5,4}y_6 + A_{5,5}y_7$	$= B_5$
	$j = 4$	$A_{6,1}y_4 + A_{6,2}y_5 + A_{6,3}y_6 + A_{6,5}y_8$	$= B_6$
		\vdots	\vdots
	$j = J$	$A_{2J-3,1}y_{2J-5} + A_{2J-3,3}y_{2J-3} + A_{2J-3,4}y_{2J-2} + A_{2J-3,5}y_{2J-1}$	$= B_{2J-3}$
Kule Gövdesi	$j = J$	$A_{2J-2,1}y_{2J-4} + A_{2J-2,2}y_{2J-3} + A_{2J-2,3}y_{2J-2} + A_{2J-2,1}y_{2J}$	$= B_{2J-2}$
		\vdots	\vdots
Cıkış Sınırı Denklemeleri	$j = JM$	$A_{2JM-3,1}y_{2JM-5} + A_{2JM-3,3}y_{2JM-3} + A_{2JM-3,4}y_{2JM-2}$	$= B_{2JM-3}$
	$j = JM$	$A_{2JM-2,1}y_{2JM-4} + A_{2JM-2,2}y_{2JM-3} + A_{2JM-2,3}y_{2JM-2}$	$= B_{2JM-2}$
		(4.43)

Burada bütün y terimlerinin ikinci alt simgesi olan $(n+1)$ yazı işlemini kısaltmak amacı ile yazılmıştır. Matris notasyonunda denklem (4.43) aşağıda gösterilen şekilde yazılabilir.

$$\begin{matrix} \mathbf{A} & \mathbf{y} = \mathbf{B} \\ \sim & \sim \end{matrix} \quad (4.44)$$

\mathbf{A} matrisi beş eleman genişlikli bir bant matrisi olup zaman adımlarının yürümesi ile değişmez. Vektör y , denklem (4.42) nin yazılışından da görülebileceği gibi her zaman adımdaki konsantrasyon dağılımlarıdır. \mathbf{B} vektörü ise, sonlu farklar denklemlerinin sağ tarafı olup, u_n ve v_n fonksiyonlarını içerdiginden, elemanları olan B_{2j-3} ve B_{2j-2} her bir zaman adımı için değişik değerler alır.

\mathbf{A} matrisinin elemanları bir araya getirilen iki denklem dizisinin sol tarafındaki katsayılarından oluşan matrisdir.

$$\begin{aligned} A_{1,3} &= b_1; \quad A_{1,4} = c_1; \quad A_{1,5} = 0 \quad j=1 \\ A_{2,2} &= a_2; \quad A_{2,3} = b_2; \quad A_{2,4} = c_2; \quad A_{2,5} = 0 \quad j=2 \\ A_{3,1} &= 0; \quad A_{3,2} = a_3; \quad A_{3,3} = b_3; \quad A_{3,4} = s_5; \quad A_{3,5} = c_3 \quad \left. \right\} j=3 \\ A_{4,1} &= a'_3; \quad A_{4,2} = d'_3; \quad A_{4,3} = b'_3; \quad A_{4,4} = 0; \quad A_{4,5} = c'_3 \\ A_{5,1} &= a_4; \quad A_{5,2} = 0; \quad A_{5,3} = b_4; \quad A_{5,4} = s_5; \quad A_{5,5} = c_4 \quad \left. \right\} j=4 \\ A_{6,1} &= a'_4; \quad A_{6,2} = d'_4; \quad A_{6,3} = b'_4; \quad A_{6,4} = 0; \quad A_{6,5} = c'_4 \\ &\vdots \quad \vdots \quad \vdots \quad \vdots \quad \vdots \\ A_{2J-3,1} &= a_J; \quad A_{2J-3,2} = 0; \quad A_{2J-3,3} = b_J; \quad A_{2J-3,4} = s_5; \quad A_{2J-3,5} = c_J \quad \left. \right\} j=J \\ A_{2J-2,1} &= a'_J; \quad A_{2J-2,2} = d'_J; \quad A_{2J-2,3} = b'_J; \quad A_{2J-2,4} = 0; \quad A_{2J-2,5} = c'_J \quad \left. \right\} \end{aligned}$$

$$\left. \begin{array}{l} A_{2JM-3,1}=a_{JM}; A_{2JM-3,2}=0; A_{2JM-3,3}=b_{JM}; A_{2JM-3,4}=s_5 \\ A_{2JM-2,1}=a'_{JM}; A_{2JM-2,2}=d'_{JM}; A_{2JM-2,3}=b'_{JM} \end{array} \right\}_{j=JM} \dots \quad (4.45)$$

Burada b_1 ve c_1 denklem (4.29a-b) ile; b_2 denklem (4.22) ile; a_j , b_j , c_j , s_5 , denklem (4.15) ile; a_{JM} ve b_{JM} denklem (4.29 b-c) ile; a'_j , b'_j , c'_j , d'_j , denklem (4.33 a-d) ile; a'_{JM} , b'_{JM} , d'_{JM} , denklem (4.38 b-d) ile tanımlanmışlardır.

\tilde{B} vektörü her bir zaman adımı için değerleri değişen elemanlardan oluşur. Birinci zaman adımı ($n=0$, $n+1 = 1$) de \tilde{B} vektörü elemanlarının değerleri şöyledir:

$$n+1 = 1; \quad B_1 = -\frac{r\Delta z}{\phi\Delta\theta} \quad (4.46a)$$

$$B_m = 0; \quad (1 < m \leq 2JM-2) \quad (4.46b)$$

İkinci zaman adımında \tilde{B} vektörünün elemanları aşağıda gösterilen denklemler yolu ile değerlendirilirler.

$$B_1 = -\frac{r\Delta z}{\phi\Delta\theta} + (s_8 - A_{1,3})u_{1,1} - A_{1,4}u_{2,1} + s_7u_{1,1}^*$$

$$B_2 = -A_{2,2}u_{1,1} + (s_8 - A_{2,3})u_{2,1} - A_{2,4}u_{3,1} + s_7u_{2,1}^*$$

$$B_3 = -A_{3,2}u_{2,1} + (s_8 - A_{3,3})u_{3,1} - A_{3,5}u_{4,1} + s_7u_{3,1}^* - s_5v_{3,1}$$

$$B_4 = -A_{4,1}v_{2,1} - A_{4,2}u_{3,1} - (A_{4,3} + 2)v_{3,1} - A_{4,5}v_{4,1}$$

⋮

$$B_{2J-3} = -A_{2J-3,1}u_{J-1,1} + (S_8 - A_{2J-3,3})u_{J,1} - A_{2J-3,5}u_{J+1,1} + S_7u_{J,1}^* - S_5v_{J,1}$$

$$B_{2J-2} = -A_{2J-2,1}v_{J-1,1} - A_{2J-2,2}u_{J,1} - (A_{2J-2,3} + 2)v_{J,1} - A_{2J-2,5}v_{J+1,1}$$

⋮

$$B_{2JM-3} = -A_{2JM-3,1}u_{JM-1,1} + (S_8 - A_{2JM-3,3})u_{JM,1} + S_7u_{JM,1}^* - S_5v_{JM,1}$$

$$B_{2JM-2} = -A_{2JM-2,1}v_{JM-1,1} - A_{2JM-2,2}u_{JM,1} - (A_{2JM-2,3} + 2)v_{JM,1} \dots \quad (4.47)$$

Üçüncü ve daha sonraki zaman adımlarında, $(n+1 > 2)$, u , u^* , ve v fonksiyonlarının ikinci alt simgesi (n) olarak değişir. Yalnız B_1 bir terim eksigi ile şu hali alır.

$$B_1 = (S_8 - A_{1,3})u_{1,n} - A_{1,4}u_{2,n} + S_7u_{1,n}^* \quad (4.48)$$

\mathbf{B} vektörünün diğer elemanları (4.47) de gösterilen ifadelerle, her zaman adımı için baştan, hesaplanır.

Böylece Bölüm III.4'te, iki kısmi diferansiyel denklem, bir adı diferansiyel denklem ile gerekli başlangıç ve sınır şartlarından oluşan denklem takımı, denklem (4.44)'e göre

$$\underset{\sim}{\mathbf{A}} \underset{\sim}{\mathbf{x}} = \mathbf{B} \quad (4.44)$$

şeklinde özetlenen, birlikte çözümlenecek lineer cebirsel bir denklem dizisine indirgenmiştir. Bu dizi her zaman adımı için bir defa çözülerek, kule boyunca JM adet

noktada u , u^* , ve v fonksiyonlarının değerlerinin bulunmasını sağlamaktadır. Bu çözüme göre, her bir zaman adımdında alt (çıkış)sınırında, $u_{JM,n+1}$ ve $v_{JM,n+1}$, yani ana dolgu akışı bölgesi çıkış konsantrasyonu değeri ile duvar akışı bölgesi çıkış konsantrasyonu değeri tesbit edilir. $u_{JM,n+1}$ ve $v_{JM,n+1}$ 'in akış hızlarına göre ağırlıklı ortalaması alınarak reaktörde kalış süresi dağılım fonksiyonunun θ 'ya bağımlı değerleri

$$E(\theta) = \frac{F_{JM} u_{JM}(\theta) + \Omega_{JM} v_{JM}(\theta)}{F_{JM} + \Omega_{JM}} \quad (4.49)$$

denklemiyle hesaplanır.

Burada boyutsuzlandırılmış zaman, θ ,

$$\theta = (n + 1) \Delta\theta \quad (4.50)$$

denklemi ile verilir.

$E(\theta)$ elde edildikten sonra dağılımin sıfır noktası etrafındaki üç momenti hesaplanmıştır.

Kalış süresi dağılımlarını ve momentlerini hesaplamak üzere, bu çalışmada hazırlanan bilgisayar programı Ek 1'de gösterilmiştir. Beşli bant matrisini dönüştürme işlemi IMSL{23} program paketi, LEQT1B alt-programı ile gerçekleştirılmıştır. Integrasyonlarda CUBINT alt-programı{10} kullanılmıştır.

IV.3. PDE Modelinden Reaktörde Kalma Süresi Dağılımlarının Hesaplanması

Bu çalışmada geliştirilen modelin, duvar akışı ihmal edilerek PDE modeline indirgenebileceği Bölüm III. 2 de gösterilmiştir. PDE modelinde, Dirac δ -fonksiyonu biçiminde bir darbe ile izleyici girişi yapıldığında, reaktörde kalma süresi dağılımları aşağıdaki denklem takımından yararlanarak hesaplanır.

$$\frac{1}{Pe} \frac{\partial^2 u}{\partial z^2} - \frac{1}{\phi} \frac{\partial u}{\partial z} - N(u - u^*) - R_x u = \frac{\partial u}{\partial \theta} \quad (4.51)$$

$$\frac{\partial u^*}{\partial \theta} = N \left(\frac{\phi}{T-\phi} \right) (u - u^*) \quad (4.52)$$

$$u(z,0) = 0; u^*(z,0) = 0 \quad (4.53)$$

$$\delta(\theta) = u(0,\theta) - \frac{\phi}{Pe} \frac{\partial u(0,\theta)}{\partial z} \quad (4.54)$$

$$\frac{\partial u}{\partial z}(1,\theta) = 0 \quad (4.55)$$

Yukarıdaki terimlerin tanımlamaları Bölüm III de verilmiştir. Bu denklem takımının çözümü Bölüm IV.2 de özetlenen yöntemlere benzer olmakla birlikte daha sade işlemler gerektirmektedir. Villermaux ve van Swaaij{74} reaksiyon teriminin ihmal edildiği yarı sonsuz bir damlama yatak reaktöründe kalma süresi dağılımlarını analitik bir çözümle elde etmişlerdir. Gene reaksiyon teriminin ihmal eden, fakat kapalı reaktör sınır şartını (denklem 4.55) kabul eden PDE modeli kullanılarak reaktörde kalma süresi dağılımlarının yaklaşık çözümü de analitik olarak elde edilmiştir{4}.

Bu çalışmada geliştirilen model ile PDE modelini hem reaksiyonlu, hem de reaksiyonsuz durumlarda karşılaştırmak amacıyla denklem (4.51-4.55) de gösterilen denklem takımı burada Crank-Nicolson kapalı şeması ile çözülmüştür. Denklem (4.51) bu yöntemle açılarak, terimler daha evvel görüldüğü şekilde grupperlendirilmek suretiyle, aşağıda gösterilen hali almıştır.

$$c_1 u_{j-1,n} + c_2 u_{j,n+1} + c_3 u_{j+1,n+1} = -c_1 u_{j-1,n} + c_4 u_{j,n} \\ - c_3 u_{j+1,n} + c_5 u_{j,n}^* \quad (4.56)$$

Denklemin kısa halde yazılabilmesi için aşağıdaki tanımlamalar yapılmıştır.

$$c_1 = \frac{r}{2Pe} + \frac{\Delta\theta}{4\phi\Delta z} \quad (4.57a)$$

$$c_2 = -\left(\frac{r}{Pe} + 1 + G_3 - G_1 G_2 G_3 + G_4\right) \quad (4.57b)$$

$$c_3 = \frac{r}{2Pe} - \frac{\Delta\theta}{4\phi\Delta z} \quad (4.57c)$$

$$c_4 = \frac{r}{Pe} - 1 + G_3 + G_4 \quad (4.57d)$$

$$c_5 = -G_3(G_2 + 1) \quad (4.57e)$$

$$G_1 = N\Delta\theta \left(\frac{\phi}{T-\phi}\right) \quad (4.57f)$$

$$G_2 = \frac{1}{T+G_1} \quad (4.57g)$$

$$G_3 = \frac{N\Delta\theta}{2} \quad (4.57h)$$

$$G_4 = \frac{R_x \Delta\theta}{2} \quad (4.57i)$$

Başlangıç ve sınır şartlarının denklem (4.56)'ya Bölüm IV.2 de görülen yöntemlerle ithali, aşağıda gösterilen denklem dizilerinin elde edilmesini sağlamıştır:

- a) Birinci zaman adımdında ($n=0$) reaktör içindeki konsantrasyon dağılımı

$$G_5 u_{1,1} + G_6 u_{2,1} = G_8; \quad (j=1) \quad (4.58a)$$

$$c_1 u_{j-1,1} + c_2 u_{j,1} + c_3 u_{j+1,1} = 0; \quad (1 < j < JM) \quad (4.58b)$$

$$G_6 u_{JM-1,1} + c_2 u_{JM,1} = 0; \quad (j = JM) \quad (4.58c)$$

denklem dizisi ile hesaplanır. Denklemlerin kısa halde yazılabilmesi için aşağıda gösterilen sabitler tanımlanmıştır.

$$G_5 = c_2 - \frac{2Pe c_1 \Delta z}{\phi} \quad (4.59a)$$

$$G_6 = c_1 + c_3 \quad (4.59b)$$

$$G_7 = \frac{2Pe c_1 \Delta z}{\phi} + c_4 \quad (4.59c)$$

$$G_8 = - \frac{2Pe c_1 \Delta z}{\phi \Delta \theta} \quad (4.59d)$$

- b) İkinci zaman adımdında ($n=1$) denklem dizisi aşağıda gösterilen şekli alır.:

$$G_5 u_{1,2} + G_6 u_{2,2} = G_8 + G_7 u_{1,1} - G_6 u_{2,1} + c_5 u_{1,1}^*; \quad j = 1 \quad (4.60a)$$

$$\begin{aligned} c_1 u_{j-1,2} + c_2 u_{j,2} + c_3 u_{j+1,2} = & -c_1 u_{j-1,1} + c_4 u_{j,1} - c_3 u_{j+1,1} \\ & + c_5 u_{j,1}^*; \quad (1 < j < JM) \end{aligned} \quad (4.60b)$$

$$G_6 u_{JM-1,2} + c_2 u_{JM,2} = -G_6 u_{JM-1,1} + c_4 u_{JM,1} + c_5 u_{JM,1}^* ; \quad (j=JM) \quad (4.60c)$$

c) Üçüncü ve sonraki zaman adımlarında denklem dizisi aşağıdaki şekilde yazılır.

$$G_5 u_{1,n+1} + G_6 u_{2,n+1} = G_7 u_{1,n} - G_6 u_{2,n} + c_5 u_{1,n}^* ; \quad (j=1) \quad (4.61a)$$

$$\begin{aligned} c_1 u_{j-1,n+1} + c_2 u_{j,n+1} + c_3 u_{j+1,n+1} &= -c_1 u_{j-1,n} + c_4 u_{j,n} \\ &- c_3 u_{j+1,n} + c_5 u_{j,n}^* ; \quad (1 < j < JM) \end{aligned} \quad (4.61b)$$

$$G_6 u_{JM-1,n+1} + c_2 u_{JM,n+1} = -G_6 u_{JM-1,n} + c_4 u_{JM,n} + c_5 u_{JM,n}^* ; \quad (j=JM) \quad (4.61c)$$

Yukarıdaki denklem dizisinden yararlanılarak elde edilen reaktörde kalma süresi dağılımları, Bölüm V'te, bu çalışmada geliştirilen model ve deney sonuçları ile karşılaştırılacaktır.

Hesaplamaları yapmak üzere hazırlanan bilgisayar programı Ek 2 de gösterilmiştir. Matris çözümü TRIDAG adlı alt-program ile yapılmıştır[5].

IV.4. Sıvı Akış Profillerinin Hesaplanması

Sıvı akış profilleri modelinin geliştirildiği makalede [40] denklem takımının hangi yöntemle çözüldüğü açıklanmamıştır. Bu çalışmada geliştirilen modelde sıvı akış hızlarının veri olarak kullanılabilmesi için "On-da" modelinin denklemleri {(3.24)-(3.29)} boyutsuzlandırılarak denklem (3.52)-(3.56)'da gösterilen şekilde dönüştürülmüştür. Bu bölümde denklem (3.52)-(3.56)'nın sonlu farklar yöntemi ile çözümü özetlenecektir. Çözüm, denklem (3.29)'un lineer olmayacağı nedeniyle Gauss-

Siedel{60} iterasyonları yolu ile elde edilmiştir.

Denklem (3.52) Crank-Nicolson kapalı şeması ile şu şekilde yazılır.

$$\begin{aligned} \frac{1}{\Delta z}(F_{i,j+1}-F_{i,j}) &= \frac{\lambda}{2} \left[\frac{1}{2i(\Delta r)^2} (F_{i+1,j+1}-F_{i-1,j+1}) \right. \\ &+ \frac{1}{(\Delta r)^2} (F_{i+1,j+1}-2F_{i,j+1}+F_{i-1,j+1}) \\ &\left. + \frac{1}{2i(\Delta r)^2} (F_{i+1,j}-F_{i-1,j}) + \frac{1}{(\Delta r)^2} (F_{i+1,j}-2F_{i,j}+F_{i-1,j}) \right] \end{aligned} \quad \dots \quad (4.62)$$

Burada F ana dolgu akış hızını; i , radikal doğrultudaki adım sayısını, j de eksenel doğrultudaki adım sayısını belirtmektedir. Gauss-Seidel iterasyon yöntemini kullanmak için denklem (4.62) nin, i 'nin her değeri için yazılıp, $F_{i,j+1}$ 'e göre çözülmesi gereklidir. Sınır şartları için de aynı denklemler yazıldıkten sonra, j adımı için evvelce hesaplanmış olan değerler bu denklemlere ithal edilerek F fonksiyonunun $j+1$ adımındaki ilk yaklaşımı bulunur. Bundan sonra $F_{i,j}$ ve $F_{i,j+1}^{(1)}$ değerleri aynı denklemlerde kullanılarak, hesaplanan değerler stabilize olana kadar iterasyonlara devam edilir. Denklem (4.62) den $F_{i,j+1}$ 'e göre çözerek elde edilen $(n+1)$ 'inci iterasyon denklemi söyledir:

$$F_{i,j+1}^{(n+1)} = \frac{\lambda r}{4(1+\lambda r)} \left[\left(\frac{2i+1}{1} \right) F_{i+1,j+1}^{(n)} + \left(\frac{2i-1}{1} \right) F_{i-1,j+1}^{(n+1)} \right] + \frac{D_j}{(1+\lambda r)} \quad (4.63)$$

Bu denklemde

$$r = \Delta R / (\Delta z)^2 \quad \text{ve} \quad (4.64a)$$

$$D_j = \frac{\lambda r}{4} \left(\frac{2i+1}{i} \right) F_{i+1,j} + (1 - \lambda r) F_{i,j} - \frac{\lambda r}{4} \left(\frac{1-2i}{i} \right) F_{i-1,j} \quad (4.64b)$$

olarak tanımlanmıştır. Denklemin sınır şartları, $R = 0$ ile $R = 1$ 'de verilmelidir. Radial simetri şartı, $R = 0$ da,

$$\frac{\partial F}{\partial z} \approx 2 \lambda \frac{\partial^2 F}{\partial R^2} \quad (4.65)$$

eşitliğini gerektirir. Bu denklem (4.62)'ye ithal edilerek F fonksiyonunun ana eksen üzerindeki değeri aşağıda gösterilen şekilde bulunur.

$$F_{1,j+1}^{(n+1)} = \frac{2\lambda r}{1+2\lambda r} F_{2,j+1}^{(n)} + \left(\frac{1}{1+2\lambda r} \right) \left[2\lambda r F_{2,j} + (1 - 2\lambda r) F_{1,j} \right] \quad (4.66)$$

Ana dolgu sıvı akış hızının kule cidarındaki değerini hesaplayabilmek için ise denklem (3.55) ve (3.56)'ın sonlu farklar yöntemi ile yazılması gerekmektedir.

$$\frac{1}{2\Delta r} (F_{IM+1,j+1} - F_{IM-1,j+1}) = -\frac{\gamma}{\lambda} (AF_{IM,j+1}^{764} - \Omega_{j+1}) \quad (4.67a)$$

$$\frac{1}{2\Delta r} (F_{IM+1,j} - F_{IM-1,j}) = -\frac{\gamma}{\lambda} (AF_{IM,j}^{764} - \Omega_j) \quad (4.67b)$$

$$\frac{1}{\Delta z} (\Omega_{j+1} - \Omega_j) = 2\gamma (AF_{IM,j+1}^{764} - \Omega_{j+1}) \quad (4.68)$$

Burada IM , radyal doğrultudaki hesap adımı sayısı i 'nin sınırdaki değeridir. A sabiti denklem (3.29)'un boyutsuzlaştırılmasından elde edilen sınır denge kat-sayısidır. Denklem (4.67a)'yi $F_{IM+1,j+1}^{(n)}$ 'ye ve denklem (4.67b)'yi $F_{IM+1,j}^{(n)}$ 'ye göre çözüp sonuçları denklem (4.63) ye ithal ederek Gauss-Seidel iterasyon yönteminde F fonksiyonunun sınırdaki değerini tanımlayan denklem aşağıdaki şekilde yazılır:

$$F_{IM,j+1}^{(n+1)} + B\left(\frac{2i+1}{1}\right)\left(\frac{2\Delta r\gamma A}{\lambda}\right)(F_{IM,j+1}^{(n+1)}) \cdot 764 = 4BF_{IM-1,j+1}^{(n+1)} + B\left(\frac{2i+1}{1}\right)\frac{2\Delta r\gamma \Omega_{j+1}^{(n)}}{\lambda}$$

$$+ \frac{D_j^{(IM)}}{1+\lambda r} \quad (4.69)$$

Burada kullanılan B ve $D_j^{(IM)}$ terimleri şöyle tanımlanır.

$$B = \lambda r / 4(1 + \lambda r) \quad (4.70)$$

$$D_j^{(IM)} = (1 - \lambda r)F_{IM,j} - \frac{\lambda r}{4}\left(\frac{2i+1}{1}\right)\left(\frac{2\Delta r\gamma A}{\lambda}\right)F_{IM,j} \cdot 764$$

$$+ \lambda r F_{IM-1,j} + \frac{\lambda r}{2}\left(\frac{2i+1}{1}\right) \frac{\Delta r\gamma}{\lambda} \Omega_j \quad (4.71)$$

Kule ekseninden cidar doğrultusunda yürüyerek hesaplanan değerlerin sonucusu duvar akış hızı Ω_{j+1} 'dır. Denklem (4.68)'i Ω_{j+1} ya göre çözdükten sonra Gauss-Seidel iterasyon yöntemine göre yazarak

$$\Omega_{j+1}^{(n+1)} = \frac{1}{(1+2\gamma\Delta z)} \left[2\gamma\Delta z A(F_{IM,j+1}^{(n+1)}) \cdot 764 + \Omega_j \right] \quad (4.72)$$

denklemi elde edilir.

Böylece, F fonksiyonu, kule ekseninde denklem (4.66), i 'nin ($1 < i < IM$) değerlerinde denklem (4.63-4.64), radyal sınırda denklem (4.69-4.71) ile hesaplanır. Dizinin son denklemi, duvara bitişik sıvı akış hızı Ω_{j+1} yi tanımlayan denklem (4.72) dir. İterasyonlar, yarıçap doğrultusundaki sıvı akış hızı profilinin ve duvar akış hızı Ω 'ının değerlerini yakınsak hale getirene kadar devam ettirilmiştir.

Damlama yatak reaktörlerinde, cidara bitişik akan sıvı tabakasının kalınlığı ölçümülerine literatürde rastlanmamıştır. Burada, en iyi yaklaşım olarak, duvar tabakası (falling film) absorpsiyon cihazlarından elde edilen sıvı tabakası kalınlığı korelasyonundan faydalanılmıştır{42}.

$$d_w = \frac{.315}{g^{1/3} \rho_f^{2/3}} \left[.079 Re^{3/4} \right]^{2/3} \quad (4.73)$$

Bu denklemde, μ , sıvı viskozitesini, g yerçekimi ivmesini; ρ_f sıvı özgül ağırlığını; Re de Reynolds sayısını belirtmektedir. Burada Reynolds sayısının dolgulu kuler için geçerli tanımı, duvar boyunca akan sıvının yüzeysel sıvı hızı ile birlikte kullanılacaktır{77}.

$$Re = \frac{D_p}{\mu} \frac{\omega \rho_f}{\pi(2ad_w - d_w^2)} \quad (4.74)$$

Reynolds sayısının tanımlanmasında kullanılan etkin dolgu maddesi boyu, D_p ,

$$D_p = \frac{6(1-\varepsilon)}{\phi_s S} \quad (4.75)$$

denklemi ile ifade edilir. Bu son ifadede ϵ , kule boşluk oranını; ϕ_s , şekil faktörünü; $(\frac{s}{T-\epsilon})$, dolgu maddesinin spesifik alanını ifade etmektedir{3}. ϕ_s Raschig halkaları için 0.3 değerini alır{78}.

ϵ ve $\frac{s}{T-\epsilon}$ sabitlerinin değerleri, kullanılan dolgu boyları ile birlikte Tablo V.1 de gösterilmiştir. Kule ekseni boyunca her j hesap adımında, d_w ve Δ denklem (4.73) ve denklem (4.74)'ün iterasyon yöntemi ile çözülmesi yoluyla hesaplanmıştır.

Bu çalışmada geliştirilen modelde veri olarak kullanılan Ω , Δ ve her kesitte F 'nin ortalama değerini hesaplamak amacı ile hazırlanan bilgisayar programı, Ek 3'de gösterilmiştir.

IV.5. Reaktörde Kalma Süresi Dağılımlarının Hesaplanmasında Kullanılan Sayısal Veriler

Bu çalışmada geliştirilen model yolu ile reaktörde kalma süresi dağılımlarının hesaplanmasında kullanılan sayısal veriler çeşitli kaynaklardan elde edilmiştir.

Ana dolgunun boyutsuz ortalama sıvı akış hızı F , duvar bölgesi boyutsuz sıvı akış hızı Ω , ve duvar akışı boyutsuz sıvı tabakası kalınlığı Δ , Bölüm IV.4 te özetlenen yöntemlerle Ek 3'de gösterilen bilgisayar programı vasıtası ile hesaplanmıştır. Her Üç fonksiyonun, eksenel koordinat z 'ye bağlı olarak hesaplanan değerleri sabit hafızada tutularak dağılımların hesaplanmasında kullanılmışlardır. F ve Ω birbirlerine $F = 1 - \Omega$ denklemiyle bağımlı olduklarından, bu çalışmada yarar-

tanılan altı deneyin akış profilleri sonuçları sadece Ω için gösterilmiştir (Şekil IV.1 ve Şekil IV.2). Boyutsuz sıvı tabakası kalınlığı Δ 'nın değerleri sıfırdan başlayarak hızla aşağıda gösterilen nihai değerlerine yaklaşmışlardır.

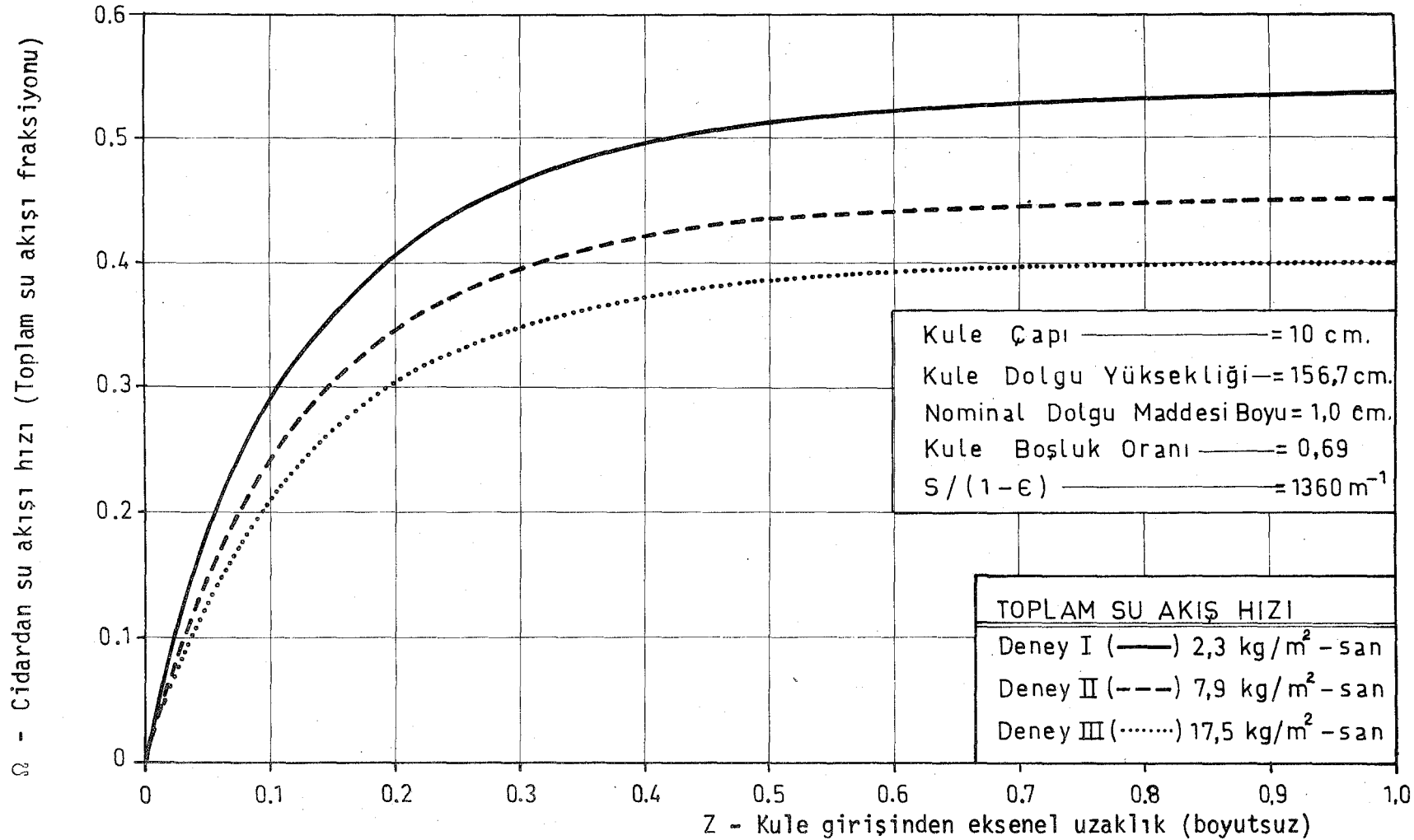
DENEY NO:	I	II	III	IV	V	VI
NİHAİ Δ DEĞERİ	3.56×10^{-4}	5.29×10^{-4}	6.79×10^{-4}	2.5×10^{-4}	3.36×10^{-4}	4.32×10^{-6}

Sonlu farklar yöntemlerinden yararlanarak denklem çözümleri hesaplanırken, fiziksel sistemin kaç elemene ayrıldığı ve zaman adımlarının büyüklüğü, çözüme varılmasında büyük önem taşır. $\Delta\theta$ 'nın fazla büyük olması çözümün stabilitesini engelliyebileceği gibi, çok küçük olması da hesap sayısının çöküğü nedeniyle, sayıların yuvarlama hatalarının birikmesine yol açabilir. Gene $\Delta\theta$ 'nın küçük olması, sonuçları etkilememekle beraber bilgisayarda hesap zamanının gereksiz şekilde uzamasına yol açabilir.

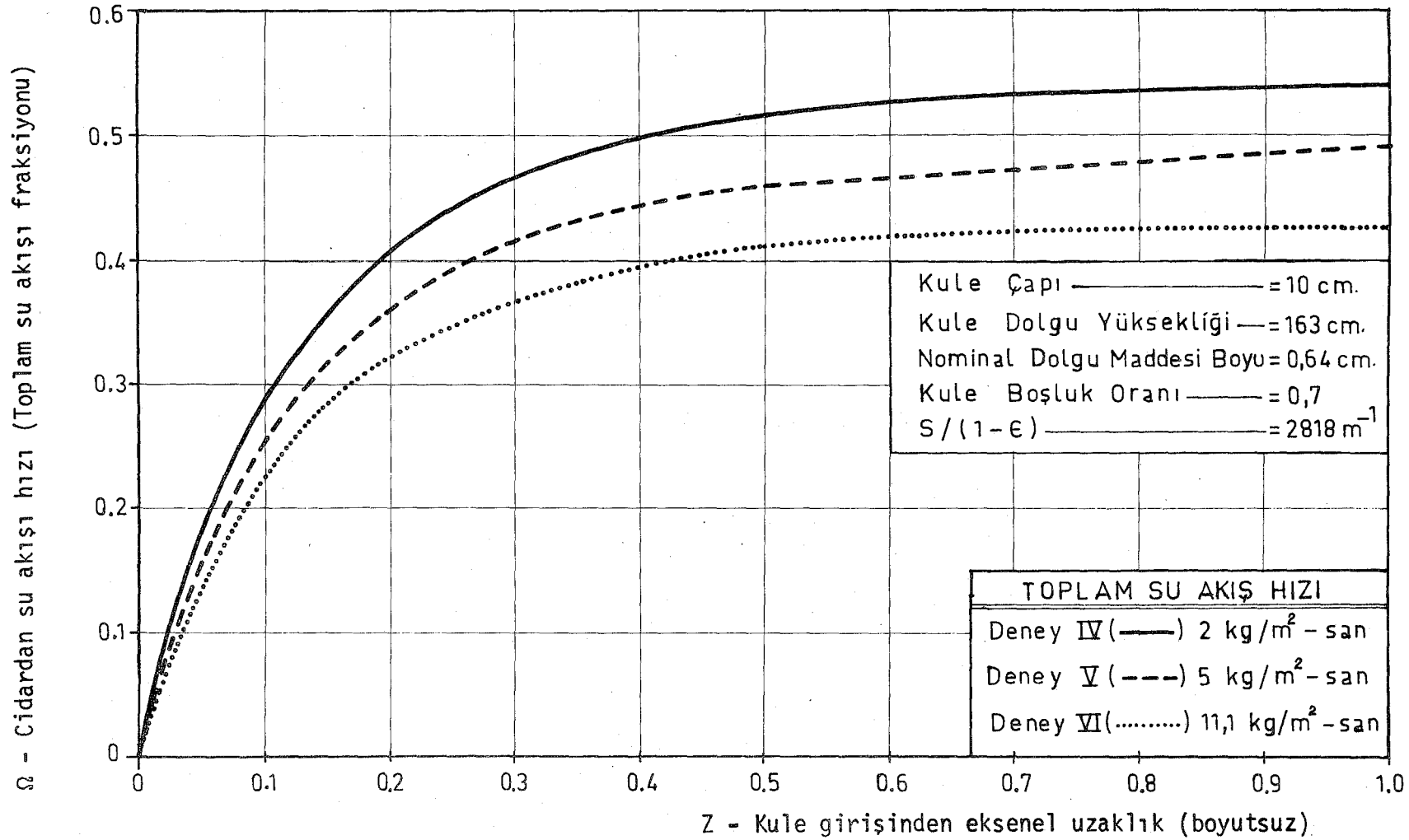
Bu çalışmada stabil çözüme varıldıktan sonra Δz ve $\Delta\theta$ 'nın stabiliteyi ve çözüm hassasiyetini bozmayacak mümkün en yüksek değerleri almasına çalışılarak, bilgisayar hesap zamanını sınırlamaya gayret gösterilmiştir. Çözümlerde

$$\Delta z = .0025 \text{ ve } \Delta\theta = .01$$

değerleri kullanılmıştır. $\Delta\theta$ 'nın on misli küçülmesinin veya Δz 'nin 2.5 kere küçültülmesinin, sonuçları % 0.5



Şekil IV.1 - Cidardan su akışı hızının eksenel uzaklığa bağlı olarak değişmesi.



Şekil IV.2 - Cidardan su akışı hızının eksenel uzaklığa bağlı olarak değişmesi

mertebesinden fazla etkilemediği görülmüştür. Buna karşın hem Δz ve hem de $\Delta\theta$ 'nın iki ilâ beş defa büyütülmesinin maksimum noktasının yüksekliğini ve boyutsuz zamanını % 1 ilâ % 2 civarında değiştirdiği görülmüşdür.

Elde edilen eğriler

$$\int_0^{\infty} E(\theta) d\theta$$

integralinin bire eşit olup olmadığı kistası ile değerlendirilmiş, ve hatanın binde 2 ilâ binde 7 arasında değiştiği görülmüştür. Her eğrinin hesaplanması 4 dakika civarında bilgisayar zamanı almıştır. PDE modelinden elde edilen dağılım eğrilerinin hesaplanması da takiben 2 dakika bilgisayar zamanı almıştır. Toplam olarak 350 kadar dağılım eğrisi hesaplanmıştır.

Reaktörde kalma süresi dağılımlarının hesaplanmasındaki diğer önemli bir parametre ϕ dir.

$$\phi = \frac{\beta_D}{\beta_T} \quad (4.76)$$

Burada β_D , dinamik sıvı tutma oranını; β_T da toplam sıvı tutma oranını belirtmektedir. ϕ parametresinin gerek reaktörde kalma süresi dağılımlarını, ve gerekse de reaktör içindeki kimyasal dönüşmeyi büyük ölçüde etkilediği ötedenberi bilinmektedir{74,55}. ϕ parametresinin, sıvı akış hızları yükseldikçe arttığı, model hesaplamlarında da eğrinin dikleşmesini sağladığı görülmüştür. Bu çalışmada, deneysel reaktörde kalma süresi dağılımları ile birlikte ölçülen{71} kulede sıvı tutma oranlarının

dan yararlanılmış, parametrenin değeri ancak ölçüm hatası seviyesinde düzeltmelerle denklem çözümleri içerisinde kullanılmıştır.

BÖLÜM V

SONUÇLARIN DEĞERLENDİRİLMESİ VE TARTIŞILMASI

V.1. Ölçülen ve Hesaplanan Reaktörde Kalma Süresi
Dağılımlarının Karşılaştırması

Teorik olarak bir dağılım eğrisini sadece momentlerinin değerleri ile tamamen tanımlamak mümkün değildir[17]. Damlama yatak reaktörlerindeki dağılımların değerlendirilmesi de ötedenberi deneysel ve teorik momentlerin karşılaştırılması ile yapılmaktadır[34]. Örneğin PD modelinde, sıfır noktası etrafındaki birinci moment şöyledir:

$$\mu_1 = 1 \quad (5.1)$$

Ortalama değer, yani μ_1 , etrafındaki ikinci moment (varyans) de şöyle ifade edilir[69].

$$\sigma^2 = \frac{2}{Pe^2} (Pe - 1 + e^{-Pe}) \quad (5.2)$$

Elde edilen deneysel varyans ile bu denklemi karşılaştırarak Pe sayısı derhal hesaplanabilir.

Dağılım eğrisinin analizini momentlerinden gerek yapmanın bir cazip yönü de bu momentleri elde etmek için sistemi tanımlayan kısmi diferansiyel denklemi (veya denklemleri) çözmeye gerek olmayışıdır. Moment ifadeleri aşağıdaki genel denklemden bulunabilmektedir.

$$\mu_k = (-1)^k \lim_{s \rightarrow 0} \frac{\partial^k C}{\partial s^k} \quad (5.3)$$

Burada μ_k , dağılımin k mertebeli momentini; \bar{c} , çıkış konsantrasyonunun Laplace-transformunu; s , transformasyonun kompleks değişkenini ifade eder.

Bu analiz yönteminin çok ciddi sakıncaları vardır. Momentler, dağılım eğrisinin şekline ve maksimum noktasının bulunduğu noktaya yeterli ağırlığı vermemektedir. Ayrıca dağılım eğrisi deneyel olarak ölçülürken, deneyi, ölçme cihazının hassasiyetinin altına düşen konsantrasyonlarda kesmek gereklidir. Araştırmacılar bu işlemi genellikle, maksimum konsantrasyon değerinin % 1'i civarında yapmaktadır{14,53}.

Oysa ki özellikle asimetrik dağılımlarda, eğrinin uzayan kenarı, momentleri ve sıvı tutma oranı ölçümlerini{29} çok kritik ölçülerde etkileyebilmektedir. Deneyel ve teorik momentlerin karşılaştırılması ile elde edilen Peclet sayısı, sonradan aynı data ve aynı (PD) modeli ile başka bir sayısal metodla (iki eğri arasında her noktadaki farkın karelerinin toplamının aşağıye indirilmesi metoduyla) incelendiğinde öncekinin üç katı büyüklüğünde Pe değerleri bulunabileceği literatürde belirtilmiştir{8}

Bu çalışmada, ölçülen ve hesaplanan eğriler karşılaştırılarak model parametrelerinin değerleri bulunmuştur. Bu karşılaştırmada maksimum noktalarının birbirlerine mümkün olduğu kadar yaklaştırılmaları objektif ölçü olarak kullanılmıştır. Yukarıda bahsedilen, fark karelerinin toplamının minimum olması kísticası, daha hassas olmakla beraber, önerilen modelin bu aşamasında, büyük bilgisayar zamanı gerektiren bu metoda başvurma gereği hissedilmemiştir. Karşılaştırmalarda "en iyi"

eğrinin bulunması beş ila otuz denemeyi gerektirmiştir.

Hesaplanan reaktörde kalma süresi dağılım eğrileri ile karşılaşmadada kullanılabilecek durumda olan data şaşılacak kadar azdır. Basılmış araştırmalar arasında, konsantrasyona karşı zaman eğrilerini tablo halinde verenlerine rastlanmamıştır. Pek çok araştırmada deney sonuçlarının niteliğini göstermek amacıyla kullanılan grafikler oldukça küçük ve pek az hassas bulunmaktadır[29,53,72,74]. Bu konuda yurdumuzda yapılmış olan iki deneysel araştırmada, Eroğlu[14] gözenekli bir dolgu kullandığı için, Cansever de[79] ölçüm sisteminin hassas olmayışı yüzünden, burada kullanılabilir nitelikte data üretmemişlerdir. Bu çalışmada hesaplanan eğriler, van Swaaij'in çalışmasında[71] verdiği deneysel eğrilerle karşılaşmıştır. Bu çalışmada Raschig halkaları ile doldurulmuş kulelerden su geçirilmiş, sodyum klorür çözeltileri izleyici vazifesi görmüş ve izleyici konsantrasyonları özel elektrodlardan faydalananarak iletkenlik köprüsü ile sürekli olarak ölçülmüşdür. Kullanılan deneylerin şartları Tablo V.I'de gösterilmiştir.

Tablo V.I. Karşılaştırmada Kullanılan Deneyler;

DENEY NO.	KULE DOLGU YÜKSEKLİĞİ (m)	NOMİNAL DOLGU BOYU (cm)	KULE BOŞLUK ORANI ε	S $\frac{1-\epsilon}{m^{-1}}$	SIVI AKIŞ MIKTARI, L $kg/m^2 - s$
I	1.567	1.0	.69	1360	2.3
II	"	"	"	"	7.9
III	"	"	"	"	17.5
IV	1.63	0.64	.70	2818	2
V	"	"	"	"	5
VI	"	"	"	"	11.1

KULE ÇAPı = 10 cm, ÇALIŞMA TEMPERATÜRÜ = 200°C.

Reaktörde kalma süresi dağılımlarının hesaplanmasıında veri olarak kullanılan sıvı akış hızları "Onda" modelinden hesaplanmıştır. Buna gerekli ek bilgiler söylenedir:

$$20^{\circ}\text{C}'da \text{suyun viskozitesi} = 1.0019 \times 10^{-3} \text{ kg/m-saniye}$$

$$20^{\circ}\text{C}'da \text{suyun yüzey gerilimi} = 72.75 \text{ din/cm}^2$$

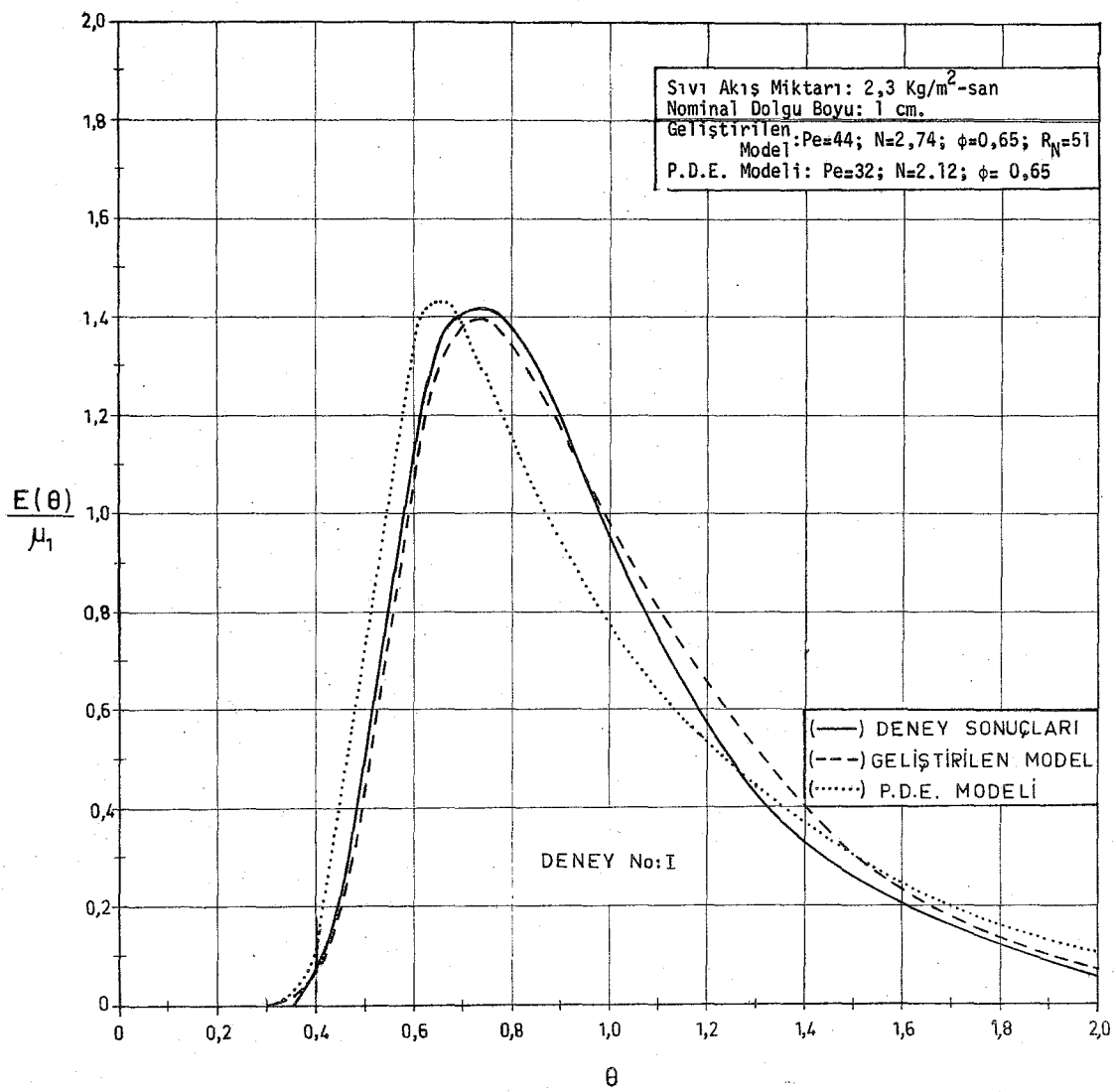
$$20^{\circ}\text{C} \text{da suyun özgül ağırlığı} = 998.0345 \text{ kg/m}^3$$

$$\text{Raschig halkalarının şekil katsayısı} = 0.3$$

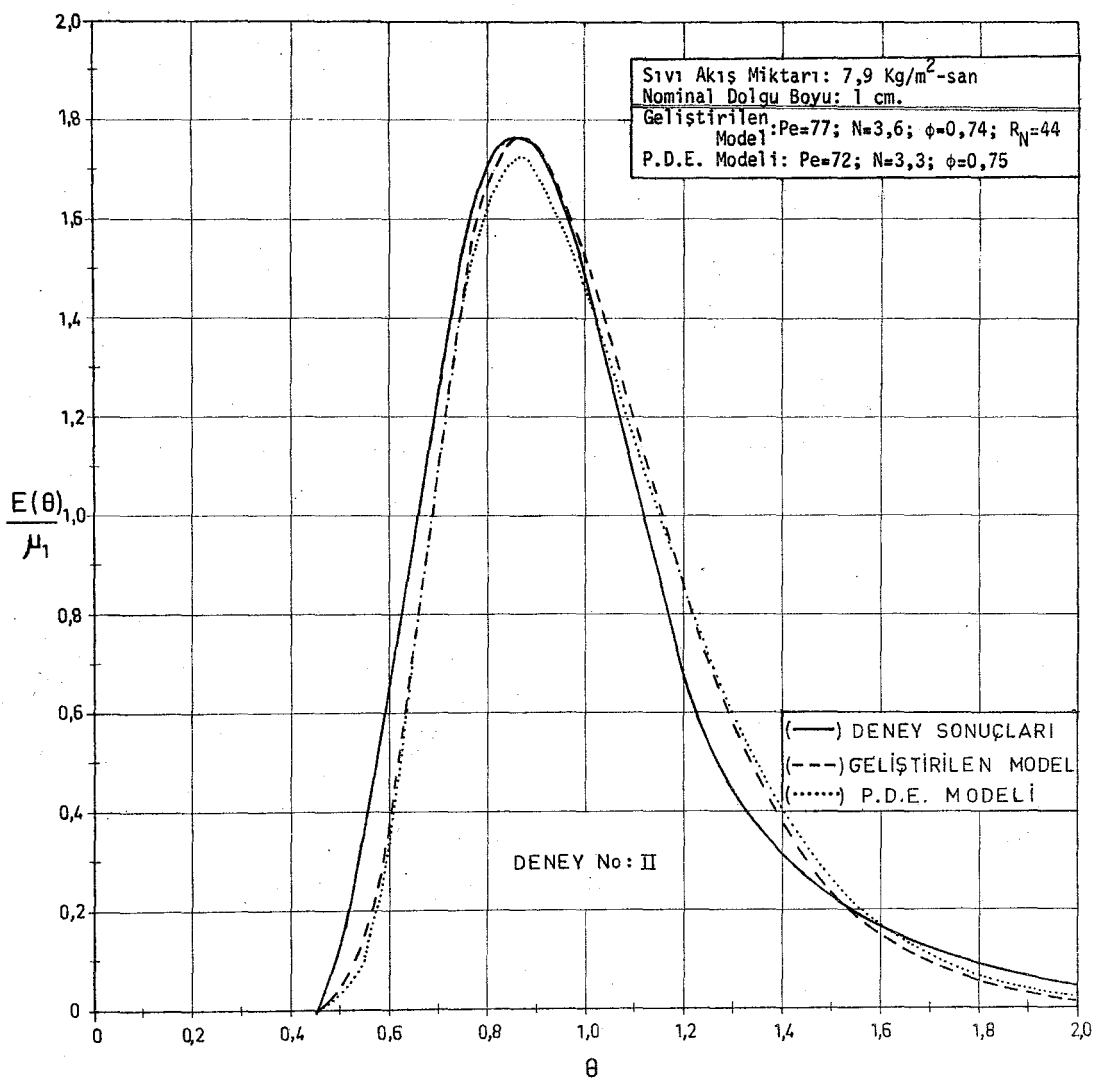
Şekil V.1.'den V.6.'ya kadar olan grafiklerde, Tablo I ile tanımlanan deneylerin sonuçları, PDE modeli ve bu çalışmada geliştirilen model ile karşılaştırılmıştır. van Swaaij{71} deney sonuçlarını $E(\theta)$ 'nın θ ile değişmesi şekli yerine $\{E(\theta)/\mu_1\}$ ifadesinin θ ile değişmesi şeklinde vermiştir. Burada deney ile karşılaştırma grafikleri de aynı şekilde sunulmuştur. Grafiklerden görüldüğü gibi bu çalışmada önerilen model, deneysel olarak gözlenen maksimum noktalarına erişmekte PDE modeline göre daha tatminkârdır. En düşük akış hızlarında deneysel maksimuma erişmekte güçlük çekilmiştir. Deneysel eğrilerin etekleri ile önerilen modelin etekleri daima üst üste binmemiştir; bu olay düşük akış hızlarında daha iyi gözlenebilmektedir. PDE modelinin deneysel maksimum noktasına erişebilmesi daha güç olmuştur. PDE modelini geliştiren çalışmanın devamı olarak yayınlanan bir makalede{74}

$$F(N, \phi) = \sum \left[E(\theta_i, N, \phi) - E^*(\theta_i) \right]^2$$

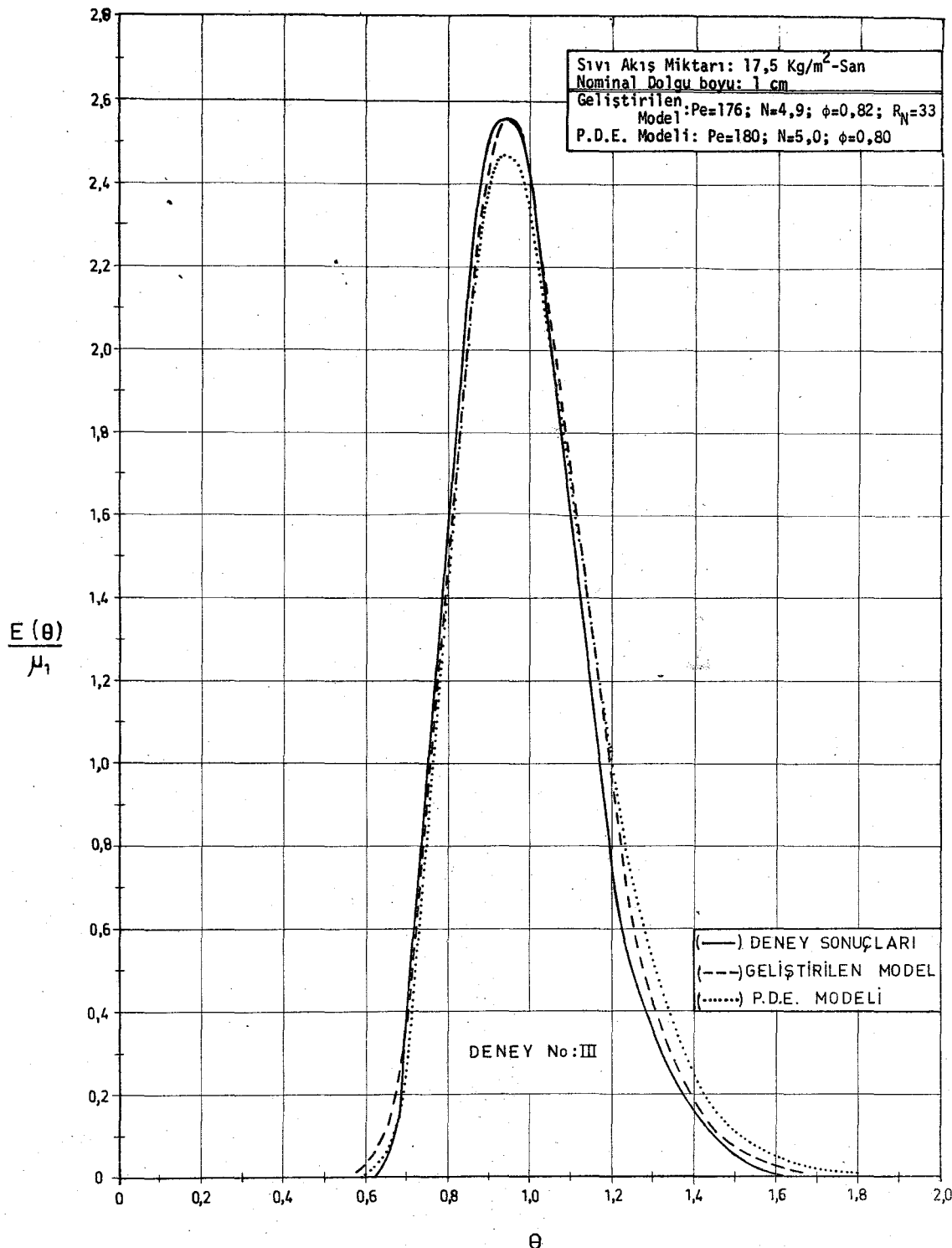
amaç fonksiyonunun en küçük değeri alacağı $E(\theta_i, N, \phi)$



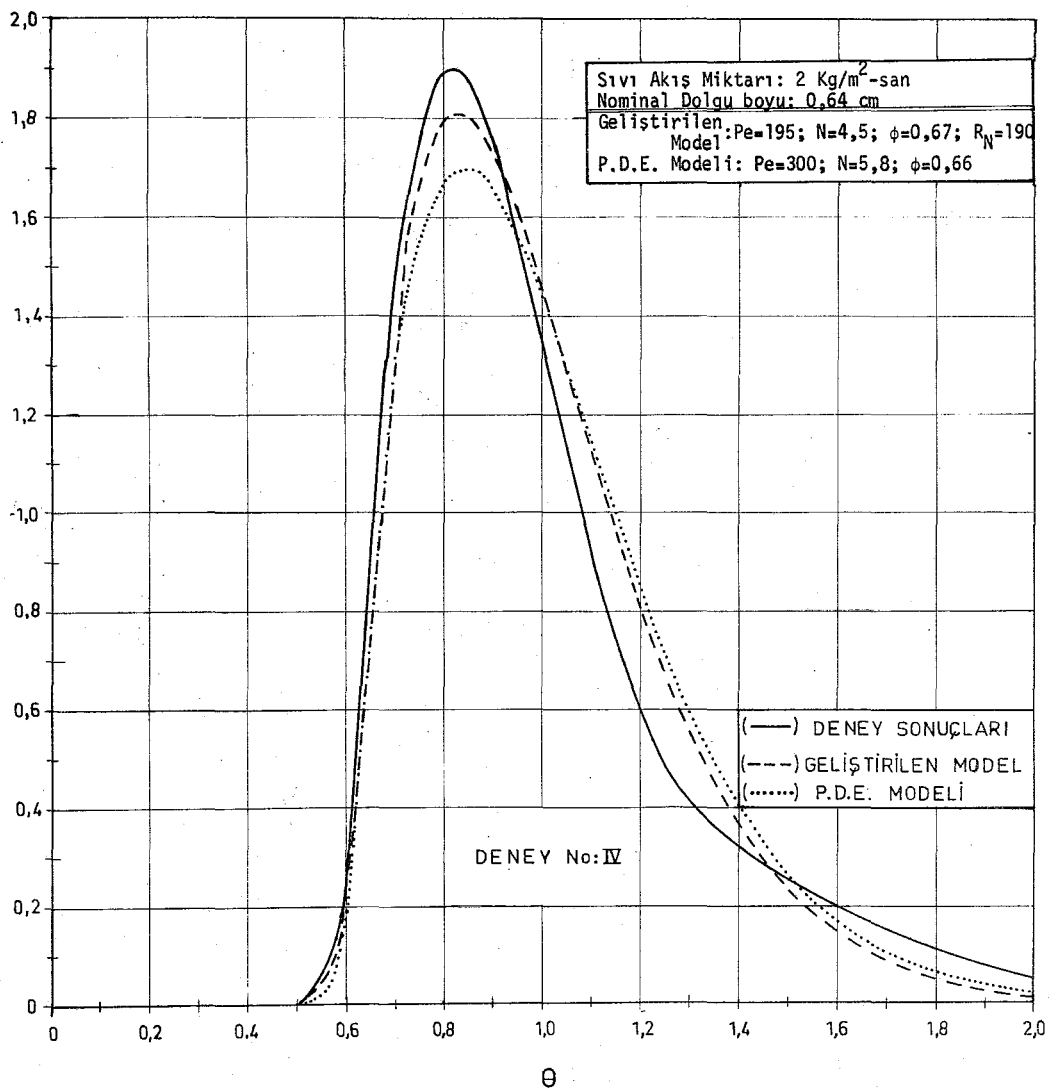
Şekil V.1- Üçülen ve hesaplanan kalma süresi dağılımlarının karşılaştırılması.



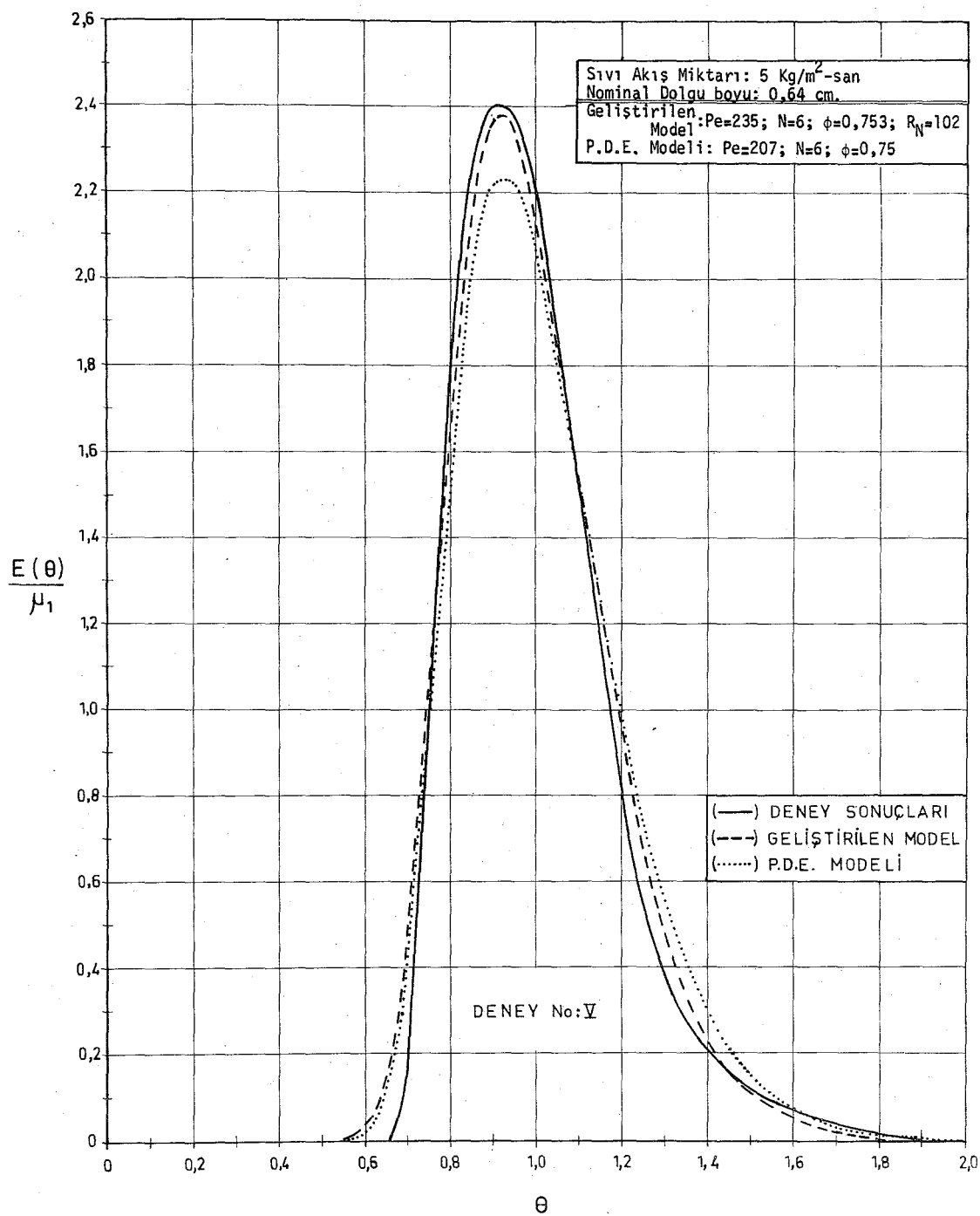
Şekil IV.2 - Ölçülen ve hesaplanan kalma süresi dağılımlarının karşılaştırılması



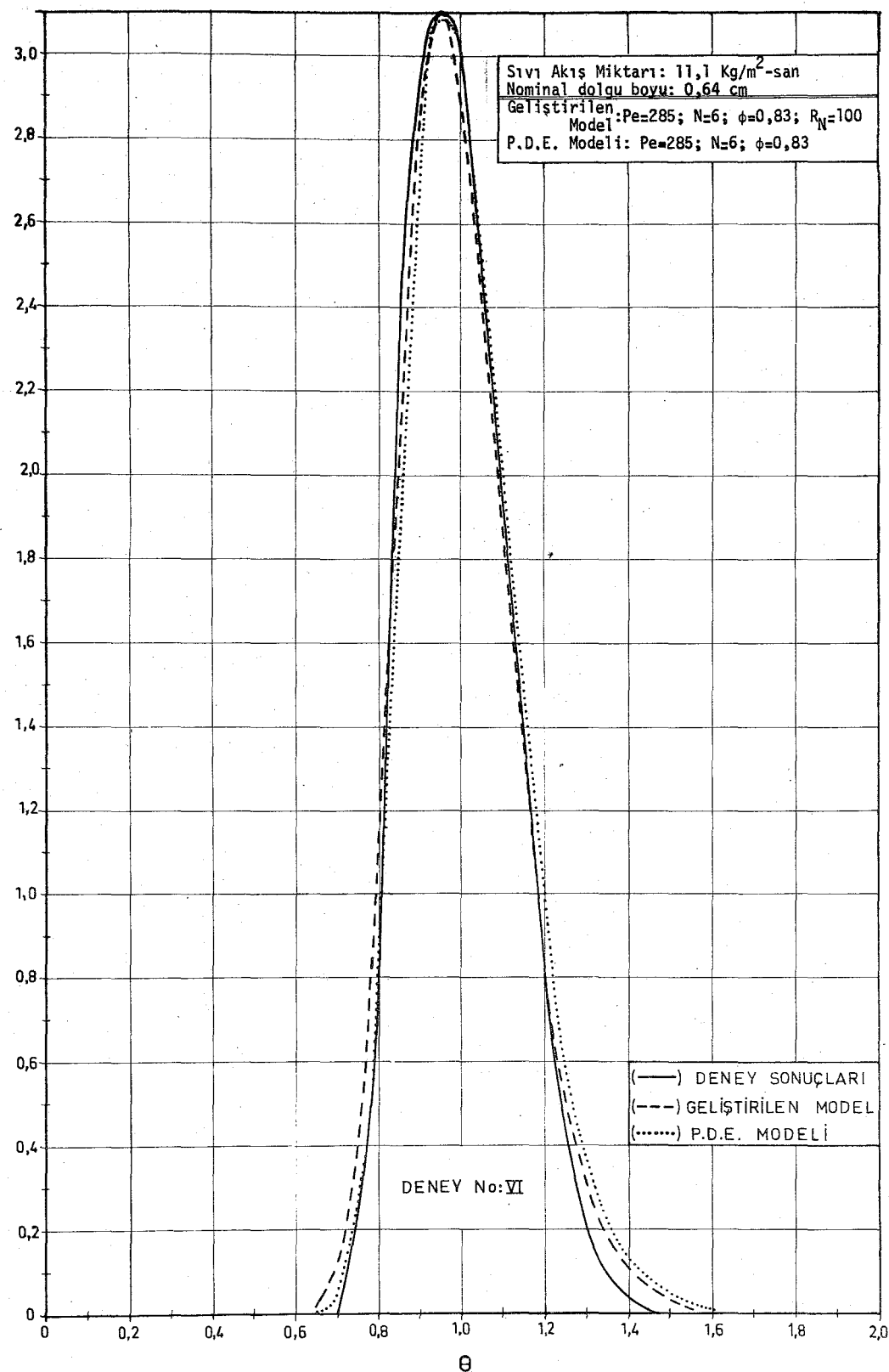
Şekil VII.3 - Ölçülen ve hesaplanan kalma süresi dağılımlarının karşılaştırılması



Şekil II.4 - Ölçülen ve hesaplanan kalma süresi dağılımlarının karşılaştırılması



Şekil V.5 - Ölçülen ve hesaplanan kalma süresi dağılımlarının karşılaştırılması



Şekil V.6 - Ölçülen ve hesaplanan kalma süresi dağılımlarının karşılaştırılması

fonksiyonun aranmasına dayanan parametre optimizasyonuna başvurulmuştur. Dörtköşe bir kulede 22x22 mm boylu dolgular için oldukça elverişli sonuçlar elde edilmiştir. Bu çalışmada ele alınan yuvarlak kule deneylerinden sadece biri, (Deney I) için verilen parametre değerleri ise ($P_e=72$; $N=2.12$; $\phi=.65$) bu çalışma içinde hazırlanan PDE modeli programı ile hesaplandığında kötü sonuç vermiştir. Bu çalışma çerçevesinde hazırlanan PDE programı van Swaaij'in doktora tezindeki^{71} şekil V.2. ile uyuştuğu için hatanın makalenin basımında ortaya çıkış olabileceğini tahmin etmekten öteye gidilemez. Peclet sayısının 22, 32, 42, 52, 62 ve 72 değerleri denenerek deneysel eğriye en yakın olanı Şekil V.1. de gösterilmiştir. Ortadaki hatayı vurgulamak için bu çalışma içinde kullanılan yöntemlerle daha uyumlu bir eğri elde etme cihetine bu deney için gidilmemiştir.

Sonuç olarak, düşük akış hızlarında bu çalışmada önerilen modelin PDE modeline kıyasla deneysel dağılım eğrilerini daha iyi takibettiği, yüksek akış hızlarında ise her iki modelin deney sonuçlarına çok yaklaşığı görülmektedir. Gene yüksek akış hızlarında PD modelinin de deney sonuçlarına yaklaşığı, tüm araştırmacılar tarafından kabul edilmektedir. Bu gözlemlerin fiziksel açıklamasına girmeden önce üstünde durulması gereken bir konu daha vardır.

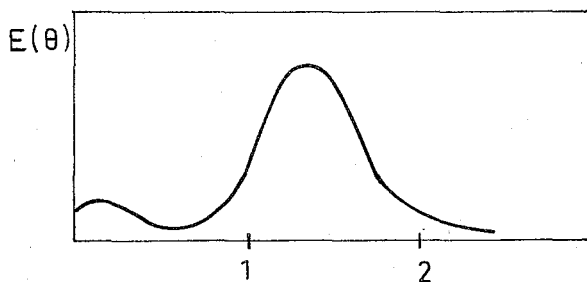
Çalışmamızda önerilen model, PDE modelinin Üç, PD modelinin de bir parametresine karşın, dört parametrelidir. Fiziksel anlamı olsun olmasın, parametre sayısı arttırıldıkça, eldeki modelin sayısal esnekliğinin de artacağı açıktır. Bu durumda çalışmamızın ve içeriği R_N parametresinin gerçekten bir katkı niteliğinde olup

olmadığının araştırılması gereklidir. Şöyledir ki, R_N parametresi, kule içinde yer aldığı gözlenen olayların bir veya birkaçını açıklayabilecek ve bunlara göreli veya mutlak bir değer bulmaya yarar nitelikte değil ise, çalıştığımız tamamı soyut bir problem çözümü aşamasında takılır. Eğer yukarıda bahsi geçen niteliklere sahip görülebilirse, modelin kule içinde yer aldığı gözlenen olayların incelenmesi yolunda ileriye doğru atılmış bir adım olduğu ileri sürülebilir.

V.2. Önerilen Modelin Yapısal Özellikleri

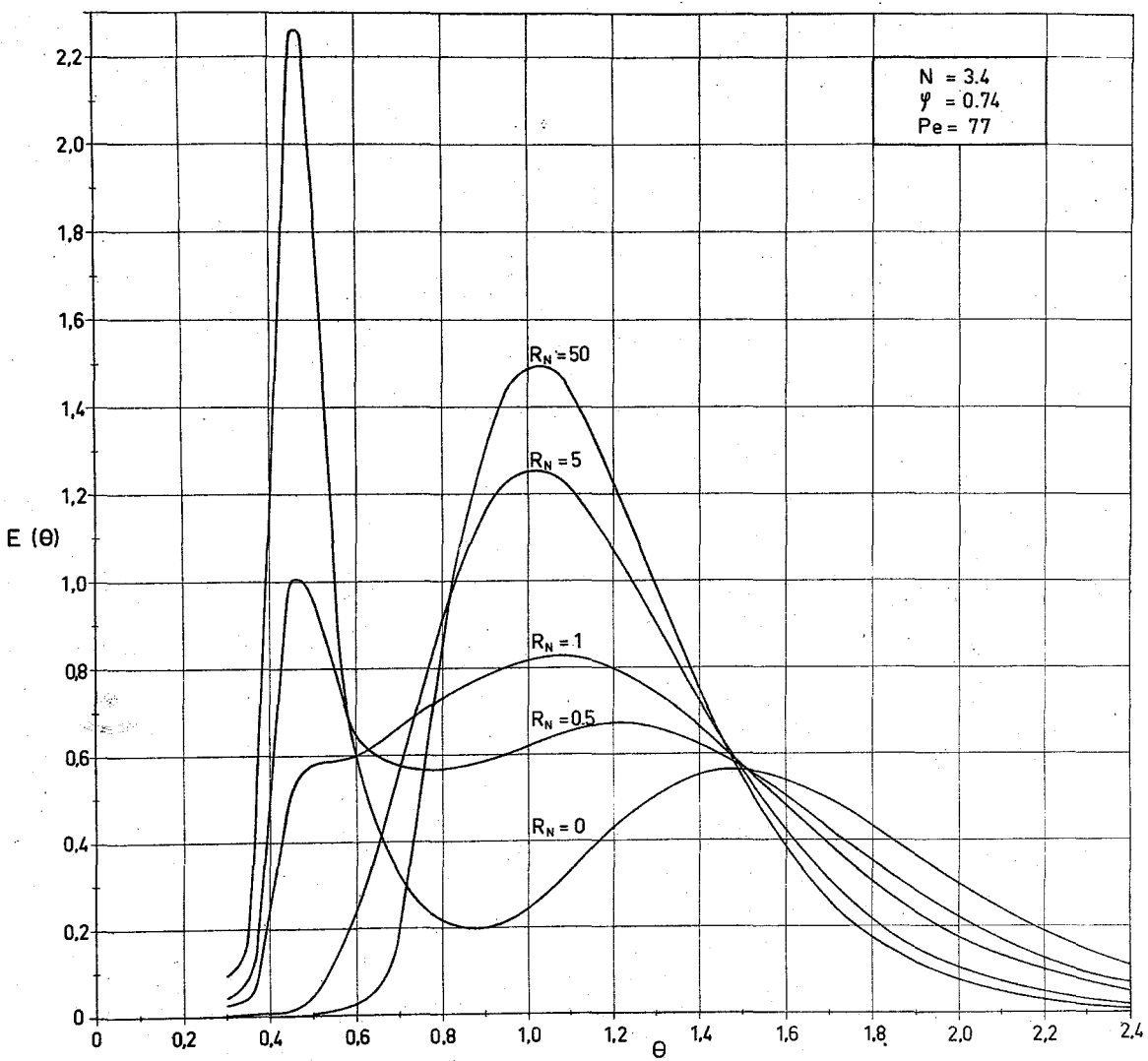
Denklem (3.46) da $\left[\frac{u}{\phi} \frac{d\Omega}{dz} \right]$ terimi duvar akışı bölgесine konveksiyon ile $\left[\frac{R_N}{\phi} (u-v) \right]$ terimi de difüzyon mekanizması ile iki bölge arasındaki izleyici kütle transferini tayin eden terimler olarak tanımlanmıştır. Kule içinde izleyici moleküllerinin geçirdiği aşamaları incelerken, şöyle bir ikilemle karşılaşırız. Duvardan aşağıya süzülen sıvı miktarı toplamın yarısını bulabilmekte, hatta aşabilmektedir. Buna karşılık duvar akışı bölgesini hiç hesaba katmayan bir reaktörde kalma süresi dağılım modeli, örneğin PDE modeli kullanılarak, deney sonuçlarına çok yakın dağılımlar hesaplanabilmektedir. Bu ikilemin çözümüne ancak iki bölge arasında oldukça yüksek kütle transferi hızları bulunması durumunda varılabilir. Diğer taraftan iki bölge arasındaki kütle transferi, kulenin matematik modelinde sıfıra indirgenirse ($R_N = 0$) duvar akış bölgesinden izleyicinin (veya reaksiyon varsa reaksiyon maddelerinin) yan geçiş (by-pass) yaparak dolgu maddesiyle (veya katalizörle) temas etmeden kuleyi terketmeleri beklenir. Şöyledir ki izleyicinin (veya reaksiyon maddesinin) bir kısmı, kuleye girdikten bir süre sonra duvar akış bölgesine konveksiyon ile taşınır; tekrar ana dolgu akış bölgesine geçer.

memesi halinde duvar akışı bölgesinden aşağıya süzülür ve ana dolgu ile pek az temas etmiş olarak kuleyi terkeder. Himmelblau ve Bischoff{20} bu gibi hallerde Şekil V.7. de gösterilen kalitatif eğri şeklinde reaktörde kalma süresi dağılımları beklenebileceğini ileri sürmüştür. Bu hal R_N parametresinin sıfır veya küçük



Şekil V.7. Proses Kabında Yan-Geçmenin Teşhisİ (20)

değerlere sahip olması halinde ortaya çıkar ise R_N parametresinin kulenin yapısal bir özelliğini yansittığı ileri sürülebilir. Şekil V.8. R_N parametresinin reaktörde kalma süresi dağılımlarını bu doğrultuda etkilediğini göstermektedir. Diğer bütün parametrelerin değerleri sabit tutulup, R_N 'nın değeri sıfırdan deney II' de bulunan değerine doğru ilerletildiğinde küçük değerlerde geniş çapta yan geçiş izlenmekte, R_N gerçekçi değerine yaklaştığında ise eğrinin bu özelliği ortadan kaybolmaktadır.



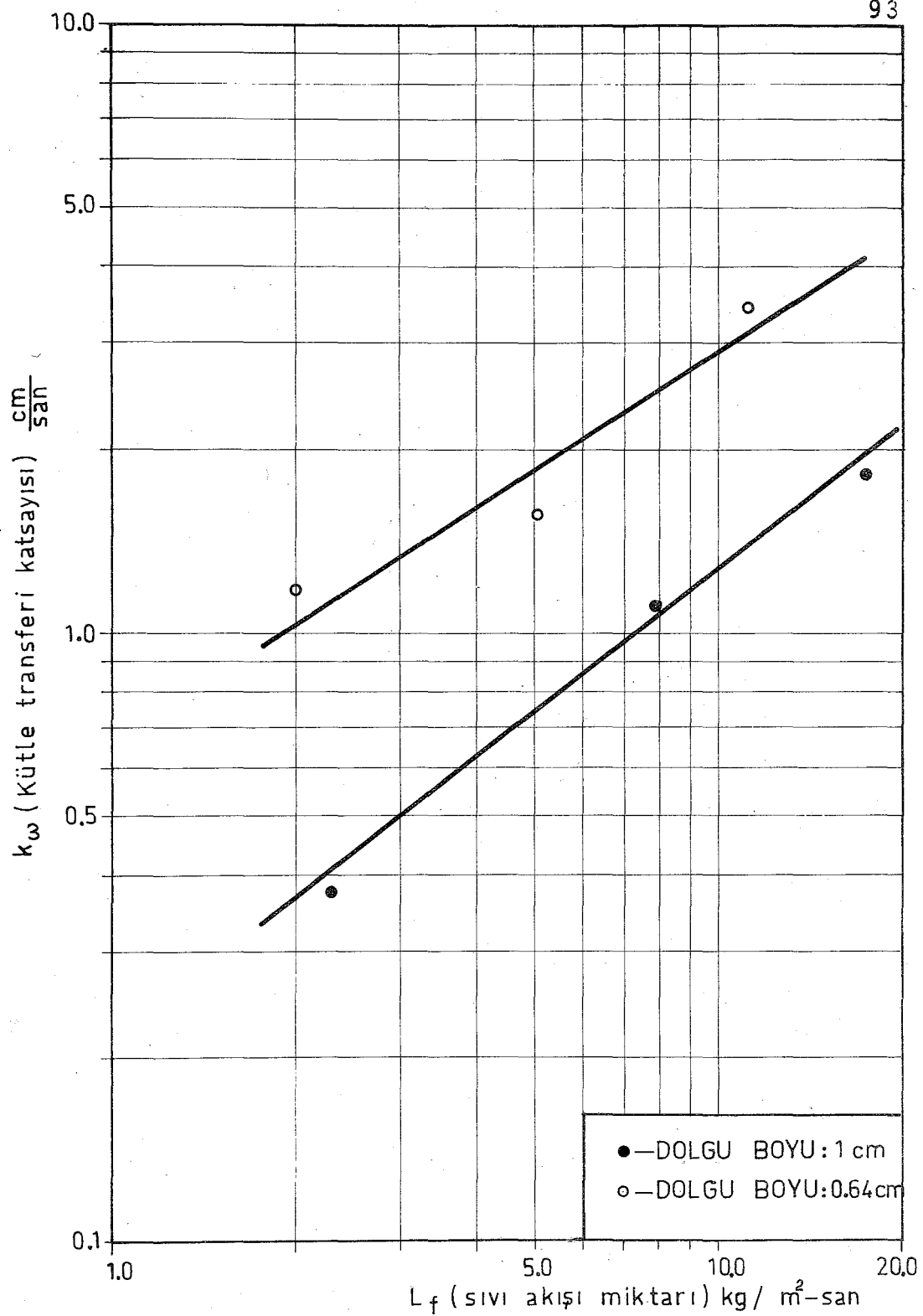
Şekil V.8 – Reaktörde Kalma Süresi Dağılımlarının R_N Parametresine Bağlı Olarak Değişmesi

Esasında, $\frac{1}{\phi} \frac{d\Omega}{dz}$ terimi duvar akışı bölgесine net konveksiyonu veren terimdir. Yani dolgu (veya katali-zör) üzerinden bir miktar sıvı yuvarlanarak ana dolgu akışı bölgесine geçerken bir miktar sıvı duvar akışı bölgесine geçmektedir. Giden ve gelen sıvı elemanlarının da içlerindeki izleyiciyi geçtikleri akış bölgесine taşıyacakları açıktır. Bu itibarla $(R_N/\phi)(u-v)$ terimine moleküler difüzyonla geçişten ziyade,

$D_e \frac{\partial^2 u}{\partial z^2}$ teriminde olduğu gibi net konveksiyonun ötesinde sıvı elemanlarının hacim olarak eşit ve karşıt istikametlerdeki hareketlerinde taşıdıkları izleyici miktarlarını tayin eden terim gözü ile bakmak gereklidir. Bu sav doğru ise iki akış bölgesi arasındaki kütle transferi katsayısunın;

- a) Toplam akış hızı arttıkça, artan konvektif cereyanlar ve sıvının daha süratli hareketi yüzünden artması
- b) Dolgu maddesi boyu ufaldıkça sıvı elemanlarının daha dolambaçlı yollar seçmek zorunda kalması nedeniyle, duvar akışı bölgesi ile ana dolgu akışı bölgesi arasında daha sık ve kolay temasın mümkün olması gereklidir. Bu ikinci halde de dolgu maddesi boyu ufaldıkça iki bölge arasındaki kütle transferi katsayısunın yükselmesi beklenir.

R_N 'den geriye doğru giderek hesaplanan kütle transferi katsayısı, k_w , değerleri Tablo V.2. ve Şekil V.9. da görülmüştür. Deney sayısının sınırlı olması korelasyon hazırlanmasına veya doğruların hassasiyetle



Şekil V.9 - Duvar akışı ile ana dolgu akışı bölgeleri arasındaki kütte transferi katsayısının sıvı akış hızına göre değişmesi.

TABLO V.2. k_{ω} 'nın akış hızına göre değişmesi

DENEY NO.	Sıvı Akış Miktarı L_f Kg/m ² -san	R _N	k_{ω} cm/san
I	2.3	51	.375
II	7.9	44	1.11
III	17.5	33	1.85
IV	2	190	1.17
V	5	102	1.57
VI	11.1	100	3.41

çizilmesine olanak vermemektedir. Bununla beraber hesaplanan k_{ω} değerlerinin iki akış bölgesi arasındaki kütle transferinin karakterini doğru yönde yansıtığı görülmektedir.

Bulunan k_{ω} değerlerini damlama yatak reaktörlerinde ölçülen diğer kütle transferi katsayıları ile kıyaslamak mümkündür. Örneğin sıvı ile katalizör arasındaki kütle transferi katsayıları 1/8" katalizör dolgulu bir kulede 3×10^{-4} cm/sn'yi aşmamaktadır{66}. Gaz-sıvı fazları arasındaki kütle transferi katsayısı daha da küçüktür. 1977'de yayınlanan bir korelasyon ise{12} sıvı-katalizör arası kütle transferi katsayısının yukarıda verilen değerin en çok on katı kadar büyüyebileceğini göstermektedir. Şekil V.9. da görüldüğü gibi k_{ω} bundan çok daha büyük değerler almaktadır. Bu nedenle

k_ω 'nin sadece difüzyon mekanizmaları ile açıklanabilecek bir kütle transferi olayını yansıtmadığı görülmektedir. Böylece, k_ω 'nin iki bölge arasındaki karşılıklı konveksiyon akımlarının ortaya çıkardığı net kütle aktarımının karakteristik katsayısı olduğu savı doğruluk kazanmaktadır.

k_ω ve dolayısıyla boyutsuz kütle aktarımı katsayısi R_N 'nin damlama yatak reaktörlerinde görülen diğer kütle transferi katsayılarından çok daha büyük değerler alması pratikte şu anlamı taşır. Kuleye giren reaksiyon maddelerinin duvar akışı bölgesine geçen kısmı bu bölgede kaldığı sürece katalizör ile temas olanağını bulamaz. Eğer duvar akış bölgesine giren reaksiyon maddeleinin buradan çıkışması için herhangi bir mekanizma mevcut değil ise (örneğin $R_N = 0$), reaksiyon maddesi kule dolgusunu yan geçme (by-pass) ile geride bırakıp reaksiyona girmeden kuleyi terkedebilir. Elimizdeki kule dinamiği modeli R_N parametresinin küçük değerler alması halinde yan geçme olayını izleme olanağını vermektedir. Deney sonuçları model ile karşılaştırıldığında ise R_N 'nin oldukça yüksek değerler aldığı, ve kule yapısının duvar akış bölgesine geçen reaksiyon maddelerinin tekrar dolguya dönmesi için uygun olduğunu göstermektedir. Bu durumda duvar akışı bölgesinin varlığının, reaktör içindeki dönüşmeleri çalışmanın başlangıcında beklenibilecekten çok daha az etkilemesi gereklidir.

Yapılan hesaplar ikinci bekleniyi doğrular niteliktedir. Hatırlanacağı gibi denklem (3.46) bir reaksiyon terimini içermektedir. Reaktörde kalma süresi dağılımı hesaplarında reaksiyon olmadığı için bu terim ($R_x=0$) kabul edilmiştir. Deney II ve deney V'in koşulla-

r_i ve bulunan Pe, N, φ ve R_N değerleri kullanılarak R_X'in değişik değerlerinde PDE modeli ile bu çalışmada önerilen model kullanılarak zerkedilen darbedeki izleyicinin, reaksiyona girişi halinde, elde edilecek olan dönüşmeleri hesaplanmıştır. Sonuçlar Tablo V.3 te gösterilmiştir. İki model arasında dönüşme farkları % 1'i geçmemektedir. PDE modelinde duvar akışının hiç hesaba alınmadığı göz önünde tutulursa, aradaki farkın küçük olması ancak duvar akışı bölgesi ile ana dolgu bölgesi arasında kütle transferinin çok yüksek olması ile açıklanabilir. Hatırlanması gereken diğer bir husus, mikro seviyede karışmanın birinci mertebeden reaksiyonlarda dönüşmeyi etkilemediğidir. Birden düşük reaksiyon merteblerinde dönüşme mikro-karışma ile hızla artar; birden yüksek reaksiyon merteblerinde hızla düşer[1]. Bu itibarla ikinci mertebeden reaksiyonlar olduğu ileri sürülen kükürt ve azot giderme reaksiyonlarında[4] duvar akışı teşekkül etmesinin dönüşmeleri Tablo V.3 'de görülen farklardan daha fazla etkilemesi beklenir.

TABLO V.3. İki modelden elde edilen birinci mertebeden reaksiyon dönüşmelerinin karşılaştırması.

R _X	PDE MODELİ % DÖNÜŞME	BU ÇALIŞMA % DÖNÜŞME	PDE MODELİ % DÖNÜŞME	BU ÇALIŞMA % DÖNÜŞME
.05	.037	.031	.037	.031
.10	.072	.066	.072	.067
.25	.171	.164	.171	.167
.50	.312	.303	.313	.309
1.00	.525	.515	.527	.525
3.00	.889	.881	.893	.892
5.00	.973	.969	.975	.975
10.00	.999	.998	.999	.999

V.3. Sonuçların Toplu Değerlendirmesi

Geliştirilen modelden hesaplanan reaktörde kalma süresi dağılımları genel hatları ile deney sonuçlarıyla uyusmaktadır. Düşük akış hızlarında bu çalışmada geliştirilen modelin PDE modelinden daha iyi sonuçlar verdiği, yüksek akış hızlarında da her iki modelin de deney sonuçlarına çok yaklaşığı Şekil V.1-Şekil V.6. da görülmektedir. R_N parametresinin değerlerinin artan kütle transferi hızları doğrultusunda büyüdüğü de tesbit edilmiştir. Akış hızları yükseldikçe ana dolgu bölgesinin duvar akışı bölgesi ve statik sıvı gözleri ile arasındaki kütle transferi hızlarının artması nedeniyle bu iki bölgenin varlığının dağılmaya katkısı azalmaktadır. Sıvı akış hızlarının yüksek olması halinde bu çalışmada geliştirilen model ile PD ve PDE modelleri arasındaki farklar böylece küçülmektedir. Sıvı akış hızlarının artmasıyla R_N ve N parametrelerinin değerlerinin yükselmesi bu açıklamayı doğrular niteliktedir. Her iki parametrenin değerlerindeki artış, akış şartlarına ve dolgu maddesinin boyutlarına bağlı olan bir noktadan sonra dağılım eğrisinin şeklini etkilememektedir. R_N parametresinin yüksek değerleri için Şekil II.8'de görülen bu özellik N parametresi için Villermaux ve van Swaaij{74} tarafından gösterilmiştir. Tablo V.1'de görüldüğü gibi 0.64 cm boyutlu dolgu maddesi için her iki parametre, R_N ve N, 5 kg/m²-san akış hızı civarında doyma noktasına gelmektedir. Böylece, yüksek akış hızlarında R_N ve N parametrelerinin doygunluk noktalarına yaklaşmalarıyla, PD ve PDE modeli ile bu çalışmada geliştirilen modelin birbirine yakın sonuçlar vermesi aynı deneysel koşullarda ortaya çıkmaktadır.

Tablo V.4'de bu çalışmada geliştirilen modelin deney sonuçları ile karşılaştırılmasından elde edilen parametre değerleri özetlenmiştir.

TABLO V.4. Elde Edilen Parametre Değerleri

DENEY NO.	DOLGU MADDESİ NOMİNAL BOYU, cm	AKIŞ MIKTARI kg / m ² -sn	P _e	N	φ	R _N
I	1.	2.3	44	2.74	.65	51
II	"	7.9	77	3.6	.74	44
III	"	17.5	176	4.9	.82	33
IV	0.64	2	195	4.5	.67	190
V	"	5	235	6	.753	102
VI	"	11.1	285	6	.83	100

Dolgu maddesi boyu küçüldükçe veya akış hızı büyündükçe R_N ve N parametrelerinde izlenen değişimler burada topluca görülmektedir. Gene dolgu maddesi boyu küçüldükçe ve sıvı akış hızları arttıkça eksenel dağılmının, konveksiyona nazaran öneminin azaldığı Peclet sayılarındaki artmalardan izlenebilmektedir. Hesaplamalarda φ parametresinin değerini tayin ederken van Swaaij' nin{71} verdiği deneysel değerlere sadık kalınmıştır.

Geliştirilen modelin parametrelerinin kendilerine atfedilen fiziksel olayların doğrultusunda değerler aldıkları görülmektedir. Bunun ötesinde hem denklemrin indirgenmesiyle hem de deneye karşılaştırmalarda görüldüğü gibi, evvelce geliştirilmiş olan PD ve PDE

modelleri, geliştirilen modelin özel ve basitleştirilmiş halleri olarak ortaya çıkmaktadır. R_N parametresinin doymamış olduğu akış hızlarında, Şekil V.4. gibi, bu çalışmada geliştirilen model diğer modellere göre deneySEL egrilere daha yakın sonuçlar verebilmektedir. R_N parametresinin sıfıra yaklaşığı teorik limite de yan-geçiş olayının meydana gelebileceği bu modelde izlenemektedir.

BÖLÜM VI

DÜŞÜNCELER VE TAVSİYELER

Dolgulu kulelerde gözlenen duvar akışı olayını da içine alan bir damlama yatak reaktörü modeli geliştirilmiştir. Bu modeli kullanarak gözeneksiz dolgulu, isothermal bir reaktör için hesaplanan kalma süresi dağılımları, düşük akış hızlarında şimdiye kadar geliştirilmiş modellere göre deneysel eğrilere daha yakın sonuçlar elde edilmesini sağlamıştır. Yüksek akış hızlarında, geliştirilen model daha sade modellerle birlikte deney sonuçlarına çok yaklaşan eğriler vermiştir. Model ve deney sonuçlarının karşılaştırılmasından elde edilen parametrelerin, fiziksel tanımlarından beklenen yönde büyüğü görülmüştür.

Geliştirilen modelin denklemlerinden duvar akışı bölgesinin kaldırılması halinde, PDE modeline; statik sıvı gözlerinin de kaldırılması halinde PDI modeline indirgenebileceği gösterilmiştir. Ayrıca duvar akışı bölgesi ile ana dolgu akış bölgesi arasında ve konsantrasyon itici gücü doğrultusunda kütle transferinin azalması halinde ortaya çıkması gereken yan-geçiş olayının da geliştirilen model aracılığıyla izlenebileceği görülmüştür.

Zerkedilen izleyicinin birinci mertebeden bir reaksiyonla kaybolmasında meydana gelecek dönüşmeler, geliştirilen model de PDE modeli kullanılarak hesaplanmıştır. İki model ile bulunan değerler arasındaki fark Tablo V.2. de görülebileceği gibi küçüktür. İki model arasındaki farkın küçüklüğünün nedeni, birinci mertebeden reaksiyonlarda dönüşmenin mikro-karışma olayından

etkilenmeyisidir. Geliştirilen model yolu ile hesaplanan dönüşmelerin birden daha yüksek mertebeli reaksiyonlarda PDE modeline göre daha küçük, birden küçük reaksiyon mertebelerinde daha büyük olması beklenir{11}.

Damlama yatak reaktörlerinde gaz fazının ters-akım olarak geçmesi hallerinde dahi, taşma noktasına yaklaşılana kadar, sıvı akış profillerinin gaz akımından etkilenmesinin ihmali edilebilir seviyede olduğu görülmektedir. {Onda (1973); Eroğlu (1973)}. Bu çalışmada geliştirilen modelin, gaz ve sıvının geniş bir akış hızı alanında da kullanılabilmesi gerekmektedir.

İleride yapılacak çalışmalarda, aşağıda belirtilen hususların incelenmesinde yarar olacaktır:

1. Modeli tanımlayan denklem takımı, kararlı-hal ve sabit reaksiyon maddesi konsantrasyonu sınır şartı,

$$c_0 = c(0) - \frac{1}{Pe} \frac{\partial c(0)}{\partial x},$$

ile ve değişken reaksiyon mertebesi ile çözülmelidir. Bu denklem takımı lineer olmayan bir reaksiyon terimi taşıyacaktır. Gene sonlu farklar metodu ve Gauss-Siedel iterasyon yöntemi ile sonuca gitmek mümkün olacaktır.

Bu çözüm özellikle değişik araştırmacıların birinci veya ikinci mertebeden olduğunu ileri sürdükleri azot ve kükürt giderme reaksiyonlarında{36,41,76} reaksiyon hızını diğer etkenlerden ayırmakta kullanılabilir.

2. Geliştirilen modelde dolgu maddesinin, yanı

katalizörün gözenekli olması halini de katmak gereklidir. Daha evvel de dephinildiği gibi, aynı koşullar altında çalıştırılan kulede gözenekli ve gözeneksiz dolgu maddeleri kullanarak ölçülen dağılım eğrilerinden yararlanarak, dönüşmeyi doğrudan doğruya hesaplayabilmek için gerekli matematik metodlar kısmen geliştirilmiştir{58,16}. Haynes{19} sadece gazların geçtiği sabit yatak reaktöründe mikro ve makro gözenekli bir katalizör için kalma sürelerini bazı asemtotik haller için analitik olarak elde edebilmiştir. Ancak lineerleştirilmiş bu denklem takımının ve dolayısıyle damlama yatak reaktörünün gözenekli dolgu maddesi ile doldurulmuş modeli için kurulacak denklem takımının klasik sonlu farklar metodlarıyla çözülebileceği görülmektedir.

3. Geliştirilen modelin kullanım alanını geniş-

letmek amacıyla sıvı akış profillerinin hesaplanması kuran parametrelerin değişik viskozite, yüzey gerilimi, dolgu maddesi boyu ve cinsi ile değişik kule çapları için denysel olarak ölçülerek genelleştirilmiş korelasyonlar haline dönüştürülmesi gerekmektedir.

4. Ölçülen reaktörde kalma süresi dağılımları,

literatürde genellikle hesaplanan parametreler yolu ile açıklanmaktadır. Geliştirilen modelin daha geniş bir deney dizisi ile karşılaştırılabilmesi için, hem gözenekli hem de gözeneksiz dolgu maddesi ile doldurulmuş kulelerde ve değişik viskozitesi olan sıvılarla reaktörde kalma süresi dağılımlarının ölçülmesi gereklidir.

5. Hesaplanan reaktör dönüşmelerini ölçülen değerlerle karşılaştırarak, dizayn denklemlerinin reaksiyon terimi ile reaktör içinde gözlenen diğer etkenler arasındaki ilişkiyi doğru olarak yansıtabilirliği araştırılmalıdır. Yayınlanmış araştırmaların birçoğunda⁴¹ bu noktada belirsizlik olduğu, ölçülen reaksiyon hızı sabitinin sıvı akış hızı ile değişmesinden görülmektedir. Deneysel dönüşmeleri ölçmek üzere yüksek basınçlarda da çalışabilecek bir hidrojenle kükürt giiderme reaktörü hazırlanmaktadır.

6. Damlama yatak reaktörünün isotermał koşullar altında çalışması hakkında toplanan bu bilgilerin adiyabatik reaktörün modellenmesinde kullanılması yararlı olacaktır. Hesaba katılması gereken radyal temperatür farklarının sıvı viskozitesine etkisi nedeniyle lineer olmayan bir denklem takımı elde edilecektir. Denklemlerin çözümü için "ortogonal kollokasyon" metodları kullanılması gerekmektedir{64,73,15}.

BÖLÜM VII

ÖZET VE SONUÇLAR

VII.1. Özeti

Damlama yatak reaktörlerinde elde edilen dönüşmeler, reaksiyon maddelerinin kule içinde geçirdiği aşamalardan ve sıvı akış profillerinden önemli ölçüde etkilenmektedir. Bu çalışmada, reaksiyon maddelerinin kule içindeki hareket ve dağılmalarını etkileyen hususları incelemek amacıyla matematiksel bir damlama yatak reaktörü modeli geliştirilmiştir. Reaksiyon maddelerinin hareket ve dağılmalarını etkileyen ana etkenler aşağıda belirtilmiştir.

- a) Reaktör ana ekseni doğrultusundaki dağılma,
- b) Dolgu içindeki statik sıvı gözleri ile ana dolgu akış bölgesi arasındaki kütle transferi,
- c) Kulenin statik ve dinamik sıvı tutma oranları ve bu iki değerin birbirine oranı,
- d) Sıvı fazın önemli bir kısmının reaktör ciddiye rindan aşağıya süzülmesi,
- e) Cidara bitişik olarak akan sıvı ile ana dolgu akış bölgesi arasında konsantrasyon itici gücü doğrultusunda kütle transferi.

Geliştirilen modelin değerlendirilmesi için reaktörde kalma süresi dağılımları hesaplanmış ve bunlar

hem deney sonuçlarından, ve, hem de diğer modellerden elde edilen eğrilerle karşılaştırılmıştır. Sıvı akış hızları evvelce yayınlanmış{40} bir denklem takımının çözümü ile elde edilmiş ve bunlar geliştirilen modelde veri olarak kullanılmıştır. Geliştirilen modelin, duvar akışı ihmali edildiği takdirde evvelce önerilen modelle-re indirgenebileceği görülmüş ve duvar akışının ihmali edilmesi halinde de denklemler çözüлerek karşılaştırma yoluna gidilmiştir.

Denklem takımları sonlu farklar metodları kullanılarak çözülmüştür. Hesaplamalarda Boğaziçi Üniversitesi Elektronik Hesap Merkezindeki UNIVAC 1106 bilgisayarından yararlanılmıştır.

VII.2. Sonuçlar

Bu çalışmada elde edilen sonuçlar aşağıdaki şekilde özetlenebilir:

1. Düşük sıvı akış hızlarında bu çalışmada geliştirilen damlama yatak reaktörü modeli evvelce önerilmiş modellere göre, deney sonucu elde edilen reaktörde kalma süresi dağılımı eğrilerine daha yakın sonuçlara varılmasını sağlamıştır. Sıvı akış hızları yükseldikçe bütün modellerin deney sonuçlarına çok yaklaşlığı görülmektedir.

2. Geliştirilen model, evvelce önerilmiş modellerde ihmali edilmiş olan kule cidarına bitişik sıvı akışı bölgesinin özelliklerinin incelenmesini sağlamaktadır. Duvar akışı bölgesi ile ana dolgu akış bölgesi arasında kütle transferinin;

- a) Ana dolgu bölgесinden duvar bölgесine akış net konveksiyon yoluyla izleyici (yahut reaksiyon maddesi) iletimi, ve,
- b) İki bölge arasındaki konsantrasyon itici gücü doğrultusundaki kütle iletimi,

mekanizmalarından ileri geldiği görülmektedir. Açıklanan ikinci mekanizma ile kütle transferi hızının, reaktördeki difüzyon kökenli kütle transferi hızlarından 10^3 mertebesinde daha büyük olduğu tesbit edilmiştir. Bu husus k_ω katsayısı ile tanımlanan ikinci kütle transferi mekanizmasının, karşılıklı konveksiyon akımlarının ortaya çıkardığı net kütle transferi olduğunu göstermektedir. k_ω katsayısının akış hızının yükselmesi ve dolgu boyunun küçülmesi ile artması bu bulguyu doğrular niteliktedir.

3. Duvar akışı bölgесine giren izleyicinin (veya reaksiyon maddelerinin) buradan tekrar çıkışması için herhangi bir mekanizmanın mevcut olmaması halinde, izleyicinin (veya reaksiyon maddelerinin) kule dolgusunu yan-geçme ile geride bırakarak reaktörü terkedebilmesi gereklidir. Bu çalışmada geliştirilen damlama yatak reaktörü modeli, R_N parametresinin küçük değerler alması halinde bu yan geçme olayını izleme olanağını vermektedir. Şekil V.8 de görüldüğü gibi R_N , deneyle karşılaşırarak bulunan değerlere doğru büyündüğünde yan-geçme olayının teşhisine yarıyan ikinci maksimum ortadan kalkmaktadır. Yan geçme olayını takibedebilmek olanağı, evvelce önerilmiş damlama yatak reaktörü modellerinde bulunmamaktadır.

4. İki bölge arasında kütle transferi hızlarının yüksek olması nedeniyle birinci mertebeden reaksiyonlarda, dönüşme hesaplarında duvar akışının ihmali sadece % 1 civarında bir hataya yol açtığı hesaplanmıştır. Mikro-karışma olayının dönüşmeyi sadece birinci mertebeden reaksiyonlarda etkilemediği bilinmektedir. Bu itibarla duvar akışının ihmali edilmesinin başka mertebeden reaksiyonların incelenmesinde daha büyük hatalara yol açması beklenir.

EK. 1

ΔRUN,C/RN RIFAT1•111-14-005,TRACEY•7,100
 ΔATA,IL TPF\$.

DATA T7 RL70-5 09/26-17:01:36

```

1.      ΔASG,AX TRB1.
2.      ΔASG,AX TRACE.
3.      ΔUSE 19,TRB1.
4.      ΔFOR,IN ,MAIN
5.      C
6.      C
7.      C      BU PROGRAM BU CALISMADA GELISTIRILEN MODEL VASITASIYLA DAMLAMA YATAK
8.      C      REAKTORLERINDE KALMA SURESI DAGILIMLARINI HESAPLAMAKTADIR. EK-3 TE
9.      C      GOSTERILEN PROGRAM YOLU ILE URETILEN SIVI AKIS PROFILLERI DISK UNITESINE
10.     C      YUKLENMEKTE VE BU PROGRAMDA VERI OLARAK KULLANILMAK UZERE HESAPLAMALAR
11.     C      ESNASINDA DISKTEN OKUNMAKTADIR.
12.     C
13.     C      INTEGRASYONLAR CUBINT ALT PROGRAMI ILE YAPILMISTIR. BU ALT PROGRAM DA
14.     C      DISK UNITESINDE MUHAFAZA EDILIP HESAPLAMA İHTIYACLARINA GORE
15.     C      CAIRILMAKTADIR. ALT PROGRAMIN METNI EK-3 TE GOSTERILMISTIR.
16.     C      MATRIS COZUMLERI DE LFQTIB ALT PROGRAMI (IMSL : UNIVAC PAKET PROGRAMI)
17.     C      KULANILARAK GERCEKLESTIRILMISTIR.
18.     C
19.     C
20.     C      INTEGER HH
21.     C      DIMENSION VV(201),TIME(201),W(3),FI(3),DELTA(3)
22.     C      DIMENSION DMOM1(201),DMOM2(201),DMOM3(20),SAAT(700),CONC(700)
23.     C      DIMENSION A(1000,5),AA(1000,5),XL(1000,3),B(1000,1)
24.     C      DIMENSION U(500),UNS(500),UW(500),DWALL(500),D(500),Y(500)
25.     C      DOUBLE PRECISION W,DELTA,FI
26.     C      EQUIVALENCE (D,Y)
27.     C      DATA PYE,NN,MB,KA,NP,IINI,M6,IJOB,NFIN,NLC,NUC/3,1415926535898,3*1,
28.     C      15*0,2,2/,HERROR,HOLDUP,RM1,RM2,RM3,EM1,EM2,EM3/8*0/
29.     C
30.     C      SECENEKLER KISMI
31.     C
32.     C      RN=50.
33.     C      RXN=5.
34.     C      PE=235.
35.     C      BDYN=.16
36.     C      BST=.0525
37.     C      RST=6.
38.     C      VOID=.7
39.     C      UFIN=1,D=04

```

```

40.      H=32.6
41.      DZ=.0025D 00
42.      DT=.01D 00
43.      NDP=1
44.      NZINT2=0
45.      C
46.      C      ON DEGERLERIN VERILMESI
47.      C
48.      IF(NDP .EQ. 1)NP=1
49.      IA=1000
50.      IB=1000
51.      IU=1000
52.      NDPP=NDP
53.      IF(NDPP .LT. 20)NDPP=5*NDP
54.      NX=NDPP
55.      C
56.      C      SAYFA BASLIKALARININ YAZILMASI
57.      C
58.      BETA=BDYN+BST
59.      PHI=BDYN/BETA
60.      R=DT/(DZ**2)
61.      WRITE(6,220)
62. 220 FORMAT(1H1,20X,59HRTD FOR CLOSED END REACTOR WITH STATIC HOLDUP AN
63. 1D WALL FLOW)
64.      WRITE(6,221)H,R,DZ,DT
65. 221 FORMAT(//20X,16HREACTOR LENGTH= ,F9.6,7H** R= ,E15.8,8H** AZ= ,E
66. 115.8,8H**)  AT= ,E15.8)
67.      WRITE(6,222)PE,VOID,BETA,PHI
68. 222 FORMAT(25X,4HPE= ,E15.8,8H VOID= ,E15.8,8H BETA= ,E15.8,8H PHI
69. 1= ,E15.8/)
70.      WRITE(6,223)BST,BDYN,RST
71. 223 FORMAT(44X,8H BSTAT= ,E15.8,8H BDYN= ,E15.8,8H RST= ,E15.8)
72.      WRITE(6,224)RN,RXN
73. 224 FORMAT(46X,6H RN= ,E15.8,8H RXN= ,E15.8)
74.      C
75.      C      SONLU FARKLAR DENKLEMLERINDEKİ SABITLERIN HESAPLANMASI
76.      C
77.      VOID=H/BETA
78.      HH=1./DZ
79.      JM=HH+1
80.      1 JMMM=JM-1
81.      1JOB=0
82.      D(1)=0.D 00
83.      DO 306 JI=2,JM
84. 306 D(JI)=D(JI-1)+DZ
85.      JF=2*JM-2
86.      JFM=JF-1
87.      R0=R/(2.D 00*PE)
88.      BZZ=-R*DZ/(PHI*DT)
89.      S2=RST*DT*PHI/(1.D 00*PHI)
90.      S1=1.D 00/(1.D 00+S2)
91.      S3=RST*DT/2.D 00
92.      S5=RN*DT/(2.D 00*PHI)
93.      S6=DT/(4.D 00*PHI*DZ)
94.      S7=-S3*(1.D 00+S1)
95.      S8=S1*S2+S3-2.D 00
96.      S9=RXN*DT/2.D 00
97.      RL=(R/PE)-1.D 00+S3+S4+S9
98.      RS=-( (R/PE)-S1+S2*S3+S3+1.D 00+S5+S9)
99.      Q1=RN*DT/(4.D 00*VOID)
100.     Q2=DT/(8.D 00*VOID*DZ)
101.     GM=Q2

```

```

102.      Q5=-Q2/S6
103.      HSB=(H**2)/BETA
104.      PHIM=1.-PHI
105.      C
106.      C      BASLANGIC SARTININ VERILMESI : N=0 :
107.      C
108.      1301 DO 301 M=2,JF
109.      301 B(M+1)=0,D 00
110.      B(1+1)=B2Z
111.      C
112.      C      KATSAYILAR MATRISININ HESAPLANMASI
113.      C
114.      1800 DO 800 I=1,3
115.      READ(19,100)W(I),FI(I),DELTA(I)
116.      100 FORMAT(3(2X,D23.18))
117.      DWALL(I)=DELTA(I)
118.      WRITE(6,226)W(I),FI(I),DELTA(I),I
119.      226 FORMAT(3(2X,D23.16),1nX,I4)
120.      800 CONTINUE
121.      A(1+3)=RS-(R*DZ/PHI)+2,D 00*S6*FI(1)+S5
122.      A(1+4)=(R/PE)-2,D 00*S6*FI(2)
123.      A(2+2)=R0+S6*FI(1)
124.      A(2+3)=RS-S6*(W(3)-W(1))+S5
125.      A(2+4)=R0-S6*FI(3)
126.      A(3+2)=R0+S6*FI(2)
127.      JP=4
128.      1799 DO 799 I=1,2
129.      FI(I)=FI(I+1)
130.      W(I)=W(I+1)
131.      799 DELTA(I)=DELTA(I+1)
132.      READ(19,100)W(3),FI(3),DELTA(3)
133.      DWALL(JP)=DELTA(3)
134.      WRITE(6,226)W(3),FI(3),DELTA(3),JP
135.      A(3+3)=RS-S6*(W(3)-W(1))
136.      A(3+4)=S5
137.      A(3+5)=R0-S6*FI(3)
138.      FD=(DELTA(3)-DELTA(1))/DELTA(2)
139.      A(4+1)=R0-(FD+R0/4,D 00)-Q2*W(1)/DELTA(2)
140.      A(4+2)=(Q1/DELTA(2))+Q5*(RS-A(3,3))/DELTA(2)
141.      A(4+3)=-((R/PE)+1,D 00)+(Q1/DELTA(2))
142.      A(4+5)=R0+(R0*FD/4,D 00)+Q2*W(3)/DELTA(2)
143.      1302 DO 302 J=4,JMM
144.      1801 DO 801 I=1,2
145.      FI(I)=FI(I+1)
146.      W(I)=W(I+1)
147.      801 DELTA(I)=DELTA(I+1)
148.      READ(19,100)W(3),FI(3),DELTA(3)
149.      JP=J+1
150.      WRITE(6,226)W(3),FI(3),DELTA(3),JP
151.      DWALL(JP)=DELTA(3)
152.      JI=2*J-2
153.      JJ=JI-1
154.      A(JJ,1)=R0+S6*FI(1)
155.      A(JJ,3)=RS-S6*(W(3)-W(1))
156.      A(JJ,4)=S5
157.      A(JJ,5)=R0-S6*FI(3)
158.      FD=(DELTA(3)-DELTA(1))/DELTA(2)
159.      FQ1=Q1/DELTA(2)
160.      FQ2=Q2/DELTA(2)
161.      A(JI,1)=R0*(1,D 00-(FD/4,D 00))-FQ2*W(1)
162.      A(JI,2)=FQ1+Q5*(RS-A(JI,3))/DELTA(2)
163.      A(JI,3)=-((R/PE)+1,D 00+FQ1)

```

```

164.      A(JI,5)=R0*(1.D 00+(F0/4.D 00))+F02*W(3)
165.      302 CONTINUE
166.      WFLOW=W(3)*PYE
167.      PFLOW=FI(3)*PYE
168.      TFLOW=PFLOW+WFLOW
169.      WRITE(6,24)TFL0W,PFL0W,WFL0W
170.      24 FORMAT(//1X,12H*****TFL0W=E15.8,5X,6HPFL0W=E15.8,5X,6HWFL0W=E
171.      115.8)
172.      A(JFM,1)=R/PE
173.      A(JFM,3)=RS+2.D 00*S6*(FI(3)-FI(2)+W(3)-W(2))
174.      A(JFM,4)=S5
175.      FD=2.D 00*Q0*(W(3)-W(2))/DELTA(3)
176.      FQ1=Q1/DELTA(3)
177.      A(JF,1)=R/PE
178.      A(JF,2)=FD+FQ1
179.      A(JF,3)=-(R/PE)+1.D 00+FQ1+FD)
180.      S10=RL+2.D 00*S6*(FI(3)-FI(2)+W(3)-W(2))
181.      Q10=A(JF,2)+(R/PE)-1.D 00
182.      1802 DO 802 I=1,JF
183.      1803 DO 803 K=1,5
184.      803 AA(I,K)=A(I,K)
185.      802 CONTINUE
186.      401 IF(NN=2)404,402,403
187.      402 CONTINUE
188.
189. C   IKINCI ZAMAN ADIMI : N=1 :
190. C
191.      FD=A(1,3)+2.D 00-S1*S2*S3
192.      B(1,1)=BZZ+S7*UNS(1)-FD*U(1)-A(1,4)*U(2)
193.      GO TO 500
194.      403 CONTINUE
195.
196. C   UCUNCU VE SONRAKI ZAMAN ADIMLARI : N>2 :
197. C
198.      B(1,1)=S7*UNS(1)-FD*U(1)-A(1,4)*U(2)
199.      500 B(JFM,1)=-A(JFM,1)*U(JM-1)+S10*U(JM)-S5*UW(JM)+S7*UNS(JM)
200.      B(JF,1)=-A(JF,1)*UW(JM-1)+Q10*UW(JM)-A(JF,2)*U(JM)
201.      B(2,1)=-A(2,2)*U(1)+(S8-A(2,3))*U(2)-A(2,4)*U(3)+S7*UNS(2)
202.      B(3,1)=-A(3,2)*U(2)+(S8-A(3,3))*U(3)-A(3,4)*U(4)+S7*UNS(3)-S5*UW(3
203.      1)
204.      B(4,1)=-A(4,2)*U(3)-A(4,1)*UW(2)-(A(4,3)+2.D 00)*UW(3)-A(4,5)*UW(4
205.      1)
206.      1304 DO 304 J=4,JMM
207.      JI=2*J-2
208.      JJ=JI-1
209.      B(JJ,1)=-A(JJ,1)*U(J-1)+(S8-A(JJ,3))*U(J)-A(JJ,5)*U(J+1)+S7*UNS(J)
210.      1-S5*UW(J)
211.      304 B(JI,1)=-A(JI,1)*UW(J-1)-(A(JI,3)+2.D 00)*UW(J)-A(JI,5)*UW(J+1)-A(
212.      1JI,2)*U(J)
213.      404 CALL LEQT1B(AA,JF,NLC,NJC,IA,B,MB,IB,IJOB,XL,IER)
214.      U(1)=B(1,1)
215.      U(2)=B(2,1)
216.      UW(1)=0.D 00
217.      UW(2)=U(2)
218.      UNS(1)=S1*(S2*U(1)+UNS(1))
219.      UNS(2)=S1*(S2*U(2)+UNS(2))
220.
221.      1305 DO 305 J=3,JM
222.      JI=2*J-2
223.      JJ=JI-1
224.      U(J)=B(JJ,1)
225.      UW(J)=B(JI,1)
305  UNS(J)=S1*(S2*U(J)+UNS(J))

```

```

226.      C
227.      C      KULEYI TERKEDEN IZLEYICI MIKTARININ VE ILK UC MOMENTIN HESAPLANMASI
228.      C
229.      999 CONTINUE
230.      NNI=NNI+1
231.      CLOCK=NN*DT
232.      VV(NNI)=(PFLOW*U(JM)+WFLOW*UW(JM))/TFLW
233.      SAAT(NN)=CLOCK
234.      CONC(NN)=VV(NNI)
235.      TIME(NN)=CLOCK
236.      DMOM1(NNI)=VV(NNI)*TIME(NNI)
237.      DMOM2(NNI)=DMOM1(NNI)*TIME(NNI)
238.      DMOM3(NNI)=DMOM2(NNI)*TIME(NNI)
239.      IF(NNI .LT. NDPP)GO TO 998
240.      KB=NDPP
241.      CALL CUBINT(TIME,VV,KB,KA*KB*RESULT,ERROR,IND)
242.      CALL CUBINT(TIME,DMOM1,KB,KA*KB,RRM1,EEM1,IND)
243.      CALL CUBINT(TIME,DMOM2,KB,KA*KB,RRM2,EEM2,IND)
244.      CALL CUBINT(TIME,DMOM3,KB,KA*KB,RRM3,EEM3,IND)
245.      700 NNI=1
246.      NDPP=NX+1
247.      VV(1)=VV(NDPP)
248.      TIME(1)=TIME(NDPP)
249.      DMOM1(1)=DMOM1(NDPP)
250.      DMOM2(1)=DMOM2(NDPP)
251.      DMOM3(1)=DMOM3(NDPP)
252.      RM1=RM1+RRM1
253.      RM2=RM2+RRM2
254.      RM3=RM3+RRM3
255.      EM1=EEM1+EEM1
256.      EM2=EEM2+EEM2
257.      EM3=EEM3+EEM3
258.      HOLDUP=HOLDUP+RESULT
259.      HERROR=HERROR+ERROR
260.      IF(NN .NE. 1 .AND. NN .NE. NP)GO TO 406
261.      Y(1)=PHI*U(1)+PHIM*UNS(1)
262.      1310 DO 310 J=2,JM
263.      310 Y(J)=PHI*U(J)+PHIM*UNS(J)+HSB*((2.*DWALL(J)/H)-(DWALL(J)**2))*UW(J
264.      1)
265.      C
266.      C      KULE ICINDEKI IZLEYICI MIKTARININ HESAPLANMASI
267.      C
268.      IF(NNI .NE. 1)GO TO 502
269.      499 CALL CUBINT(D,Y,JM,KA,JM,RES1,ERR02,IND)
270.      TTT=HOLDUP+RES1
271.      WRITE(6,201)TTT,HOLDUP,HERROR,RES1,ERR02
272.      201 FORMAT(10X,10H**TOT TR=E15.8,9HEXIT TOT=E15.8,10HWITH ERR =,E15
273.      1.0,7H*CONT=E15.8,8.6H*ERR=E15.8)
274.      520 IF(NZINT2 .EQ. 0)GO TO 502
275.      1311 DO 311 J=1,JM
276.      311 Y(J)=PHI*U(J)
277.      CALL CUBINT(D,Y,JM,KA,JM,RES2,ERR02,IND)
278.      503 WRITE(6,205)RES2,ERR02
279.      205 FORMAT(1X,17HMAIN PACKING RES=E15.8,3X,3HER=E15.8)
280.      1312 DO 312 J=1,JM
281.      312 Y(J)=PHIM*UNS(J)
282.      CALL CUBINT(D,Y,JM,KA,JM,RES2,ERR02,IND)
283.      508 WRITE(6,206)RES2,ERR02
284.      206 FORMAT(1X,18HSTATIC HOLDUP RES=E15.8,3HER=E15.8)
285.      Y(1)=0.0 00
286.      1313 DO 313 J=2,JM
287.      313 Y(J)=HSB*((2.*DWALL(J)/H)-(DWALL(J)**2))*UW(J)

```

```

288.      CALL CUBINT(D,Y,JM,KA,JM,RES2,ERR02,IND)
289.      510 WRITE(6,207)RES2,ERR02
290.      207 FORMAT(1X,14HWALL FLOW RES=,E15.8,3X,3HER=,E15.8)
291.      502 NP=NP+NDP
292.      406 IF(NNI .EQ. 1 .AND. RES1 .LT. UFIN)GO TO 407
293.          NN=NN+1
294.          1JOB=2
295.          GO TO 401
296.      407 CONTINUE
297.      C
298.      C
299.      WRITE(6,193)RM1,EM1,RM2,EM2,RM3,EM3,NN
300.      193 FORMAT(////)
301.      WRITE(6,210)HOLDUP,HERROR
302.      210 FORMAT(1X,7HHOLDUP=,E15.8,5X,6HERROR=,E15.8)
303.      DO 375 I=1,NN
304.          SAATF=SAAT(I)/RM1
305.          CONCP=CONC(I)*RM1
306.          WRITE(6,200)I,SAAT(I),CONC(I),SAATP,CONCP
307.      200 FORMAT(5X,3HNN=,I6,2X,4(E15.8,5X))
308.      375 CONTINUE
309.      STOP
310.      END
311.      ΔFOR,IS LEQT1B.
312.      SUBROUTINE LEQT1B(A,N,NLC,NUC,IA,B,M,IB,IJOB,XL,IER)           LE1B0660
313.      C
314.      C
315.      C
316.      C
317.      C
318.      C
319.      C
320.      C
321.      DIMENSION          A(I,A,1),XL(N,1),B(IB,1)                   LE1B0680
322.      DATA                ZERO/0.0/,ONE/1.0/                      LE1B0690
323.      IER = 0                         LE1B0700
324.      JBEG = NLC+1                   LE1B0710
325.      NLC1 = JBEG                  LE1B0720
326.      IF (IJOB .EQ. 2) GO TO 80    LE1B0730
327.      RN = N                         LE1B0740
328.      I = 1                         LE1B0780
329.      NC = JBEG+NUC                 LE1B0790
330.      NN = NC                      LE1B0800
331.      JEND = NC                    LE1B0810
332.      IF (N .EQ. 1 .OR. NLC .EQ. 0) GO TO 25   LE1B0820
333.      5 K = 1                         LE1B0830
334.      P = ZERO                     LE1B0840
335.      DO 10 J = JBEG,JEND          LE1B0850
336.          A(I,K) = A(I,J)           LE1B0860
337.          Q = ABS(A(I,K))          LE1B0870
338.          IF (Q .GT. P) P = Q       LE1B0880
339.          K = K+1                  LE1B0890
340.      10 CONTINUE                   LE1B0900
341.          IF (P .EQ. ZERO) GO TO 135   LE1B0910
342.          XL(I,NLC1) = ONE/P        LE1B0920
343.          IF (K .GT. NC) GO TO 20    LE1B0930
344.          DO 15 J = K,NC            LE1B0940
345.              A(I,J) = ZERO         LE1B0950
346.          15 CONTINUE               LE1B0960
347.          20 I = I+1                  LE1B0970
348.          JBEG = JBEG-1             LE1B0980
349.          IF (JEND-JBEG .EQ. N) JEND = JEND-1   LE1B0990

```

```

350.      IF (I .LE. NLC) GO TO 5          LE1B1000
351.      JBEG = I                      LE1B1010
352.      NN = JEND                     LE1B1020
353. 25  JEND = N-NUC                  LE1B1030
354.      DO 40 I = JBEG,N              LE1B1040
355.          P = ZERO                 LE1B1050
356.          DO 30 J = 1,NN             LE1B1060
357.              Q = ABS(A(I,J))       LE1B1070
358.              IF (Q .GT. P) P = Q   LE1B1080
359.          30  CONTINUE               LE1B1090
360.          IF (P .EQ. ZERO) GO TO 135. LE1B1100
361.          XL(I+NLC1) = ONE/P        LE1B1110
362.          IF (I .EQ. JEND) GO TO 37  LE1B1120
363.          IF (I .LT. JEND) GO TO 40  LE1B1130
364.          K = NN+1                  LE1B1140
365.          DO 35 J = K,NC            LE1B1150
366.              A(I,J) = ZERO         LE1B1160
367.          35  CONTINUE               LE1B1170
368.          NN = NN-1                LE1B1180
369. 40  CONTINUE                   LE1B1190
370.          L = NLC                  LE1B1200
371.          DO 75 K = 1,N              LE1B1220
372.              P = ABS(A(K,1))*XL(K+NLC1) LE1B1230
373.              I = K                  LE1B1240
374.              IF (L .LT. N) L = L+1    LE1B1250
375.              K1 = K+1                LE1B1260
376.              IF (K1 .GT. L) GO TO 50  LE1B1270
377.              DO 45 J = K1,L           LE1B1280
378.                  Q = ABS(A(J,1))*XL(J+NLC1) LE1B1290
379.                  IF (Q .LE. P) P = Q     LE1B1300
380.                  P = Q                LE1B1310
381.                  I = J                LE1B1320
382.          45  CONTINUE               LE1B1330
383.          50  XL(I+NLC1) = XL(K+NLC1) LE1B1340
384.          XL(K+NLC1) = I            LE1B1350
385.          IF (RN+P .EQ. RN) GO TO 135. LE1B1370
386.          IF (K .EQ. I) GO TO 60      LE1B1390
387.          DO 55 J = 1,NC            LE1B1400
388.              P = A(K,J)             LE1B1410
389.              A(K,J) = A(I,J)         LE1B1420
390.              A(I,J) = P            LE1B1430
391.          55  CONTINUE               LE1B1440
392.          60  IF (K1 .GT. L) GO TO 75  LE1B1450
393.          DO 70 I = K1,L            LE1B1460
394.              P = A(I,1)/A(K,1)       LE1B1470
395.              IK = I-K              LE1B1480
396.              XL(K1,IK) = P        LE1B1490
397.              DO 65 J = 2,NC          LE1B1510
398.                  A(I,J-1) = A(I,J)-P*A(K,J) LE1B1520
399.          65  CONTINUE               LE1B1530
400.          A(I,NC) = ZERO          LE1B1540
401.          70  CONTINUE               LE1B1550
402.          75  CONTINUE               LE1B1560
403.          IF (IJOB .EQ. 1) GO TO 9005 LE1B1580
404. 80  L = NLC                  LE1B1590
405.          DO 105 K = 1,N            LE1B1600
406.              I = XL(K+NLC1)       LE1B1610
407.              IF (I .EQ. K) GO TO 90  LE1B1620
408.              DO 85 J = 1,M            LE1B1630
409.                  P = B(K,J)          LE1B1640
410.                  B(K,J) = B(I,J)      LE1B1650
411.

```

```

412.      85    CONTINUE          LE1B1660
413.      90    IF (L .LT. N) L = L+1   LE1B1670
414.          K1 = K+1           LE1B1680
415.          IF (K1 .GT. L) GO TO 105  LE1B1690
416.          DO 100 I = K1,L        LE1B1700
417.              IK = I-K          LE1B1710
418.              P = XL(K1,IK)     LE1B1720
419.              DO 95 J = 1,M      LE1B1730
420.                  B(I,J) = B(I,J)-P*B(K,J)  LE1B1740
421.          95    CONTINUE          LE1B1750
422.          100   CONTINUE          LE1B1760
423.          105   CONTINUE          LE1B1770
424.          JBEG = NUC+NLC       LE1B1790
425.          DO 125 J = 1,M      LE1B1800
426.              L = 1            LE1B1810
427.              K1 = N+1          LE1B1820
428.              DO 120 I = 1,N      LE1B1830
429.                  K = K1-I          LE1B1840
430.                  P = B(K,J)      LE1B1850
431.                  IF (L .EQ. 1) GO TO 115  LE1B1860
432.                  DO 110 KK = 2,L      LE1B1870
433.                      IK = KK*K      LE1B1880
434.                      P = P-A(K,KK)*B(IK-1,J)  LE1B1890
435.          110    CONTINUE          LE1B1900
436.          115    B(K,J) = P/A(K,1)  LE1B1910
437.          IF (L .LE. JBEG) L = L+1  LE1B1920
438.          120    CONTINUE          LE1B1930
439.          125    CONTINUE          LE1B1940
440.          GO TO 9005          LE1B1950
441.          135    IER = 129         LE1B1960
442.          9000   CONTINUE          LE1B1970
443.          9005   RETURN          LE1B1990
444.          END
445.          ΔPREP TRACE
446.          ΔMAP,I ,TPF$,MAIN
447.          IN TPF$,MAIN
448.          LIB TRACE.
449.          ΔXOT
EJD DATA,
ΔT-IN

```

EK. 2

```

ARUN,C/RN RIFAT2,111-14-005,TRACEY,5,10n
DATA T7 RL70-5 09/26-17:02:10
1.      AASG,AX TRACER
2.      AFOR,IN ,MAIN
3.      C
4.      C      BU PROGRAM PDE VE PD MODELLERINI KULLANARAK DAMLAMA YATAK
5.      C      REAKTORLERIDE KALMA SURESİ DAGILIMLARINI HESAPLAMAKTADIR.
6.      C      PD MODELİNİ KULLANMAK ICIN PHI=1. VE RST=0. DEGERLERİ KULLANILMALIDIR.
7.      C      MATRISLERİN COZUMUNDE TRIDAG ALT PROGRAMI(CARNAHAN,LUTHER, VE WILKES :
8.      C      1969) VE INTEGRALLERİN HESAPLANMASINDA CUBINT ALT PROGRAMI (DAVIS VE
9.      C      RABINOWITZ : 1975) KULLANILMISTIR.
10.     C      CURINT ALT PROGRAMI DISK UNITESİNDE MUHAFAZA EDİLDİĞİ ICİN BURADA
11.     C      GOSTERİLMEMİSTİR. BU ALT PROGRAMIN METNI EK-3 TE GÖRÜLEBİLİR.
12.     C
13.     C      INTEGER HH
14.     C      DIMENSION VV(201),TIME(201),DMOM1(201),DMOM2(201),DMOM3(201)
15.     C      DIMENSION A(500),B(500),C(500),D(500)
16.     C      DIMENSION UN(500),U(Su),UNS(500),Y(500),Q(500)
17.     C      DOUBLE PRECISION HOLD,P,RESULT,ERROR,HERROR
18.     C      DOUBLE PRECISION UN,A,B,C,D,Y,U,Q
19.     C      DOUBLE PRECISION VV,TIME,BETA,P,E,VOID,ALFA,CG,H
20.     C      DOUBLE PRECISION DMOM1,DMOM2,DMOM3
21.     C      DOUBLE PRECISION DT,D,R,BST,RST,RXN,PHI,UFIN
22.     C      DOUBLE PRECISION BDYN,RES2,ERR2,UNS
23.     C      DOUBLE PRECISION C1,C2,C3,C4,C5,G1,G2,G3,G4,G5,G6,G7,G8
24.     C      DOUBLE PRECISION RM1,RM2,RM3,EM1,EM2,EM3,RRM1,RRM2,RRM3,EEM1,EEM2,
25.     C      EEM3,CLOCK,TTT
26.     C      EQUIVALENCE (U,UN)
27.     C      DATA HERROR,HOLDUP,RM1,RM2,RM3,EM1,EM2,EM3,NP,NNI,NFIN,KA,NN/B*0,D
28.     C      1 00,3*0,2*1/
29.     C
30.     C      SECENEKLER KISMI
31.     C
32.     C      PE=300.
33.     C      RXN=0,D 00
34.     C      RST=0.
35.     C      BST=.0525
36.     C      BDYN=.1575
37.     C      VOID=.7D 00
38.     C      H=32.6D 00
39.     C      UFIN=1.D-04

```

```

40.      DZ=.0025D 00
41.      DT=.01D 00
42.      NDP=1
43.      C
44.      C ON DEGERLERIN VERILMESI
45.      C
46.      IF(NDP .EQ. 1)NP=1
47.      BETA=RST+BDYN
48.      NDPP=NDP
49.      IF(NDP .LT. 20)NDPP=5*NDP
50.      NX=NDPP
51.      CLOCK=0.D 00
52.      G(1)=0.D 00
53.      1300 DO 300 M=1,JM
54.      UNS(M)=0.D 00
55.      300 UN(M)=0.D 00
56.      C
57.      C SONLU FARKLAR DENKLEMLERİNDEKİ SABİTLERİN HESAPLANMASI
58.      C
59.      CG=1
60.      ALFA=VOID*BDYN
61.      HH=1.D 00/DZ
62.      JM=HH+1
63.      JMM=JM-1
64.      1315 DO 315 M=2,JM
65.      315 Q(M)=Q(M-1)+DZ
66.      DJM=Q(JM)
67.      R=DT/(DZ**2)
68.      PHI=BDYN/BETA
69.      PHI=1.
70.      IF(RST .GT. 1.D-03)GO TO 750
71.      PHI=1.D 00
72.      G1=0.D 00
73.      G2=0.D 00
74.      GO TO 751
75.      750 G1=RST*DT*(PHI/(1.D 00-PHI))
76.      G2=1.D 00/(1.D 00+G1)
77.      751 G3=RST*DT/2.D 00
78.      G4=RXN*DT/2.D 00
79.      C1=(R/(2.D 00*PE))+DT/(4.D 00*PHI*DZ)
80.      C2=-(R/PE)+1.D 00+G3-G1*G2*G3+G4
81.      C3=(R/(2.D 00*PE))-DT/(4.D 00*PHI*DZ)
82.      C4=(R/PE)-1.D 00+G3+G4
83.      C5=G3*(G2+1.D 00)
84.      G5=C2-(2.D 00*PE*C1*DZ/PHI)
85.      G6=C1+C3
86.      G7=(2.D 00*PE*C1*DZ/PHI)+C4
87.      G8=-(2.D 00*PE*CG*C1*DZ)/(PHI*DT)
88.      C
89.      C SAYFA BASLIKALARININ YAZILMASI
90.      C
91.      IF(RST .GT. 1.D-03)GO TO 702
92.      WRITE(6,215)
93.      215 FORMAT(1H1,20X,33HRTD FOR SIMPLE CLOSED END REACTOR)
94.      GO TO 703
95.      702 WRITE(6,220)
96.      220 FORMAT(1H1,20X,45HRTD FOR CLOSED END REACTOR WITH STATIC HOLDUP)
97.      703 WRITE(6,221)H,R,DZ,DT
98.      221 FORMAT(1/20X,16HREACTOR LENGTH= ,F9.6,7H** R= ,D15.8,8H** DZ= ,D
99.      115.8,8H** AT= ,D15.8)
100.     WRITE(6,222)PE*VOID,BETA,PHI
101.     222 FORMAT(25X,4HPE= ,D15.8,8H VOID= ,D15.8,8H BETA= ,D15.8,8H PHI

```

```

102.      1= ,D15.8)
103.      WRITE(6,223)BST,BDYN,RST
104.      223 FORMAT(44X,8H BST= ,D15.8,8H BDYN= ,D15.8,8H RST= ,D15.8)
105.      WRITE(6,23)RXN
106.      23 FORMAT(44X,8H RXN= ,D15.8//)
107.
108.      C
109.      C      BASLANGIC SARTININ VERILMESI : N=0 :
110.      C
111.      1301 DO 301 M=2,JM
112.      301 D(M)=0.0 00
113.          D(1)=G8
114.          A(1)=0.0 00
115.          B(1)=G5
116.          C(1)=G6
117.      1302 DO 302 J=2,JM
118.          A(J)=C1
119.          B(J)=C2
120.          302 C(J)=C3
121.          C(JM)=0.0 00
122.          A(JM)=G6
123.          401 IF(NN=2)404,402,403
124.          402 CONTINUE
125.          C
126.          C      IKINCI ZAMAN ADIMI :N=1 :
127.          C
128.          D(1)=G8+G7*UN(1)-G6*UN(2)+C5*UNS(1)
129.          GO TO 500
130.          403 CONTINUE
131.          C
132.          C      UCUNCU VE SONRAKI ZAMAN ADIMLARI : 2<N :
133.          C
134.          D(1)=G7*UN(1)-G6*UN(2)+C5*UNS(1)
135.          500 D(JM)=G6*UN(JM-1)+C4*UN(JM)+C5*UNS(JM)
136.          1304 DO 304 M=2,JMM
137.          304 D(M)=C1*UN(M-1)+C4*UN(M)-C3*UN(M+1)+C5*UNS(M)
138.          404 CALL TRIDAG(U,JM,A,B,C,D)
139.          1305 DO 305 J=1,JM
140.          305 UNS(J)=G2*(G1*U(J)+UNS(J))
141.          C
142.          C      KULEYI TERKEDEN IZLEYICI MIKTARININ VE ILK UC MOMENTIN HESAPLANMASI
143.          C
144.          999 CONTINUE
145.          NNI=NNI+1
146.          CLOCK=CLOCK+DT
147.          VV(NNI)=U(JM)
148.          TIME(NNI)=CLOCK
149.          DMOM1(NNI)=VV(NNI)*TIME(NNI)
150.          DMOM2(NNI)=DMOM1(NNI)*TIME(NNI)
151.          DMOM3(NNI)=DMOM2(NNI)*TIME(NNI)
152.          IF(NNI .LT. NDPP)GO To 998
153.          KB=NDPP
154.          CALL CUBINT(TIME,VV,KB,KB,RESULT,ERROR,IND)
155.          CALL CUBINT(TIME,DMOM1,KB,KB,RRM1,EEM1,IND)
156.          CALL CUBINT(TIME,DMOM2,KB,KB,RRM2,FEM2,IND)
157.          CALL CUBINT(TIME,DMOM3,KB,KB,RRM3,EEM3,IND)
158.      700 NNI=1
159.          NDPP=NX+1
160.          VV(1)=VV(NDPP)
161.          TIME(1)=TIME(NDPP)
162.          DMOM1(1)=DMOM1(NDPP)
163.          DMOM2(1)=DMOM2(NDPP)
164.          DMOM3(1)=DMOM3(NDPP)

```

```

164.      RM1=RM1+(RRM1/CG)
165.      RM2=RM2+(RRM2/CG)
166.      RM3=RM3+(RRM3/CG)
167.      EM1=EEM1
168.      EM2=EEM2+EEM2
169.      EM3=EEM3
170.      HOLDUP=HOLDUP+(RESULT/CG)
171.      ERROR=ERROR+ERROR
172.      998 IF(NN .NE. 1 .AND. NN .NE. NP)GO TO 406
173.      TIMER=TIME(NNI)
174.      1310 DO 310 J=1,JM
175.      310 Y(J)=(PHI*U(J)+(1.0 0n=PHI)*UNS(J))/CG
176.      C
177.      C      KULE ICINDEKI IZLEYICI MIKTARININ HESAPLANMASI
178.      C
179.      CALL CUBINT(0,Y,JM,KA,JM,RES2,ERR02,IND)
180.      WRITE(6,200)NN,TIMER,VV(NNI),RES2,ERR02
181.      200 FORMAT(4H N =,I4,4H T =,F9.6,10H CONC=,D15.8,9HCOL CONT=,D15.8
182.      1,9HWITH ERR=,D15.8)
183.      IF>NNI .NE. 1)GO TO 502
184.      TTT=HOLDUP+RES2
185.      WRITE(6,201)TTT,HOLDUP,ERROR
186.      201 FORMAT(21X,10H***TOT TR=D15.8,9HEXIT TOT=D15.8,10HWITH ERR =,D15
187.      1.8)
188.      502 NP=NP+NDP
189.      406 IF(NNI .EQ. 1 .AND. RES2 .LT. UFIN)GO TO 407
190.      NN=NN+1
191.      GO TO 401
192.      407 CONTINUE
193.      C
194.      C
195.      WRITE(6,193)RM1,EM1,RM2,EM2,RM3,EM3,NN
196.      193 FORMAT(//// )
197.      WRITE(6,210)HOLDUP,ERROR
198.      210 FORMAT(1X,7HHOLDUP=,D15.8,5X,6HERROR=,D15.8)
199.      STOP
200.      END
201.      SUBROUTINE TRIDAG(VEC,NO,A,B,C,D)
202.      C
203.      C      UCLU DIYAGONAL MATRIS COZUMUNDE KULLANILAN ALT PROGRAM (CARNAHAN, LUTHER,
204.      C      VE WILKES : 1969)
205.      C
206.      DIMENSION A(NO),B(NO),C(NO),D(NO),VEC(NO),GAMA(1650),BETA(1650)
207.      DOUBLE PRECISION VEC,A,B,C,D,BETA,GAMA
208.      BETA(1)=B(1)
209.      GAMA(1)=D(1)/B(1)
210.      1300 DO 300 I=2,NO
211.      BETA(I)=B(I)-A(I)*C(I-1)/BETA(I-1)
212.      300 GAMA(I)=(D(I)-A(I)*GAMA(I-1))/BETA(I)
213.      VEC(NO)=GAMA(NO)
214.      L=NO-1
215.      1301 DO 301 I=1,L
216.      IR=NO-I
217.      301 VEC(IR)=GAMA(IR)-C(IR)*VEC(IR+1)/BETA(IR)
218.      RETURN
219.      END
220.      APREP TRACER
221.      AMAP,I ,TPFS,MAIN
222.      IN TPFS,MAIN
223.      LIB TRACER.
224.      AXOT
E,D DATA.

```

EK. 3

```

AUN,C/RN RIFAT3•111-14-005,TRACEY•5,40
DATA,IL TPF$.
DATA T7 RL70-5 09/26-17:03:19
1.      AASG•C TRC3,F///1000
2.      AUSE 20•TRC3.
3.      AFOR•IS .MAIN
4.      C
5.      C      BU PROGRAMDA SIVI AKIS PROFILLERI VE DUVAR AKISI SIVI TABAKASI
6.      C      KALINLIGI HESAPLANMAKTADIR
7.      C
8.      DIMENSIONFI(2010)
9.      DIMENSION FR(10),E(10),Y(10),JINT(30)
10.     COMMON/PROW/DEN,VISC,SURFT,GAMA,SLAMDA,VOID,A,G,AA,H,F0,X
11.     COMMON/FL2/PYE,DR,DZ,RIJ,NFTC,NR
12.     COMMON/FL3/FIM,FIP
13.     COMMON/CONST/SR,SR2,OPSR,B,OMSR,SR04,OPSR2,OMSR2,SR2F,GRAOS,GROS
14.     COMMON/FL1/FB(2010),W(2010),DEL(2010),F(30),FN(30)
15.     COMMON/BLAST/CONF1,CONS,RH
16.     DOUBLE PRECISION SR,SR2,OPSR,B,OMSR,SR04,OPSR2,OMSR2,SR2F,GRAOS,
17.     1GROS,FN,F1,CONF1,CONS
18.     DOUBLE PRECISION DEN,VISC,SURFT,GAMA,SLAMDA,VOID,PYE,A,DR,DZ,F,
19.     1FB,RIJ,G,SPACK,TEMP, W,DEL,RH, FIM,FIP,AA,HFO
20.     DOUBLE PRECISION FR,E,SUMF,RES1,RES2,TINTF,FLORAT,AA2
21.     C
22.     C      SECENEKLER KISMI
23.     C      NFTC = 1 TEK BORUDAN KULEYE SIVI GIRISI SINIR SARTINI KULLANDIRIR
24.     C      NFTC = 2 KULE KESITINDE UNIFORM SIVI GIRIS HIZI SINIR SARTINI
25.     C      KULLANDIRIR
26.     C
27.     NFTC=2
28.     NR=20
29.     NRP=NR+1
30.     C
31.     C      KULE KESITINDE AKIS HIZLARI INTEGRALININ HESAPLANMASI
32.     C      EN COK ALTI INTEGRAL HESAPLANABILIR
33.     C
34.     JINT(1)=41
35.     JINT(2)=101
36.     JINT(3)=201
37.     JINT(4)=301
38.     JINT(5)=401
39.     NCYL=4

```

```

40.      C
41.      C NR/NCYL DORDE ESIT VEYA DORTTEN FAZLA OLMALIDIR
42.      C
43.      C BASKI KONTROL KISMI
44.      C
45.      C NOINT=1
46.      C NRD=5
47.      C JMMD=10
48.      C
49.      C AKIS SARTLARININ VERILMESI
50.      C
51.      C RH=1.63D 00
52.      C DEN=998.0345D 00
53.      C FLORAT=39960.D 00
54.      C VISCE=1.0019D 00
55.      C SPACK=.64D 00
56.      C TEMP=20.D 00
57.      C AA=.05D 00
58.      C VOID=.7D 00
59.      C SURFT=72.75D 00
60.      C CONFI=.3D 00
61.      C CONS=845.4D 00
62.      C DZ=.0815D 00
63.      C JM=420
64.      C
65.      C SABİTLER
66.      C
67.      C PYE=3.1415926535898
68.      C G=32.18D 00
69.      C F0=FLORAT/DEN
70.      C KP=11
71.      C
72.      C SONLU FARKLAR DENKLEMERININ SABİTLERININ HESAPLANMASI
73.      C
74.      C
75.      C DR=1.D 00/FLOAT(NR)
76.      C R1J=DZ/(DR**2)
77.      C JMM=JM-1
78.      C CALL PROP(TEMP,SPACK)
79.      C SR=R1J*SLAMDA
80.      C SR2=2.D 00*SR
81.      C OPSR=1.D 00+SR
82.      C B=SR/((4.D 00)*OPSR)
83.      C OMSR=1.D 00-SR
84.      C SR04=SR/4.D 00
85.      C OPSR2=1.D 00+SR2
86.      C OMSR2=1.D 00-SR2
87.      C SR2F=SR2/OPSR2
88.      C GRAS=GAMA*DR*A/SLAMDA
89.      C GROS=GAMA*DR/SLAMDA
90.      C
91.      C SAYFA BASLIKALARININ YAZILMASI
92.      C
93.      C R1=0.
94.      C R2=FLOAT(NRD)/FLOAT(NR)
95.      C R3=2.*R2
96.      C R4=3.*R2
97.      C wRITE(6,200)
98. 200 FORMAT(1H1,///30X,36H,LIQUID DISTRIBUTION IN PACKED COLUMN)
99.      C wRITE(6,201)
100. 201 FORMAT(//30X,38HLATERAL BOUNDARY CHOSEN AT COLUMN WALL)
101.      C GO TO 501

```

```

102.      501 IF(NFTC .GT. 1)GO TO 502
103.      WRITE(6,203)
104.      203 FORMAT(30X,17HPOINT SOURCE FEED)
105.      GO TO 503
106.      502 WRITE(6,204)
107.      204 FORMAT(30X,23HEVENLY DISTRIBUTED FEED)
108.
109.      C      HESAP SONUCLARININ BASKI KONTROLU
110.      C
111.      503 HEFL0AT(JMM)*DZ*AA
112.      WRITE(6,1201)TEMP*H
113.      1201 FORMAT(/////////1X,18HTEMPERATURE = ,D15.8,7H DEG C,30X,22HCOLU
114.          1MN LENGTH = ,D15.8,7H METERS)
115.          AA2=2,D+0U*AA
116.          WRITE(6,1202)DEN,AA2
117.      1202 FORMAT(1X,18HLIQUID DENSITY = ,D15.8,9H KG/M**3,28X,22HCOLUMN D
118.          1IAMETER = ,D15.8,7H METERS)
119.          WRITE(6,1203)VISC,VOID
120.      1203 FORMAT(1X,18HLIQUID VISCOSITY= ,D15.8,10H KG/M**SEC,27X,22HVOID F
121.          1RATION = ,D15.8)
122.          WRITE(6,1204)SURFT,SPACK
123.      1204 FORMAT(1X,18HSURFACE TENSION = ,D15.8,10H DYNES/CM,27X,22HNOMINAL
124.          1 PACKING SIZE= ,D15.8,3H CM)
125.          WRITE(6,1205)DR,FLORAT
126.      1205 FORMAT(14X*5HDZ = ,D15.8,37X*9HFLOW RATE,11X*2H= ,D15.8*12H KG/SO-
127.          1M*HR )
128.          WRITE(6,1206)DZ,GAMA
129.      1206 FORMAT(14X*5HDZ = ,D15.8,37X*4HGAMA,16X*2H= ,D15.8)
130.          WRITE(6,1207)RIJ,SLAMDA
131.      1207 FORMAT(6X,13HDZ/(DR**2) = ,D15.8,37X*5HLAMDA,15X*2H= ,D15.8)
132.
133.      C      SONUCLARIN SUTUN BASLTIKLARI
134.      C
135.      WRITE(6,205)R2,R3,R4
136.      205 FORMAT(5X,1HZ,6X,1HJ,7X,4HR=0.,7X*3(2HR=,F7.4*5X),6HR= RB,9X,6HDE
137.          1LTA ,5X,1HWALL FLOW,9X*2HFI)
138.          WRITE(6,206)
139.      206 FORMAT(86X*23H           W/AREA*FO)
140.          IF(NFTC .EQ. 2)GO TO 40
141.      1030 DO 30 II=2,NRP
142.          30 FN(II)=0.0 00
143.          FN(1)=(2.0 00/DR)**2
144.          FB(1)=0.0 00
145.          GO TO 41
146.          40 CONTINUE
147.      1031 DO 31 II=1,NRP
148.          31 FN(II)=1.0 00
149.          FB(1)=1.0 00
150.          FI(1)=1.0 00
151.          DEL(1)=0.0 00
152.          41 W(1)=0.0 00
153.          WRITE(20,20)W(1),FI(1),DEL(1)
154.      20 FORMAT(3(2X,D23.18))
155.
156.      C      ILK SATIR
157.      C
158.          D1=0.
159.          J=1
160.          WRITE(6,207)D1,J,(FN(I),I=1,NRP,NRD),FB(1),DEL(1),W(1),FI(1)
161.      207 FORMAT(1X,F7.3,1X,I4,A14.8)
162.          43 IF(J .EQ. JM)GO TO 600
163.          CALL CALC(J,ICALC)

```

```

164.      IF(ICALC .EQ. 1)GO TO 60
165.      WRITE(6,250)J
166.      250 FORMAT(1X,11HSTUCK AFTER,IS,10H IN CALC)
167.      GO TO 600
168.      60 MJ=J
169.      J=J+1
170.      1032 DO 32 II=1,NRP
171.      32 FN(II)=F(II)
172.      DIST=DZ*FLOAT(MJ)
173.      C ANA DOLGU BOLGESI ORTALAMA SIVI AKIS HIZLARININ HESAPLANMASI
174.      C
175.      C
176.      FI(J)=(1,D 00-W(J))
177.      WRITE(20,20)W(J),FI(J),DEL(J)
178.      IF(J .NE. KP)GO TO 43
179.      KP=KP+JMMU
180.      WRITE(6,208)DIST,J,(F(I),I=1,NR,NRD),FB(J),DEL(J),W(J),FI(J)
181.      208 FORMAT(1X,F7.3,1X,I4,RD14.7)
182.      C AKIS HIZLARI INTEGRASYON KISMI
183.      C
184.      C
185.      IF(NOINT .EQ. 0)GO TO 43
186.      IF(J .EQ. JINT(1) .OR. J .EQ. JINT(2) .OR. J .EQ. JINT(3)) GO TO 44
187.      IF(J .NE. JINT(4) .AND. J .NE. JINT(5) .AND. J .NE. JINT(6))GO TO
188.      143
189.      44 CONTINUE
190.      WRITE(6,209)
191.      209 FORMAT(//,30X,55HFLOW DISTRIBUTIONS IN CONCENTRIC SECTIONS OF THE
192.      1COLUMN)
193.      JJ=J
194.      CALL FLINT(FR,E,Y,JJ,NCYL,IND,TINTF)
195.      IF(IND .NE. 1)GO TO 400
196.      NCYLM=NCYL-1
197.      SUMF=FR(NCYL)
198.      1302 DO 302 L=1,NCYLM
199.      SUMF=SUMF+FR(L)
200.      302 E(L)=(E(L)/FR(L))*1.D 02
201.      E(NCYL)=(E(NCYL)/(FR(:)CYL)-W(J)*PYE))*1.D 02
202.      ZZ=DZ*FLOAT(JJ-1)
203.      WRITE(6,210)ZZ,FR(1),Y(1),Y(2),E(1)
204.      210 FORMAT(1X,7HDEPTH ,F9.5,3X,10HFLOW RATE=,D15.8,1X,10HSECTN FROM,
205.      1F9.6,2HTO,F9.6,29HESTMATED INTG ERR (PERCENT)=,D15.8///)
206.      1303 DO 303 L=2,NCYL
207.      LL=L+1
208.      WRITE(6,211)FR(L),Y(L),Y(LL),E(L)
209.      211 FORMAT(30X,D15.8,1X,F9.6,2X,F9.6,29X,D15.8)
210.      303 CONTINUE
211.      RES1=(DABS((SUMF-PYE)/PYE))*1.D 02
212.      RES2=(DABS((TINTF-PYE)/PYE))*1.D 02
213.      WRITE(6,212)SUMF,PYE,RES1
214.      212 FORMAT(1X,25HSUM OF INTEGRATED FLOWS =,D15.8,2X,6HINPUT=,D15.8,2X
215.      1,14HPERCENT ERROR=,D15.8)
216.      WRITE(6,213)TINTF,PYE,RES2
217.      213 FORMAT(1X,25HINTEG OV-F CROSS-SECTION=,D15.8,2X,6HINPUT=,D15.8,2X,
218.      114HPERCENT ERROR=,D15.8)
219.      400 CONTINUE
220.      GO TO 43
221.      600 CONTINUE
222.      STOP
223.      END
224.      FOR,IS .CALC
225.      SUBROUTINE CALC(J,ICALC)

```

```

226. C      HESAP KONTROL ALT PROGRAMI
227. C
228. C      DIMENSION T(30)
229. COMMON/B1/IBPP
230. COMMON/CONST/SR,SR2,OPSR,B,OMSR,SR04,OPSR2,OMSR2,SR2F,GRAOS,GROS
231. COMMON/FL2/PYE,DR,DZ,RIJ,NFTC,NR
232. COMMON/FL3/FIM,FIP
233. COMMON/PROW/DEN,VISC,SURFT,GAMA,SLAMDA,VOID,A,G,AA,H,FO,X
234. COMMON/FDB/JF
235. COMMON/FL1/FB(2010),W(2010),DEL(2010),TP(30),TN(30)
236. DOUBLE PRECISION SR,SR2,OPSR,B,OMSR,SR04,OPSR2,OMSR2,SR2F,GRAOS,
237. 1GROS,G,AA,H,FO
238. DOUBLE PRECISION DEN,VISC,SURFT,GAMA,SLAMDA,VOID,A,FB,W,DEL
239. DOUBLE PRECISION PYE,DR,DZ,RIJ,T,TP,Q,ZERO,C1,C2,C3,OM,OMP
240. DOUBLE PRECISION TN,GJ,QDEL,FF,TF,FIP,FIM,DD
241. NGJ=0
242. IB=NR
243. QDEL=1.D-05
244. ZERO=1.D-08
245. NTRY=0
246. IBOUND=IB
247. JF=J
248. JF=J
249. IBPP=IB+1
250. 1300 DO 300 I=1,IBPP
251.   300 T(I)=TN(I)
252.   OM=W(J)
253.   400 NTR=1
254.   L=1
255.   TP(1)=SR2F*T(2)+((SR2*TN(2) +OMSR2*TN(1) )/OPSR2)
256.   Q=DABS((TP(1)-T(1))/TP(1))
257.   IF(Q .GT. ZERO)NTR=2
258.   1301 DO 301 I=2,IBOUND
259.     FIM=(2.D 00*FLOAT(I-1)-1.D 00)/FLOAT(I-1)
260.     FIP=(2.D 00*FLOAT(I-1)+1.D 00)/FLOAT(I-1)
261.     TP(I)=B*(FIP*T(I+1)+FIM*TP(I-1))+(GJ(L,I,J)/OPSR)
262.     Q=DABS((TP(I)-T(I))/TP(I))
263.     IF(Q .GT. ZERO)NTR=2
264.   301 CONTINUE
265.   NB=IB+1
266.   FIM=(2.D 00*FLOAT(NB-1)-1.D 00)/FLOAT(NB-1)
267.   FIP=(2.D 00*FLOAT(NB-1)+1.D 00)/FLOAT(NB-1)
268.   C1=1.D 00
269.   C2=B*FIP*GRAOS*2.D 00
270.   C3=4.D 00*B*TP(IB)+B*FIP*GROS*2.D 00*OM+(GJ(NGJ,NB,J)/OPSR)
271.   TF=TP(IB)
272.   399 CALL FBOUND(C1,C2,C3,x,FF,TF,IFBOUN)
273.   IF(IFBOUN .EQ. 1)GO TO 600
274.   WRITE(6,200)
275.   200 FORMAT(1X,I7HAFTER 3U1 IN CALC)
276.   iCALC=0
277.   RETURN
278.   600 TP(NB)=FF
279.   OMP=(W(J)+(2.D 00*GAMA*DZ*A*(FF**X)))/(1.D 00+2.D 00*GAMA*DZ)
280.   Q=DABS((OMP-OM)/OMP)
281.   IF(Q .GT. ZERO)NTR=2
282.   500 IF(NTR .EQ. 1)GO TO 501
283.   OM=OMP
284.   IBPP=IB+1
285.   NTRY=NTRY+1
286.   IF(NTRY .LT. 100)GO TO 1304
287.   WRITE(6,202)NTRY,J,NGJ

```

```

288.      202 FORMAT(1X,13HNTRY EXCEEDED,I6,12H IN CALC**J=,I6,4HNGJ=,I2)
289.          ICALC=0
290.          RETURN
291.      1304 DO 304 I=1,IBPP
292.          T(I)=TP(I)
293.          GO TO 400
294.      501 CONTINUE
295.          W(J+1)=OMP
296.          CALL DELTA(OMP,J,DZ,W)
297.          DEL(J+1)=DD
298.          FB(J+1)=TP(NB)
299.          ICALC=1
300.          RETURN
301.          END
302.      AFOR IS ,DELTA
303.          SUBROUTINE DELTA(WF,J,DZ,DEL)
304.          C
305.          C DUVAR AKISI SIVI TABAKASI KALINLIGINI HESAPLAYAN ALT PROGRAM
306.          C
307.          COMMON/B1/IBPP
308.          COMMON/PROW/DEN,VISC,SURFT,GAMA,SLAMDA,VOID,A,G,AA?H,F0,X
309.          COMMON/BLAST/FI,S,RH
310.          DOUBLE PRECISION DEN,VISC,SURFT,GAMA,SLAMDA,VOID,A,AA,G,H,F0,X
311.          DOUBLE PRECISION FI,S,PYE,AREA,WF,DTR1,DTR2,REY,DP,RAT,F,D1,D2,DEL
312.          1,DDT,DEA,WF,GG,VISA,RH,SF
313.          N=0
314.          SF=S*.3048D 00
315.          GG=DSQRT(G)
316.          DEA=DEN/16.0185D 00
317.          DTR1=1.0-03
318.          PYE=3.1415926535898
319.          VISA=VISC*.671969
320.          400 AREA=PYE*(2.0 00*(AA/.3048)*(DTR1-(DTR1**2)))
321.          WB=WF*PYE*(AA**2)*F0*DEN/(.454D 00*3.6D 03*AREA)
322.          DP=6.0 00*(1.0 00-VOL)/(FI*SF)
323.          REY=DP*WB/(VISA)
324.          RAT=2./3.
325.          F=7.9D-02/(REY**.25)
326.          D1=REY*DSQRT(F)
327.          D2=3.15D-01*((VISC*.671969*D1/(GG*DEA))**RAT)
328.          DTR2=D2
329.          DDT=DABS((DTR1-DTR2)/DTR1)
330.          N=N+1
331.          IF(DDT .LE. 1.D-06)GO TO 401
332.          DTR1=DTR2
333.          IF(J .NE. 1401) GO TO 400
334.          WRITE(6,101)N,DTR2,DUT,WF,REY,F,D1,D2,DTR1,AREA
335.          GO TO 400
336.          401 DEL=DTR2*3.048D-01/RH
337.          IF(J .NE. 1401) GO TO 402
338.          WRITE(6,100)
339.          100 FORMAT(//////11H FROM DELTA)
340.          WRITE(6,101)G,GG,DEA,DEN,VISA,WF,AA,F0,VISC,VOID,DP,PYE,DEL
341.          101 FORMAT( )
342.          402 CONTINUE
343.          RETURN
344.          END
345.      AFOR IN ,GJ
346.          DOUBLE PRECISION FUNCTION GJ(L,I,J)
347.          C
348.          C DJ FONKSIYONUNU HESAPLAYAN ALT PROGRAM
349.          C

```

```

350.      COMMON/FL3/FIM,FIP
351.      COMMON/PROW/DEN,VISC,SURFT,GAMA,SLAMDA,VOID,A,G,AA,H,F0,X
352.      COMMON/CONST/SR,SR2,0PSR,B,OMSR,SR04,OPSR2,OMSR2,SR2F,GRAOS,GROS
353.      COMMON/FL1/FB(2010),W(2010),DEL(2010),F(30),FN(30)
354.      DOUBLE PRECISION F,FB,DEL,W,G,AA,H,F0
355.      DOUBLE PRECISION SR,SR2,0PSR,B,OMSR,SR04,OPSR2,OMSR2,SR2F,GRAOS,
356.      1GROS,A
357.      DOUBLE PRECISION FN,   FIM,FIP,DEN,VISC,SURFT,GAMA,SLAMDA,VOID
358.      IF(L=1)400,401,401
359.      C EQUATION 123
360.      400 GJ=OMSR*FN(I)-SR04*F+P*2.D 00*GRAOS*(FN(I)**X)+SR*FN(I-1)+SR04*
361.      1FIP*2.D 00*GROS*W(J)
362.      399 RETURN
363.      C EQUATION 79
364.      401 GJ=SR04*FIP*FN(I+1)+OMSR*FN(I)+SR04*FIM*FN(I-1)
365.      RETURN
366.      END
367.      AFOR IN .FBOUND
368.      SUBROUTINE FBOUND(C1,C2,C3,X,F,TF,IFBOUN)
369.      C
370.      C SINIRDAKI F DEGERINT HESAPLAYAN ALT PROGRAM
371.      C
372.      COMMON/FDB/J
373.      DOUBLE PRECISION C1,C2,C3, F,F1,F2,E1,E2,TF,EE,ZERO
374.      399 ZERO=1.0-08
375.      NTRY=0
376.      405 F1=TF
377.      E1=C3-C1*C1-C2*(F1**X)
378.      F2=TF*1.05D 00
379.      400 E2=C3-C1*F2-C2*(F2**X)
380.      EE=DABS((F2-F1)/F2)
381.      IF(EE .LT. ZERO)GO TO 401
382.      F=F1-(F2-F1)*(E1/(E2-E1))
383.      E1=E2
384.      F1=F2
385.      F2=F
386.      NTRY=NTRY+1
387.      IF(F2 .GE. 0.D+00)GO TO 403
388.      RECX=1./X
389.      TF=(C3/C2)**RECX
390.      GO TO 405
391.      403 IF(NTRY .LT. 200)GO TO 400
392.      WRITE(6,200)NTRY,EE,F2,F1
393.      200 FORMAT(1X,23HNTRY IN FBOUND EXCEEDED,I6+3(2X,D15.8))
394.      IFBOUN=0
395.      RETURN
396.      401 F=F2
397.      IFROUN=1
398.      RETURN
399.      END
400.      AFOR IN .PROP
401.      SUBROUTINE PROP(TEMP,SPACK)
402.      C
403.      C MODELE GORE SIVI AKIS PARAMETRELERINI HESAPLAYAN ALT PROGRAM
404.      C
405.      COMMON/PROW/DEN,VISC,SURFT,GAMA,SLAMDA,VOID,A,G,AA,H,F0,X
406.      DOUBLE PRECISION TEMP,SPACK,DEN,VISC,SURFT,GAMA,SLAMDA,VOID,A
407.      DOUBLE PRECISION G,AA,H,F0,FD
408.      SLAMDA=2.31D-03*DSQRT(SPACK)*SURFT/(AA*1.D 02)
409.      FD =FO*DEN
410.      IF(SURFT .GT. 5.0D 01)GO TO 400
411.      GAMA=(3.D 00*AA/2.D 00)

```

```

412.      X=1.73
413.      XX=1.-X
414.      A=2.D 00*5.41D-05/(AA*(FD**XX))
415.      GO TO 401
416. 400 GAMA=(4.2D 00*AA/2.D 00)
417.      X=7.64E-01
418.      XX=1.-X
419.      A=2.D 00*2.02D-01/(AA*(FD**XX))
420. 401 RETURN
421. END
422. AFOR,IN ,FLINT
423.      SUBROUTINE FLINT(FR,E,R,J,NCYL,IND,TOTAL)
424. C
425. C      AKIS HIZI INTEGRALLER,TIN KONTROL ALT PROGRAMI
426. C
427.      DIMENSION FR(10),E(10),R(10)*X(40),FF(40)
428. COMMON/FL2/PYE,DR,DZ,RIJ,W,NFTC,NR
429. COMMON/FL1/FB(2010),W(2010),DEL(2010),F(30),FN(30)
430. DOUBLE PRECISION F,FB,W,DEL,FR,E,PYE,DR,DZ,RIJ,X,FF,RESULT
431. DOUBLE PRECISION ERROR,TOTAL,FN
432. 10UY=1
433. IND=0
434. IB=NR
435. 400 NPOINT=(NR/NCYL)+1
436. NP1=IB+1-(NPOINT-1)*(NCYL-1)
437. IF(NP1 .GE. 4 .AND. NPOINT .GE. 4)GO TO 399
438. WRITE(6,200)J,NP1,NPOINT
439. 200 FORMAT(1X,37HINTEGRATION CANNOT BE PERFORMED FOR J=,I4,22HPOINTS ON
440. I OUTER SHELLS=,I2,23HPOINTS ON INNER SHELLS=,I2)
441. IND=0
442. RETURN
443. C      GENERATING RADII TO DELIMIT SECTIONS
444. 399 R(1)=0.
445. NCYLP=NCYL+1
446. 1300 DO 300 I=2,NCYLP
447. 300 R(I)=R(I-1)+DR*FLOAT(NPOINT-1)
448. IA=1
449. NBEOFOR=1
450. 1302 DO 302 M=1,NCYL
451. NP=NPOINT
452. 1303 DO 303 N=1,NP
453. NN=NBEOFOR-1+N
454. X(N)=DR*FLOAT(NN-1)
455. 303 FF(N)=FN(NN) *X(N)*2.D 00*PYE
456. NBEOFOR=NBEOFOR+NP-1
457. CALL CUBINT(X,FF,NP,IA,NP,RESULT,ERROR,IND)
458. IF(IND .EQ. 1)GO TO 402
459. 401 WRITE(6,201)J
460. 201 FORMAT(1X,42HCUBINT RETURNED WITHOUT INTEGRATION FOR J=,I4)
461. RETURN
462. 402 FR(M)=RESULT
463. 302 E(M)=ERROR
464. FR(NCYL)=FR(NCYL)+W(J)*PYE
465. IBP=IB+1
466. 1304 DO 304 N=1,IBP
467. X(N)=DR*FLOAT(N-1)
468. 304 FF(N)=FN(N) *X(N)*2.D 00*PYE
469. 404 CALL CUBINT(X,FF,IBP,IA,IBP,RESULT,ERROR,IND)
470. 1F(IND .EQ. 1)GO TO 403
471. WRITE(6,202)J
472. 202 FORMAT(1X,42HCUBINT RETURNED WITHOUT INTEGRATION FOR J=,I4,5HTOTAL
473. 1)

```

```

474.      RETURN
475.      403 TOTAL=RESULT+W(J)*PYE
476.      IND=1
477.      RETURN
478.      END
479.      ΔFOR,IN ,CUBINT
480.      SUBROUTINE CUBINT(X,F,N,IA,IB,RESULT,ERROR,IND)
C
C      INTEGRASYON ALT PROGRAMI (DAVIS VE RABINOWITZ: 1975)
C
484.      DIMENSION X(N),F(N)
485.      DOUBLE PRECISION X,F,RESULT,ERROR,S,C,R1,R2,R3,R4,D1,D2,D3
486.      DOUBLE PRECISION H1,H2,H3,H4,ZH,Z6,Z12,Z3,Z5,Z10,Z60,Z2,Z120
487.      IND=0
488.      IF(N.LT.4 .OR. IA.LT.1 .OR. IB.GT.N)RETURN
489.      IND=1
490.      ZH=.5D 00
491.      Z6=6.D 00
492.      Z12=1.2D 01
493.      Z3=3.D 00
494.      Z5=5.D 00
495.      Z10=1.D 01
496.      Z60=6.D 01
497.      Z2=2.D 00
498.      Z120=1.2D 02
499.      IF(IA .EQ. IB)RETURN
500.      ERROR=0.D 00
501.      RESULT=0.D 00
502.      IF(IA .LT. IB) GO TO 2
503.      IND=-1
504.      IT=IB
505.      IB=IA
506.      IA=IT
507.      2 S=0.D 00
508.      C=0.D 00
509.      R4=0.D 00
510.      J=N-2
511.      IF(IA .LT. N-1 .OR. N .EQ. 4)J=MAX0(3,IA)
512.      K=4
513.      IF( IB .GT. 2 .OR. N .EQ. 4)K=MIN0(N,IB+2)-1
514.      DO 1 I=J,K
515.      IF(I .GT. J)GO TO 5
516.      H2=X(J-1)-X(J-2)
517.      D3=(F(J-1)-F(J-2))/H2
518.      H3=X(J)-X(J-1)
519.      D1=(F(J)-F(J-1))/H3
520.      H1=H2+H3
521.      D2=(D1-D3)/H1
522.      H4=X(J+1)-X(J)
523.      R1=(F(J+1)-F(J))/H4
524.      R2=(R1-D1)/(H4+H3)
525.      H1=H1+H4
526.      R3=(R2-D2)/H1
527.      IF(IA .GT. 1) GO TO 3
528.      RESULT=H2*(F(1)+H2*(Z11*D3-H2*(D2/Z6-(H2+H3+H4)*R3/Z12)))
529.      S2=-H2**3*(H2*(Z3*H2+Z1**H4)+Z10*H3**H1)/Z60
530.      GO TO 8
531.      5 H4=X(I+1)-X(I)
532.      R1=(F(I+1)-F(I))/H4
533.      R4=H4+H3
534.      R2=(R1-D1)/R4
535.      R4=R4+H2

```

```

536.      R3=(R2-D2)/R4
537.      R4=(R3-D3)/(R4+H1)
538.      8 IF(I.GT.IB .OR. I.LE.IA)GO TO 11
539.      RESULT=RESULT+H3*((F(I)+F(I-1))*ZH-H3*H3*(D2+R2+(H2-H4)*R3)/Z12)
540.      C=H3**3*(Z2*H13*H3+Z5*(H3*(H4+H2)+Z2*H2*H4))/Z120
541.      ERROR=ERROR+(C+S)*R4
542.      IF(I.EQ.J)GO TO 14
543.      S=C
544.      GO TO 15
545.      14 S=S+C+C
546.      GO TO 15
547.      11 ERROR=ERROR+R4*S
548.      15 IF(I.LT.K)GO TO 20
549.      1F(IB .LT. N)GO TO 22
550.      RESULT=RESULT+H4*(F(N)-H4*(ZH*R1+H4*(R2/Z6+(H3+H3+H4)*R3/Z12)))
551.      ERROR=ERROR-H4**3*R4*(H4*(Z3*H4+Z5*H2)+Z10*H3*(H2+H3+H4))/Z60
552.      22 IF(IB .GE. N-1)ERROR=ERROR+S*R4
553.      GO TO 1
554.      20 H1=H2
555.      H2=H3
556.      H3=H4
557.      D1=R1
558.      D2=R2
559.      D3=R3
560.      1 CONTINUE
561.      IF(IND .EQ. 1)RETURN
562.      IT=IB
563.      IB=IA
564.      IA=IT
565.      RESULT=-RESULT
566.      ERROR=-ERROR
567.      IND=1
568.      RETURN
569.      END
570.      ΔFOR-IN .MAX0
571.          FUNCTION MAX0(L,M)
572.          IF(L .GT. M)MAX0=L
573.          IF(L .LT. M)MAX0=M
574.          RETURN
575.          END
576.      ΔFOR-IN .MIN0
577.          FUNCTION MIN0(L,M)
578.          IF(L .GT. M)MIN0=M
579.          IF(L .LT. M)MIN0=L
580.          RETURN
581.          END
582.      ΔXQT
E,D DATA.
ΔFIN

```

- {1} Ateşmen,K.M., "The Dispersion of Matter in Turbulent Shear Flow", Int. J. Heat Mass Transfer, T4, 2146, (1971).
- {2} Ateşmen,K.M., Baldwin,L.V., ve Haberstroh,R.D., "The Dispersion of Matter in Turbulent Pipe Flows", J. Basic Engineering (Trans. A.S.M.E.), 461, (Dec. 1971).
- {3} Bird,R.B., Stewart,W.E., ve Lightfoot,E.N., "Transport Phenomena", John Wiley and Sons, New York, (1960).
- {4} Boyadziev,L., Beschkov,V., ve Kyuchoukov,G., "On the PDE-Model of a Closed End Chemical Reactor", Chem.Eng.Sci., 30, 437, (1975).
- {5} Carnahan,B., Luther,M.A., ve Wilkes,J.O., "Applied Numerical Methods", John Wiley & Sons, Inc., New York, (1969), Sayfa 446.
- {6} Choi,C.Y., ve Perlmutter,D.D., "A Unified Treatment of the Inlet Boundary Condition for Dispersive Flow Models", Chem.Eng.Sci., 31, 250, (1976).
- {7} Cihla,Z., ve Schmidt,O., Collection of Czech. Chemical Comm., 23, 569, (1958).
- {8} Clements,W.C., ve Blalock,K.E., "Comparison of Method of Moments and Method of Least-Squares in Analyzing Tracer Injection-Response Data from Fluid Systems", Chem.Eng.Sci., 27, 2311, (1972).
- {9} Danckwerts,P.V., "Continuous Flow Systems; Distribution of Residence Times", Chem.Eng.Sci., 2, 1, (1953).
- {10} Davis,P.J., ve Rabinowitz,P., "Methods of Numerical Integration", Academic Press, New York, (1975).
- {11} Denbigh,K.G., ve Turner,J.C.R., "Chemical Reactor Theory", 2nd Ed., Cambridge University Press, Cambridge, (1971), sayfa 90.
- {12} Dharwadkar,A., ve Sylvester,N.D., "Liquid-Solid Mass Transfer in Trickle Beds", A.I. Ch.E. Jour., 23, 376, (1977).

- {13} Dutkai, E., ve Ruckenstein, E., "Liquid Distribution in Packed Columns", Chem. Eng. Sci., 23, T365, (1968).
- {14} Eroğlu, İ., "Residence Time Distribution in the Liquid Phase for Trickle Flow in a Packed Column", Y.Lisans Tezi. O.D.T.U., (1973).
- {15} Finlayson, B.A., "The Method of Weighted Residuals and Variational Principles", Academic Press, New York, (1972).
- {16} Glasser, D., Katz, S., ve Shinnar, R., "The Measurement and Interpretation of Contact Time Distributions for Catalytic Reactor Characterization", Ind. Eng. Chem. Fundam., 12, 165, (1973).
- {17} Hald, A., "Statistical Theory with Engineering Applications", John Wiley and Sons, New York, (1952).
- {18} Hartman, M., ve Coughlin, R.W., "Oxidation of SO₂ in a Trickle-Bed Reactor Packed with Carbon", Chem. Eng. Sci., 27, 867, (1972).
- {19} Haynes, H.W., "The Determination of Effective Diffusivity by Gas Chromatography", Chem. Eng. Sci., 30, 955, (1975).
- {20} Himmelblau, D.M., ve Bischoff, K.B., "Process Analysis and Simulation", John Wiley and Sons, New York, (1968).
- {21} Hoftyzer, P.J., "Liquid Distribution in a Column with Dumped Packing", Trans. Instn. Chem. Engrs., 42, T109, (1964).
- {22} Hoogendoorn, C.J., ve Lips, J., "Axial Mixing of Liquid in Gas-Liquid Flow Through Packed Beds", Canad. J. Ch.E., 43, 125, (1965).
- {23} INTERNATIONAL MATHEMATICAL AND STATISTICAL LIBRARIES, INC., UNIVAC VERSION.
- {24} Jameson, G.J., "A Model for Liquid Distribution in Packed Columns and Trickle Bed Reactors", Trans. Instn. Chem. Engrs., 44, T190, (1966).

- {25} Kayihan,F., ve Sandall,O.L., "Gas Absorption with First Order Reaction in Turbulent Liquid Films", A.I.Ch.E. Jour., 20, 402, (1974).
- {26} Keenan,J.M., ve Keyes,F.G., "Thermodynamic Properties of Steam", John Wiley and Sons, New York, (1962).
- {27} Klinkenberg,A., "Moments of Residence Time Distributions for Cascades of Mixed Vessels with Back-mixing", Chem. Eng. Sci., 23, 1975, (1968).
- {28} Kramers,H., ve Alberda,G., "Frequency Response Analysis of Continuous Flow Systems", Chem. Eng. Sci., 2, 173, (1953).
- {29} Lapidus,L., "Flow Distribution and Diffusion in Fixed-Bed Two-Phase Flow Reactors", Ind. Eng. Chem., 49, 1000, (1957).
- {30} Le Nobel,J.W., ve Choufoer,J.M., "Development in Treating Processes for the Petroleum Industry", Fifth World Petroleum Congress Proc., Section III, Paper 18, Fifth World Petroleum Congress Inc., New York (1959).
- {31} Levec,J., ve Smith,J.M., "Oxidation of Acetic Acid Solutions in a Trickle Bed Reactor", A.I.Ch.E. Jour., 22, 159, (1976).
- {32} Levenspiel,O., "Comparison of the Tank-in-Series and the Dispersion Models for Non-Ideal Flow of Fluid", Chem. Eng. Sci., 17, 576, (1962).
- {33} Levenspiel,O., "Chemical Reaction Engineering", J. Wiley and Sons, Inc., New York, (1962).
- {34} Levenspiel,O., ve Smith,W.K., "Notes on the Diffusion Type Model for the Longitudinal Mixing of Fluids in Flow", Chem. Eng. Sci., 6, 227, (1957).
- {35} Lister,A., "Engineering Design and Development of Desulfurizer Reactors", 3rd European Symposium on Chem. Reaction Engineering, 225 (1964).
- {36} Mears,D.E., "The Role of Axial Dispersion in Trickle Flow Laboratory Reactors", Chem. Eng. Sci., 26, 1361, 1971.

- {37} Mitchell,A.R., "Computational Methods in Partial Differential Equations", John Wiley and Sons, New York, (1969).
- {38} Miyauchi,T., ve Kikuchi,T., "Axial Dispersion in Packed Beds", Chem. Eng. Sci., 30, 343, (1975).
- {39} Moore,W.J., "Physical Chemistry", p.732, Prentice Hall, Englewood Cliffs, New Jersey, (1962).
- {40} Onda,K., Takeuchi,H., Maeda,Y., Takeuchi,N., "Liquid Distribution in a Packed Column", Chem. Eng.Sci., 28, 1677, (1973).
- {41} Paraskos,J.A., Frayer,J.A., ve Shah,Y.T., "Effect of Incomplete Catalyst Wetting and Backmixing During Hydroprocessing in Trickle Bed Reactors", Ind. Eng. Chem., Process Des. Dev., 14, 315, (1975).
- {42} Perry,R.H., ve Chilton,C.H., "Chemical Engineers' Handbook", 5th Ed., Mc Graw HTI, New York, (1973), sayfa 5-57.
- {43} Porter,K.E., "Liquid Flow in Packed Columns", Trans, Instn. Chem. Engrs., 46, T69, (1968).
- {44} Porter,K.E., ve Jones,M.C., "A Theoretical Prediction of Liquid Distribution in a Packed Column with Wall Effect", Trans. Instn. Chem. Engrs., 41, 240, (1963).
- {45} Rao,V.G., ve Varma,Y.B.G., "A Model for the Residence Time Distribution of Liquid Phase in Trickle Beds", A.I.Ch.E. Jour., 22, 612, (1976).
- {46} Rothfeld,L.B., ve Ralph,J.L., "Equivalence of Pulse and Step Residence Time Measurements in a Trickle-Phase Bed", A.I.Ch.E. Jour., 9, 852, (1963).
- {47} Salvadori,M.G., ve Baron,M.L., "Numerical Methods in Engineering", Prentice Hall, Englewood Cliffs, New Jersey, (1961).
- {48} Satterfield,C.N., "Mass Transfer in Heterogeneous Catalysis", M.I.T. Press, Cambridge, Massachusetts, (1970).

- {49} Satterfield,C.N., "Trickle Bed Reactors", A.I.Ch.E. Jour., 21, 209, (1975)
- {50} Satterfield,C.N., ve Özel,A., "Direct Solid Catalyzed Reaction of a Vapor in an Apparently Completely Wetted Trickle Bed Reactor", A.I.Ch.E. Jour., 19, 1259, (1973).
- {51} Satterfield,C.N., Pelossof,A.A., ve Sherwood,T.K., "Mass Transfer Limitations in a Trickle Bed Reactor", A.I.Ch.E. Jour., 15, 226, (1969).
- {52} Satterfield,C.N., ve Way,P.F., "The Role of the Liquid Phase in the Performance of a Trickle Bed Reactor", A.I.Ch.E. Jour., 18, 305, (1972).
- {53} Schiesser,W.E., ve Lapidus,L., "Further Studies of Fluid Flow and Mass Transfer in Trickle Beds", A.I.Ch.E. Jour., 7, 163, (1961)
- {54} Schuit,G.C.A., ve Gates,B.C., "Chemistry and Engineering of Catalytic Hydrodesulfurization", A.I. Ch.E. Jour., 19, 417, (1973).
- {55} Schwartz,J.G., Weger,E., ve Dudukovic,M.P., "Liquid Holdup and Dispersion in Trickle Bed Reactors", A.I.Ch.E. Jour., 22, 953, (1976).
- {56} Shah,Y.T., ve Paraskos,J.A., "Intraparticle Diffusion Effects in Residue Hydrodesulfurization", Ind. Eng. Chem., Process Des.Dev., 14, 368, (1975).
- {57} Sherwood,T.K., Pigford,R.L., ve Wilke,C.R., "Mass Transfer", (2nd Edn.), Mc Graw-Hill Book Co., New York, (1975).
- {58} Shinnar,R., Naor,P., ve Katz,S., "Interpretation and Evaluation of Multiple Tracer Experiments", Chem. Eng. Sci., 27, 1627, (1972)
- {59} Shulman,H.L., Ullrich,C.F., and Wells,N., "Performance of Packed Columns", A.I.Ch.E. Jour., 1, 247, (1955).
- {60} Smith,G.D., "Numerical Solutions of Partial Differential Equations", Oxford University Press, London, (1965).

- {61} Smith, J.M., "Chemical Engineering Kinetics", 2nd Edition, Mc Graw-Hill Book Company, New York, 1970; bak: Bölüm 6.
- {62} Spalding, D.B., "A Note on Mean Residence-Times in Steady Flows of Arbitrary Complexity", Chem. Eng. Sci., 9, 74, (1958).
- {63} Standart, G., "The Thermodynamic Significance of the Danckwerts' Boundary Condition", Chem. Eng. Sci., 23, 645, (1968)
- {64} Stewart, W.E., ve Sorensen, J.P., "Transient Reactor Analysis by Orthogonal Collocation", Proceedings Chem. Rxn. Engr. Symposium, Preprint B8-75, Amsterdam, (1972).
- {65} Sylvester, N.D., Kulkarni, A.A., ve Carberry, J.J., "Slurry and Trickle-Bed Reactor Effectiveness", Canad. J. Ch. E., 53, 313, (1975).
- {66} Sylvester, N.D., ve Pitayagulsarn, P., "Mass Transfer for Two-Phase Cocurrent Downflow in a Packed Bed", Ind. Eng. Chem., Process Des. Dev., 14, 421, (1975).
- {67} Uchida, S., ve Fujita, S., "Packed Towers with Liquor Circulation", Jour. Soc. Chem. Ind., Japan, 41, 275B, (1938).
- {68} van Deemter, J.J., "Trickle Hydrodesulfurization-A Case History", 3rd European Symposium on Chemical Reaction Engineering, 215, (1964).
- {69} van der Laan, E.Th., "Notes on the Diffusion-Type Model for the Longitudinal Mixing in Flow", Chem. Eng. Sci., 7, 187, (1958).
- {70} van de Vusse, J.G., "Residence Times and Distribution of Residence Times in Dispersed Flow Systems", Chem. Eng. Sci., 10, 229, (1958).
- {71} van Swaaij, W.P.M., "Residence Time Distributions in Raschig Ring Columns at Trickle Flow", Ph.D. Thesis, Eindhoven, (1967).
- {72} van Swaaij, W.P.M., Charpentier, J.C., ve Villermaux, J., "Residence Time Distribution in the Liquid Phase of Trickle Flow in Packed Columns", Chem. Eng. Sci., 24, 1083, (1969)

- {73} Villadsen,J., "Selected Approximation Methods for Chemical Engineering Problems", Inst. for Kemiteknik, Numerikal Inst., Danmarks Tekniske Højskole, (1970).
- {74} Villermaux,J., ve van Swaaij,W.P.M., "Modèle Répresentatif de la Distribution des Temps de Séjour dans un Réacteur Semi-infini à Dispersion Axiale Avec Zones Stagnantes", Chem.Eng.Sci., 24, 1097, (1969).
- {75} Wehner,J.F., ve Wilhelm,R.H., "Boundary Conditions of Flow Reactor", Chem.Eng.Sci., 6, 89, (1956).
- {76} YITZHAKI,D., ve AMARONI,C., "Hydrodesulfurization of Gas Oil, Reaction Rates in Narrow Boiling Fractions", A.I.Ch.E. Jour., 23, 342, (1977).
- {77} Referans 42, sayfa 5-52.
- {78} Referans 42, sayfa 5-53,
- {79} Cansever,A., Master Tezi, Boğaziçi Üniversitesi, 1976.